

ΙΝΣΤΙΤΟΥΤΟ ΤΕΧΝΙΚΗΣ ΣΕΙΣΜΟΛΟΓΙΑΣ  
ΚΑΙ ΑΝΤΙΣΕΙΣΜΙΚΩΝ ΚΑΤΑΣΚΕΥΩΝ

( Αρ. Νομ. 2381 / 29.12.86 )

ΤΕΛΙΚΗ  
ΕΚΘΕΣΗ ΤΟΥ ΠΡΟΓΡΑΜΜΑΤΟΣ  
του Ο. Α. Σ. Π.

" ΑΝΑΛΥΣΗ ΕΠΙΤΑΧΥΝΣΙΟΓΡΑΜΜΑΤΩΝ ΤΩΝ ΣΕΙΣΜΩΝ ΤΗΣ ΚΑΛΑΜΑΤΑΣ "

( 27.10.1986 - 27.12.1986 )

ΘΕΣΣΑΛΟΝΙΚΗ 1986

34/a

## ΠΕΡΙΕΧΟΜΕΝΑ

### Σελίδα

ΕΙΣΑΓΩΓΗ	1
1. ΕΔΑΦΙΚΗ ΚΙΝΗΣΗ ΑΠΟ ΤΟΥΣ ΣΕΙΣΜΟΥΣ ΤΗΣ ΚΑΛΑΜΑΤΑΣ	3
2. ΨΗΦΙΟΠΟΙΗΣΗ - ΔΙΟΡΘΩΣΗ ΤΩΝ ΕΠΙΤΑΧΥΝΣΙΟΓΡΑΜΜΑΤΩΝ ΤΟΥ ΙΤΣΑΚ	8
3. ΦΑΣΜΑΤΑ ΑΠΟΚΡΙΣΗΣ ΤΩΝ ΣΕΙΣΜΩΝ ΤΗΣ ΚΑΛΑΜΑΤΑΣ	23
4. ΕΛΑΣΤΙΚΑ ΦΑΣΜΑΤΑ ΣΧΕΔΙΑΣΜΟΥ	39
4.1 Γενικά	39
4.2 Φάσματα σχεδιασμού των οριζόντιων συνιστώ- σών κατά Newmark-Hall για την Καλαμάτα	40
4.3 Συγκρίσεις με ανάλογα πιθανολογικά φάσματα απόκρισης - Προτεινόμενα φάσματα σχεδιασμού	41
5. ΣΥΜΠΕΡΑΣΜΑΤΑ - ΠΡΟΤΑΣΕΙΣ	47
ΒΙΒΛΙΟΓΡΑΦΙΑ	49
ΠΑΡΑΡΤΗΜΑ Α: Δελτία καταγραφής ισχυρής σεισμικής δόνησης	52
ΠΑΡΑΡΤΗΜΑ Β: Φάσματα απόκρισης $S_v$ , $S_a$ και $S_d$ σε τριλογαριθμικές κλίμακες, του κύριου σεισμού και του μεγαλύτερου μετασει- σμού (Επεξεργασία του ΕΝΕΑ)	59

## ΕΙΣΑΓΩΓΗ

Το πρόγραμμα "Ανάλυση επιτ/μάτων των σεισμών της Καλαμάτας" ανατέθηκε στο ΙΤΣΑΚ στα πλαίσια μιας γενικότερης μελέτης της μικροζωνικής της ίδιας περιοχής, από τον Οργανισμό Αντισεισμικού Σχεδιασμού και Προστασίας (ΟΑΣΠ). Η συγκεκριμένη μελέτη εκπονήθηκε το διάστημα 27 Οκτώβρη 1986 έως 27 Δεκέμβρη 1986.

Κύριος σκοπός της μελέτης αυτής, σύμφωνα με τους όρους της σχετικής σύμβασης, είναι η επεξεργασία και η ανάλυση των καταγραφών ισχυρών εδαφικών κινήσεων των σεισμών της Καλαμάτας. Επίσης γίνεται προσπάθεια σύγκρισης των αποτελεσμάτων αυτών, με άλλα προηγούμενα και δίνονται τα τελικά αποτελέσματα ώστε να χρησιμοποιηθούν στις επόμενες φάσεις του προγράμματος της μικροζωνικής.

Βασικοί στόχοι που έπρεπε να εκπληρωθούν ώστε να είναι δυνατή η επίτευξη του παρόντος προγράμματος ήταν οι εξής:

α. Εγκατάσταση και πύκνωση του ήδη υπάρχοντος δικτύου επιταχ/φων του ΙΤΣΑΚ με κύριο σκοπό να συλλεγούν δύο το δυνατόν περισσότερες καταγραφές.

β. Συλλογή και επεξεργασία σε δύο φάσεις των επιταχων/μάτων των σεισμών της Καλαμάτας. Στη πρώτη φάση δόθηκαν μερικά πρώτα αποτελέσματα για γενικές εκτιμήσεις της ισχυρής σεισμικής κίνησης, ενώ στη δεύτερη φάση έγινε συστηματική επεξεργασία και διόρθωση των καταγραφών. Στην φάση αυτή δόθηκαν οι τελικές διορθωμένες τιμές των γηίνων παραμέτρων.

γ. Μία πρώτη αξιολόγηση των αποτελεσμάτων της επεξεργασίας πραγματοποιήθηκε συγκρίνοντας τα αποτελέσματα της παρούσης μελέτης με άλλες που έγιναν κατά το παρελθόν στον Ελληνικό χώρο για επίσης ισχυρούς σεισμούς.

δ. Η ανταλλαγή απόψεων και συσχέτιση των αποτελεσμάτων της μελέτης αυτής με άλλες σεισμολογικές που πραγματοποιούνται από άλλους φορείς για την σεισμική ακολουθία της Καλαμάτας, έδωσαν πολύ εποικοδομητικά συμπεράσματα.

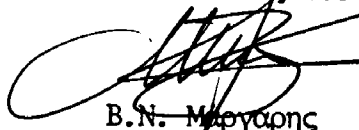
ε. Τέλος πρέπει να τονισθεί ότι ο επιταχ/φως του μονίμου δικτύου του ΙΤΣΑΚ που κατέγραψε τον κύριο σεισμό και είναι εγκατεστημένος στο κτίριο της Νομαρχίας, καθώς και τα λοιπά δργανα της μετασεισμικής ακολουθίας λειτούργησαν τέλεια παρέχοντας έναν ικανοποιητικό αριθμό καταγραφών. Αυτό οφείλεται κατά κύριο λόγο στη σωστή συντήρηση των επιταχ/φων από το τεχνικό προσωπικό του ΙΤΣΑΚ.

Η εργασία αυτή μπορεί να θεωρηθεί ένα βασικό βήμα για τις μεταγενέστερες μελέτες τόσο στα πλαίσια της μικροζωνικής όσο και γενικότερα για τα προβλήματα αντισεισμικής θωράκισης της πόλης της Καλαμάτας. Συνεπώς τα αποτελέσματα της μελέτης αυτής μπορούν να χρησιμοποιηθούν πολλαπλά τόσο για χρήσεις τεχνικής σεισμολογίας όσο και για χρήσεις αντισεισμικής μηχανικής. Ήδη για την άμεση ενημέρωση των σχετικών φορέων μια πρώτη δημοσίευση κρίθηκε σκόπιμη με κύριο στόχο να διευκρινισθούν οι παράμετροι των ισχυρών σεισμικών κινήσεων που επικράτησαν στην Καλαμάτα<sup>(1)</sup>.

Στο πρόγραμμα αυτό μετείχαν οι Ν.Θεοδουλίδης, Ν.Σωτηριάδης, Σ.Αναγνωστόπουλος, Δ.Παπασταματίου, Λ.Βορριάς, Α.Μαρίνος, Α.Ακριτίδης, Σ.Αντωνιάδου και Π.Αμπατζίδου.

Ειδικά πρέπει να μνημονευθεί το ENEA (Ιταλία-Ρώμη) διότι συνέβαλε ουσιαστικά στην ταχύτατη υποτοποίηση των επιτ/μάτων του ΙΤΣΑΚ με τον τελειότετού τύπου αυτόματο ψηφιοποιητή παρέχοντας τη μέγιστη αναμενόμενη ακρίβεια στην επεξεργασία των καταγραφών, προτιμήθηκε δε η λύση αυτή για λόγους που θα παρουσιασθούν στο κυρίως κείμενο. Η επεξεργασία των καταγραφών του ΙΤΣΑΚ από το ENEA πραγματοποιήθηκε δωρεάν στα πλαίσια επιστημονικής συνεργασίας των δύο Ινστιτούτων που ξεκίνησε από το 1985. Ευχαριστούμε θερμά τέλος δύσους συνέβαλαν στην επιτυχή περάτωση του προγράμματος αυτού και ιδιαίτερα τον Οργανισμό Αντισεισμικού Σχεδιασμού και Προστασίας για τη χρηματοδότηση του προγράμματος.

Ο Υπεύθυνος του προγράμματος

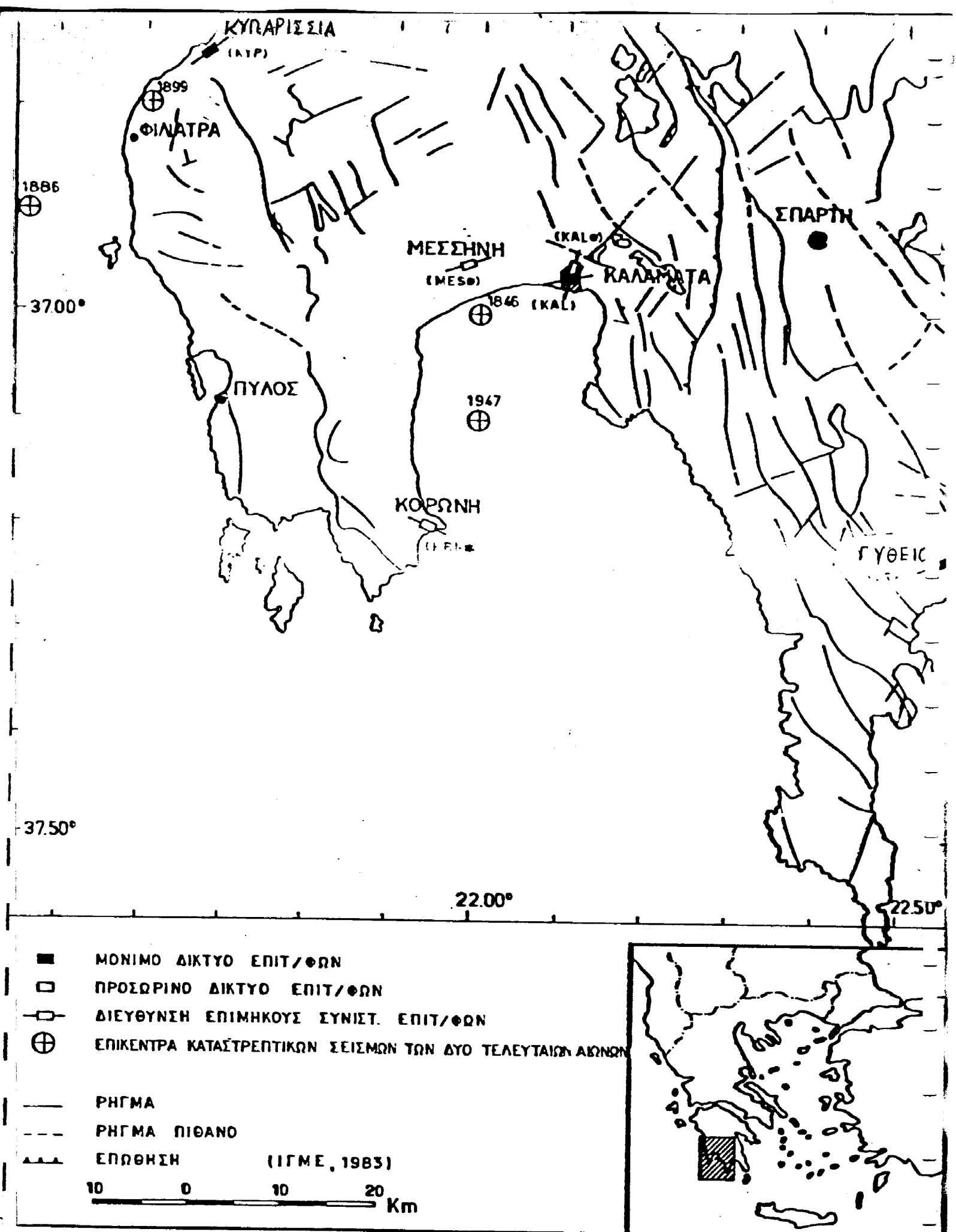


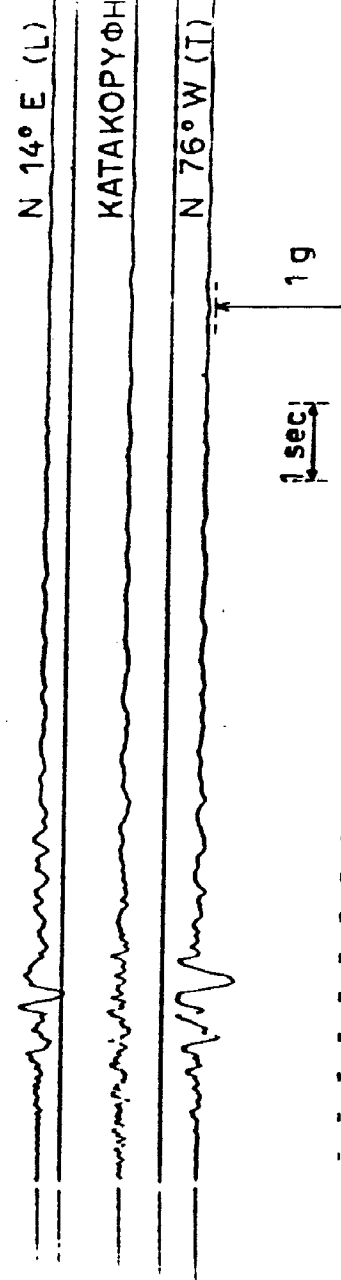
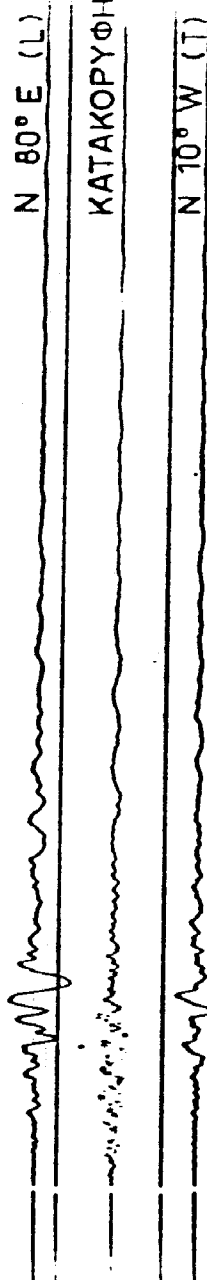
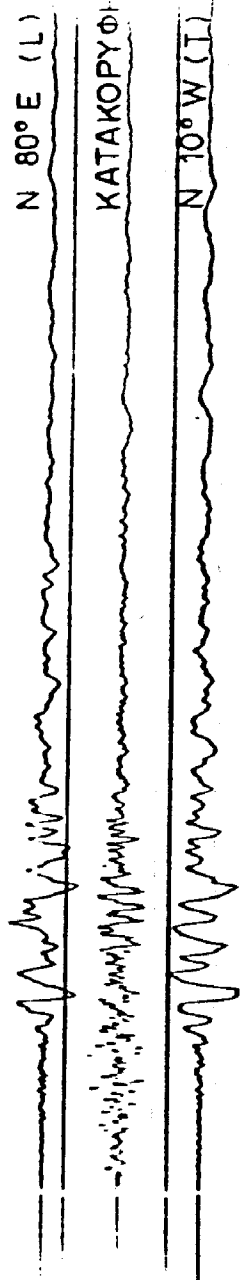
B.N. Μαρίνος

## 1. Η ΕΔΑΦΙΚΗ ΚΙΝΗΣΗ ΑΠΟ ΤΟΥΣ ΣΕΙΣΜΟΥΣ ΤΗΣ ΚΑΛΑΜΑΤΑΣ

Τη 13 Σεπτ. 1986, και 20:35 ώρα Ελλάδος ισχυρός σεισμός συγκλόνησε την ΝΔ Πελοπόννησο με επίκεντρο την Καλαμάτα. Σύμφωνα με τις πρώτες ανακοινώσεις του Γεωδυναμικού Ινστιτούτου του Εθνικού Αστεροσκοπείου Αθηνών και του Εργαστηρίου Γεωφυσικής του ΑΠΘ το επιφανειακό μέγεθος του σεισμού ήταν 6.2. Ο μεγαλύτερος μετασεισμός ακολούθησε δύο μέρες μετά τον κύριο σεισμό, στις 15 Σεπτ. 1986 και είχε επιφανειακό μέγεθος 5.4. Το ΙΤΣΑΚ προκειμένου να μελετήσει τη μετασεισμική ακολουθία και να συγκεντρώσει όσο το δυνατόν περισσότερες καταγραφές οργάνωσε κλιμάκια που μετέβησαν στην Καλαμάτα με κύριο στόχο την πύκνωση με νέα όργανα, του ήδη υπάρχοντος μόνιμου δικτύου επιταχ/φων.

Το δίκτυο οργάνων καταγραφής ισχυρής εδαφικής δόνησης του ΙΤΣΑΚ περιλαμβάνει τρεις επιταχυνσιογράφους τύπου SMA-1 στη Νότια Πελοπόννησο, εγκατεστημένους στην Καλαμάτα, στην Κυπαρισσία και στο Γύθειο (Σχ.1). Με όριο διέγερσης των οργάνων κατακόρυφη επιτάχυνση εδάφους ίση προς 0.005 g όπου g = επιτάχυνση βαρύτητας, ο σεισμός της 13-9-1986 διέγειρε τους επιταχυνσιογράφους στην Καλαμάτα και στο Γύθειο. Στις 14 Σεπτ. 1986 το ΙΤΣΑΚ εγκατέστησε στην περιοχή τρεις ακόμα επιταχυνσιογράφους, έναν στην Καλαμάτα, έναν στη Μεσσήνη και έναν στην Κορώνη (Σχ.1). Αντίγραφα των καταγραφών περιλαμβάνονται στα Δελτία Καταγραφής Ισχυρής Σεισμικής Δόνησης που εκδίδει το ΙΤΣΑΚ και τα οποία δημοσιεύθηκαν στο τεύχος 1436 (13-10-86) Ενημερωτικού Δελτίου του ΤΕΕ. Τα δελτία αυτά έχουν περιληφθεί στο Παράρτημα Α. Οι σημαντικότερες καταγραφές είναι τρεις: του κύριου σεισμού στην Καλαμάτα και του μετασεισμού της 15-9-1986 από τους επιταχ/φωνς πάλι στην Καλαμάτα. Οι τρεις αυτές καταγραφές, αντίγραφα του φίλμ, φαίνονται στο Σχ.2. Οι τρεις συνιστώσες κάθε καταγραφής δύο οριζόντιες και μία κατακόρυφη συμβολίζονται αντίστοιχα με τα γράμματα L (Longitudinal=επιμήκης), T (Transverse= εγκάρσια) και V (Vertical= κατακόρυφη). Αξίζει να σημειωθεί ότι ο επιταχ/φως που κατέγραψε τον κύριο σεισμό και τον κύριο μετασεισμό είναι εγκατεστημένος στο υπόγειο του 7ωρόφου κτιρίου της Νομαρχίας, ενώ ο δεύτερος επιταχ/φως που κατέγραψε τον μετασεισμό είναι εγκατεστημένος στο υπόγειο του νέου 4ωρόφου κτιρίου του ΟΤΕ. Τα όργανα απέχουν μεταξύ τους περί τα 250 m σε ευθεία γραμμή. Περισσότερες πληραφορίες για τα όργανα δίνονται





Ex. 2: Οι τρεις σημαντικότερες καταγραφές (αντίγραφο φύλαι) του ωκεανού σεισμού 13/9/86 και του μετασεισμού 15/9/86 από τους δύο επιταχυνούσιμους στην Καλαμάτα.

στα Δελτία του Παραρτήματος Α. Εκτός από τις κύριες καταγραφές, μέσα στο Παράρτημα Α περιέχονται και τα Δελτία των υπόλοιπων καταγραφών της σει-  
σμικής ακολούθιας της Καλαμάτας.

Σημαντικές πληροφορίες που μπορούν να εξαχθούν από το φίλμ των καταγραφών είναι οι μέγιστες επιταχύνσεις, η διάρκεια της ισχυρής δόνησης, η δεσπόζουσα περίοδος και η απόσταση της καταγραφής από την εστία. Τέτοιες πληροφορίες παρέχονται στα Δελτία του Παραρτήματος Α ενώ από μετρήσεις στα επιταχυνσιογράμματα του ΙΤΣΑΚ προκύπτει ότι η απόσταση της εστίας του κύριου σεισμού από την πόλη της Καλαμάτας είναι 15 km και του κύριου μετασεισμού περί τα 11 km, στοιχεία που βρίσκονται σε καλή συμφωνία με τα αποτελέσματα του Εργαστηρίου Γεω-  
φυσικής του ΑΠΘ<sup>(2)</sup>.

Στο Σχ.1 απεικονίζεται το μόνιμο δίκτυο επιταχυν/φων του ΙΤΣΑΚ με τα μαίρα παραλληλόγραμμα ενώ τα λευκά απεικονίζουν το προσωρινό δίκτυο που εγκαταστάθηκε μετά το σεισμό της 13-9-1986. Η διακεκομένη γραμμή πάνω στα παραλληλόγραμμα δηλώνει την επίμηκη συνιστώσα του επιταχυνσιογράφου. Όπως φαίνεται στο Σχ.1 οι δύο επιταχυνσιογράφοι στην Καλαμάτα είναι εγκατεστημένοι σχεδόν κάθετα ο ένας προς τον άλλο, με αποτέλεσμα η επίμηκης συνιστώσα της καταγραφής του ενός να αντιστοιχεί προς την εγκάρσια συνιστώσα του άλλου. Αυτό δηλώνεται ώστε να επισημανθεί η πολύ μεγάλη ομοιότητα που παρουσιάζουν οι δύο καταγραφές (Σχ.2). Αυτό καθιστά τις καταγραφές πλήρως αξιόπιστες παρά την απόσταση των 250 μέτρων που χωρίζει τα αντίστοιχα όργανα.

Για να δοθεί τέλος, μία καλύτερη εικόνα της εδαφικής κίνησης και των συνεπειών του σεισμού της Καλαμάτας, συγκρίνονται στον Πίνακα 1 διάφορα στοιχεία του σεισμού με τα αντίστοιχα στοιχεία από τους σεισμούς των Αλκυονίδων (Καταγραφή στη Κόρινθο)<sup>(3)</sup>, Θεσσαλονίκης<sup>(4)</sup> και El Centro<sup>(5)</sup>. Παρόλο που ο σεισμός της Καλαμάτας είναι μικρότερος απ'όλους, η δόνηση ήταν πολύ έντονη, της ίδιας περίπου έντασης με την δόνηση της Κορίνθου από τον σεισμό των Αλκυονίδων, οπωδήποτε ισχυρότερη από την δόνηση της Θεσσαλονίκης και λιγότερο ισχυρή από τη γνωστή δόνηση του σεισμού του El Centro του 1940. Θα πρέπει να θεωρηθεί ευτύχημα ότι η διάρκεια της ισχυρής δόνησης (με επιταχύνσεις  $\pm 0.1g$ ) ήταν μικρή διότι διαφορετικά οι βλάβες στις οικοδομές θα ήταν πιο εκτεταμένες και οι καταρρεύσεις περισσότερες. Η μικρή διάρκεια της ισχυρής δόνησης αφελεταί, κατά κύριο λόγο στο μικρό μέγεθος του σεισμού ενώ η υψηλή σχετικά, ένταση αφελεταί στη μικρή απόσταση από την εστία.

Πίνακας 1: Συγκρίσεις των σεισμών της Καλαμάτας με διάφορους γνωστούς σεισμούς

ΜΕΤΕΒΟΣ	ΚΑΛΑΜΑΤΑ 1986			ΑΛΚΥΩΝΙΔΕΣ 1981 (ΚΟΡΙΝΘΟΣ-ΛΟΥΤΡΑΚΙ)			ΘΕΣΣΑΛΟΝΙΚΗ 1978			EL CENTRO 1940 CALIFORNIA		
	N10W	N80E	KATAK.	N55W	N35E	KATAK.	N60W	N30E	KATAK.	N00S	N90W	KATAK.
max $\ddot{U}_{\text{eff}}$ (g)	0.27	0.24	0.18	0.29	0.24	0.10	0.15	0.14	0.14	0.35	0.21	0.21
max $\dot{U}_{\text{eff}}$ (cm/sec)	23.7	32.3	9.0	24.6	22.5	8.01	16.7	12.7	7.6	33.5	36.9	10.8
max $U_{\text{eff}}$ (cm)	5.3	7.2	1.4	6.4	6.7	2.6	3.4	3.0	1.0	10.87	19.8	5.6
→ max $\ddot{U}_{\text{eff}}/\text{max } \dot{U}_{\text{eff}}$	87.8	134.8	49.6	85.9	94.6	83.8	108.1	89.2	56.0	96.0	172.3	51.5
Μέγεθος Σεισμού (Ms)	6.2			6.7			6.5			7.1		
Απόσταση από επίκεντρο (km)	15			20			30			11		
Διάρκεια τοχυτής δύνης (1)	2.5			6.0			5.0			20.0		
Αριθμός απλαντικών καταφρεύσεων (κτίρια από απλ. ακυρόβεμα)	7			9			1					
Ποσοστό οικοδομών χωρίς αξειδώγες (2) βλάβες	33%			91%			69%					
Χρόνος Σεισμού	13/9/86 20:35			24/2/81 22:54			20/6/78 23:03					
Αριθμός Νεκρών <sup>(3)</sup>	20			20			48					

(1) Επιταχύνσεις μεγαλύτερες του 0.1 g

(2) Από στοιχεία του ΟΑΣΠ και του ΥΠΕΧΩΔΕ

(3) Περιλαμβάνει και νεκρούς από τους μετασεισμούς

## 2. ΨΗΦΙΟΠΟΙΗΣΗ - ΔΙΟΡΘΩΣΗ ΤΩΝ ΕΠΙΤΑΧ/ΜΑΤΩΝ ΤΟΥ ΙΤΣΑΚ

Για την παραπέρα λεπτομερή μελέτη της σεισμικής δόνησης χρειάζεται να μετατραπούν οι αναλογικές καταγραφές (φωτογραφικό φύλμ) σε ψηφιακές, διορθώνοντας ταυτόχρονα και τα αφάλματα που υπεισέρχονται τόσο κατά την καταγραφή της δόνησης όσο και κατά την επεξεργασία της. Η όλη διαδικασία αποτελεί την ψηφιοποίηση-διόρθωση των καταγραφών ισχυρών σεισμικών κινήσεων. Η ψηφιοποίηση των καταγραφών των σεισμών της Καλαμάτας έγινε στο Ιταλικό Ερευνητικό Κέντρο ENEA όπου εφαρμόζεται μία από τις τελειότερες επεξεργασίες επιταχ/μάτων. Το ΙΤΣΑΚ ακολούθησε αυτή την επιλογή με κύριο στόχο την ακριβέστερη και γρηγορότερη επεξεργασία των δεδομένων ώστε σε σχετικά σύντομο διάστημα να έχει τα πλέον αξιόπιστα αποτελέσματα για την παραπέρα χρήση τους.

Η επεξεργασία της ψηφιοποίησης των επιταχ/μάτων μπορεί να πραγματοποιηθεί σε ημιαυτόματο (χειροκίνητη επεξεργασία) όσο και σε αυτόματο ψηφιοποιητή. Οι δύο διαδικασίες διαφέρουν κυρίως ως προς τον απαιτούμενο χρόνο επεξεργασίας αλλά και ως προς το σύνολο των αφαλμάτων που υπεισέρχονται από κάθε μία χωριστά. Με την ημιαυτόματη ψηφιοποίηση εισάγουμε ένα μεγάλο αριθμό αφαλμάτων που αφείλονται στον χειριστή. Η παρέμβαση του χειριστή στο τελικό αποτέλεσμα της ημιαυτόματης ψηφιοποίησης παρουσιάζεται σε πειράματα που έγιναν στο CALTECH<sup>(6)(7)</sup>. Το ENEA για την ψηφιοποίηση των καταγραφών του χρησιμοποιεί αυτόματο ψηφιοποιητή μεγάλης ακρίβειας με resolution (400-500 σημεία/sec) και ταχύτητα επεξεργασίας ( $0.5 \pm 100 \text{ mm/sec}$ )<sup>(8)</sup>. Η ψηφιοποίηση των καταγραφών σ' αυτόν τον ψηφιοποιητή ολοκληρώνεται στο  $1/10$  του χρόνου της ημιαυτόματης ψηφιοποίησης, περιορίζοντας στο ελάχιστο τις αστοχίες που αφείλονται στο χειριστή και αποτελούν μια ουσιαστική πηγή λαθών κατά την επεξεργασία.

Η κύρια επεξεργασία των ψηφιοποιημένων καταγραφών για την απομάκρυνση των αφαλμάτων τόσο κατά τη διάρκεια της καταγραφής όσο και κατά την ψηφιοποίηση αναττύχθηκε στις αρχές της δεκαετίας του '70 στο CALTECH<sup>(9)</sup>. Από τότε μια σειρά από Αμερικάνικα και Ευρωπαϊκά Ινστιτούτα βοήθησαν στη συστηματική τελειοποίηση της ψηφιοποίησης-διόρθωσης των επιταχ/μάτων<sup>(6)(7)(10)</sup>. Ο βασικός σκελετός όμως όλων των μεθοδολογιών είναι η διαδικασία που εφαρμόσθηκε στο CALTECH. Σ' αυτήν τη διαδικασία γίνεται προσπάθεια απομάκρυνσης από την ψηφιο-

ποιημένη καταγραφή όλων των συχνοτήτων μικρότερων των 0.05 Hz και μεγαλύτερων των 25 Hz με αποτέλεσμα το φάσμα των συχνοτήτων που παραμένει να μας παρέχει με την καλύτερη προσέγγιση την πραγματική γήινη επιτάχυνση. Οι εισερχόμενες υψηλές και χαμηλές συχνότητες που αφείλονται σε αύτια ανεξάρτητα της αναγραφόμενης κίνησης είναι η κύρια πηγή των υψηλής και χαμηλής συχνότητας αφαλμάτων που επιθυμούμε να εξαλείψουμε κατά την επεξεργασία της διόρθωσης της καταγραφής. Για το σκοπό αυτό στην επεξεργασία εισάγουμε μια σειρά από ψηφιακά φίλτρα που πραγματοποιούν τη διαδικασία απομάκρυνσης των πολύ χαμηλών και πολύ υψηλών συχνοτήτων που διεθνώς χαρακτηρίζονται σαν θόρυβος (noise). Σημαντικές έρευνες στον καθορισμό του εύρους του χρησιμοποιούμενου φίλτρου κατά την ψηφιοποίηση και ειδικά ο υπολογισμός του (low - pass) φίλτρου προκειμένου να απομακρύνουμε το θόρυβο με χαμηλές συχνότητες πραγματοποιήθηκαν από τους Basili και Brady (1978)<sup>(11)</sup>.

Η εισαγωγή του FFT<sup>(12)</sup> (Fast Fourier Transform) αλγόριθμου στους υπολογισμούς της διόρθωσης των αφαλμάτων της ψηφιοποίησης βοήθησε σημαντικά στην ταχύτητα της εφαρμοζόμενης επεξεργασίας. Κατά την εφαρμογή της γνωστής διαδικασίας διόρθωσης επιταχ/φων του CALTECH<sup>(9)</sup> το χρησιμοποιούμενο (low-pass) φίλτρο του Ormsby<sup>(13)</sup> μπορεί να εκφρασθεί σαν μια σειρά από διακεκριμένες συνελίξεις

$$y(n) = x(n) * h(n) = \sum_{k=1}^{N-1} h(k) \cdot x(n-k) \quad (2.1)$$

όπου

$x(n)$ : ακολουθία ίσων διαστημάτων στον χρόνο που θα φιλτραρισθεί

(τα ίσα διαστήματα του επιτ/ματος στον χρόνο)

$y(n)$ : το εφαρμοζόμενο φίλτρο της  $x(n)$

$h(n)$ : η ακολουθία των βαρών του φίλτρου του Ormsby.

Η χρησιμοποίηση του FFT<sup>(12)</sup> (Fast Fourier Transform) κατά τη διόρθωση των επιτ/μάτων σε τροποποιημένη διαδικασία του CALTECH δίνει μία ταχύτερη συνέλιξη στον υπολογισμό του (low-pass) φίλτρου του Ormsby. Όπως καθορίσθηκε από την σχέση (2.1), η διακεκριμένη συνέλιξη  $x(n)$  και  $h(n)$  είναι ισοδύναμη πράξη σε μετασχηματιζόμενο πεδίο συχνοτήτων με το πολλαπλασιασμό των DFT<sup>(12)</sup> (Discrete Fourier Transform) των δύο σημάτων  $X(f)$  και  $H(f)$

$$x(n) * h(n) \Leftrightarrow X(f) \cdot H(f) \quad (2.2)$$

Υπάρχουν ουσιαστικά 3 βήματα υπολογισμού της ταχείας αυτής συνέλιξης χρησιμοποιούντας DFT (Discrete Fourier Transform):

1. Υπολογίζεται το DFT των δύο σημάτων χρησιμοποιούντας ένα FFT αλγόριθμο

$$X(f) = \sum_{n=0}^{N-1} [x(n) \exp(-2\pi i n f / N)] \quad (2.3)$$

$$H(f) = \sum_{n=0}^{N-1} [h(n) \exp(-2\pi i n f / N)] \quad (2.4)$$

2. Οι μετασχηματισμοί των σημάτων πολλαπλασιάζονται μαζί σ'όλες τις συχνότητες

$$Y(f) = X(f) \cdot H(f) \quad (2.5)$$

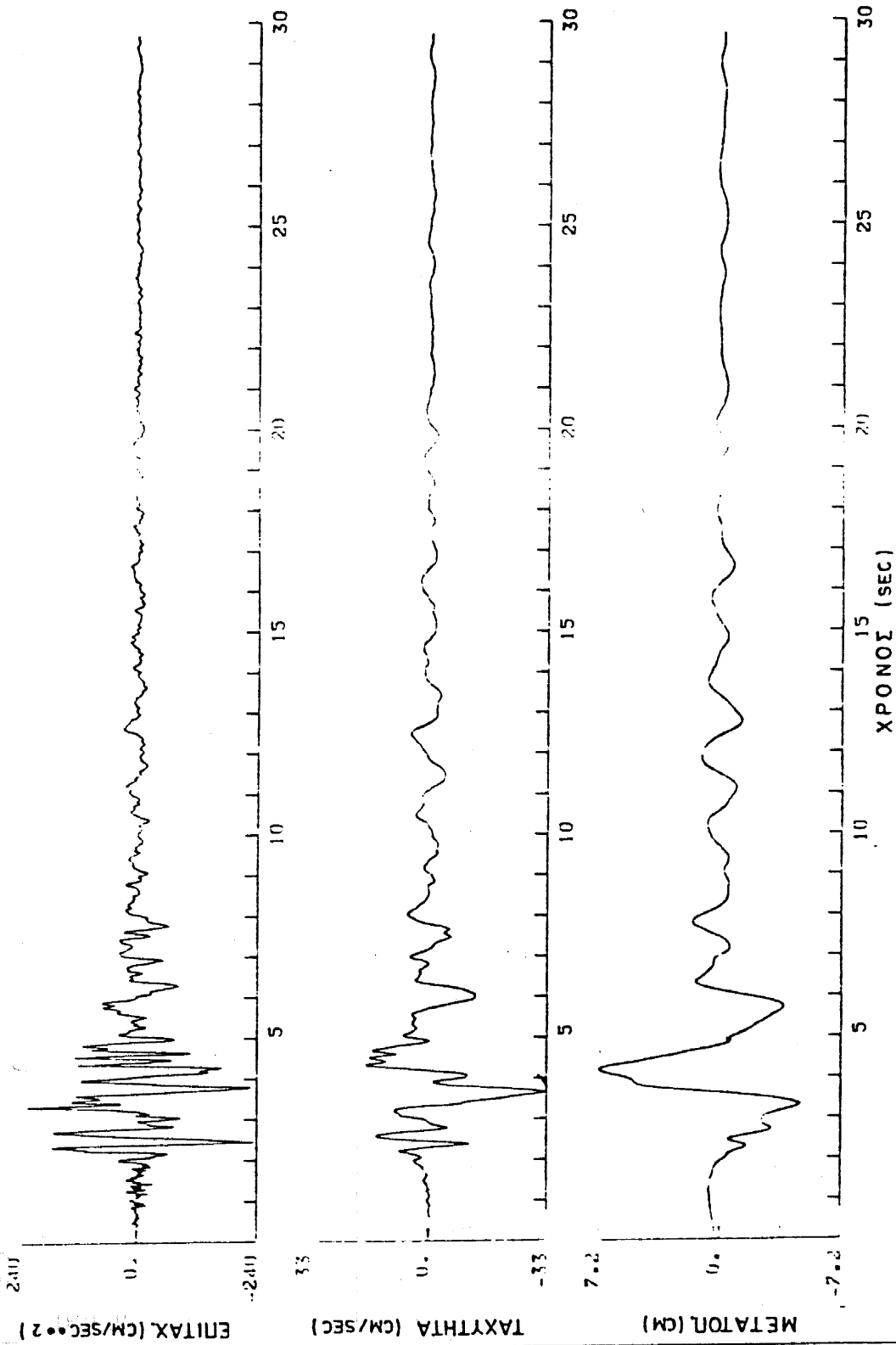
3. Υπολογίζεται ο αντίστροφος μετασχηματισμός του γινομένου (2.5) με έναν FFT αλγόριθμο

$$y(n) = \frac{1}{N} \sum_{f=0}^{N-1} [Y(f) \exp(2\pi i n f / N)] \quad (2.6)$$

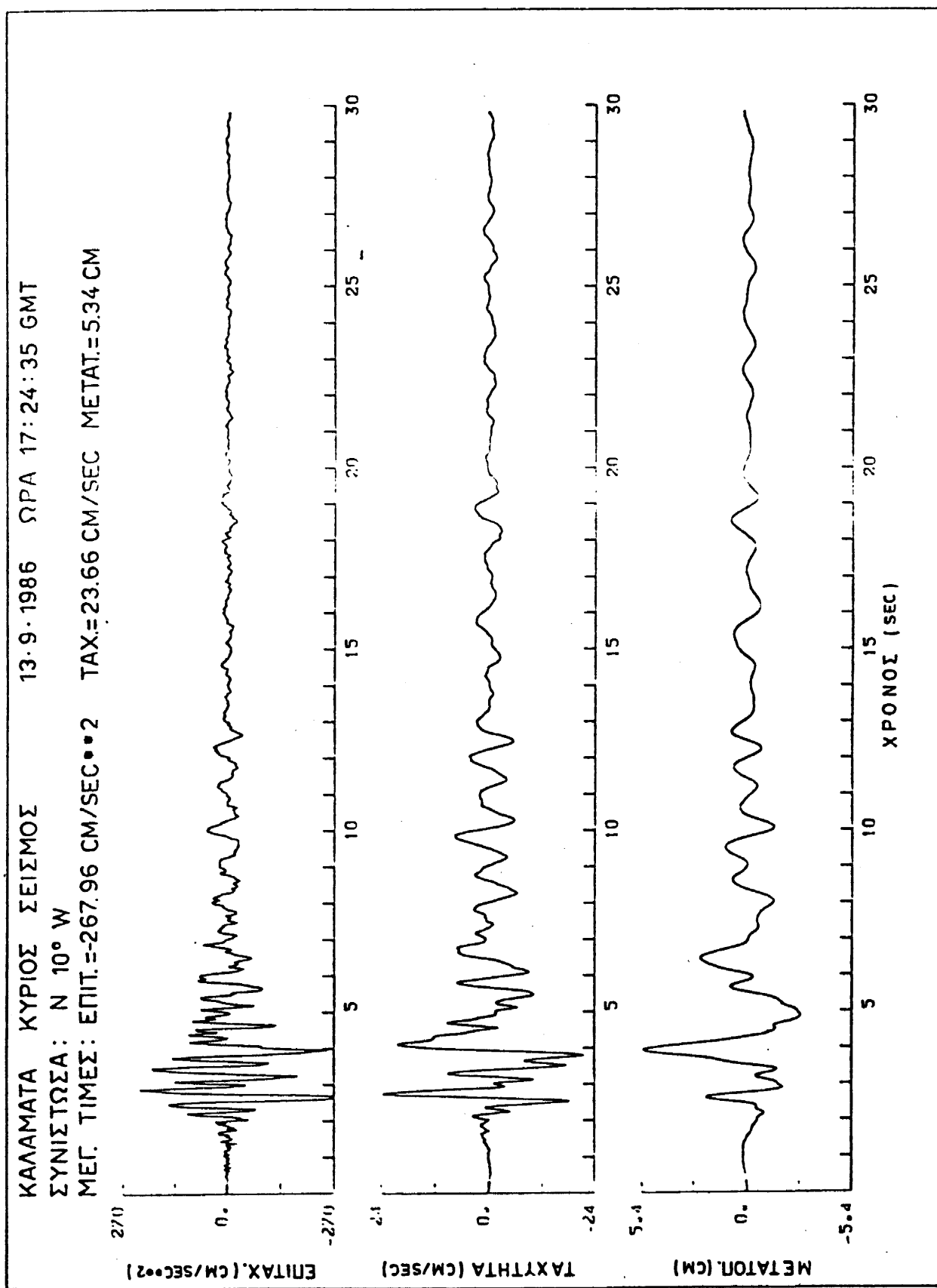
Έτσι η διακεκριμένη συνέλιξη της εξίσωσης (2.1) αντικαθίσταται από τις εξιώσεις (2.3), (2.4), (2.5) και (2.6). Λόγω της χρήσης του FFT αλγόριθμου έχει δειχθεί<sup>(14)</sup> ότι η συγκεκριμένη μεθοδολογία διόρθωσης επιταχ/των είναι πολύ ταχύτερη σε σχέση με την κλασική διαδικασία του CALTECH.

Στην προσπάθεια να ψηφιοποιηθούν τα επιταχ/τα από τους σεισμούς της Καλαμάτας με την ταχύτερη και πλέον αξιόπιστη μεθοδολογία, παίρνονται υπόψη και τα παραπάνω πλεονεκτήματα των νέων μεθοδολογιών επεξεργασίας-διόρθωσης των καταγραφών ισχυρής εδαφικής κίνησης, οι καταγραφές στάλθηκαν στο ENEA και σε μικρό χρονικό διάστημα αποκτήθηκαν οι διορθωμένες τιμές (επιταχύνσεις, ταχύτητες και μετατοπίσεις) των επιτ/μάτων της Καλαμάτας Σχ. 3-11. Τα Σχ. 3-5 απεικονίζουν τις διορθωμένες τιμές των 3 συνιστωσών επιτάχυνσης, ταχύτητας και μετατόπισης του κύριου σεισμού της 13ης Σεπτ. 1986. Τα Σχ. 6-8 και 9-11 δίνουν τις διορθωμένες τιμές του μετασεισμού της 15ης Σεπτ. 1986 από τους δύο επιτ/φους που είναι εγκατεστημένοι στο κτίριο της Νομαρχίας και στο νέο κτίριο του ΟΤΕ της Καλαμάτας αντίστοιχα. Οι διορθωμένες τιμές του επιτ/τος του μεγαλύτερου μετασεισμού (15 Σεπτ. 1986) που καταγράφηκε στην Μεσσήνη παρουσιάζεται στα Σχ. 12-14.

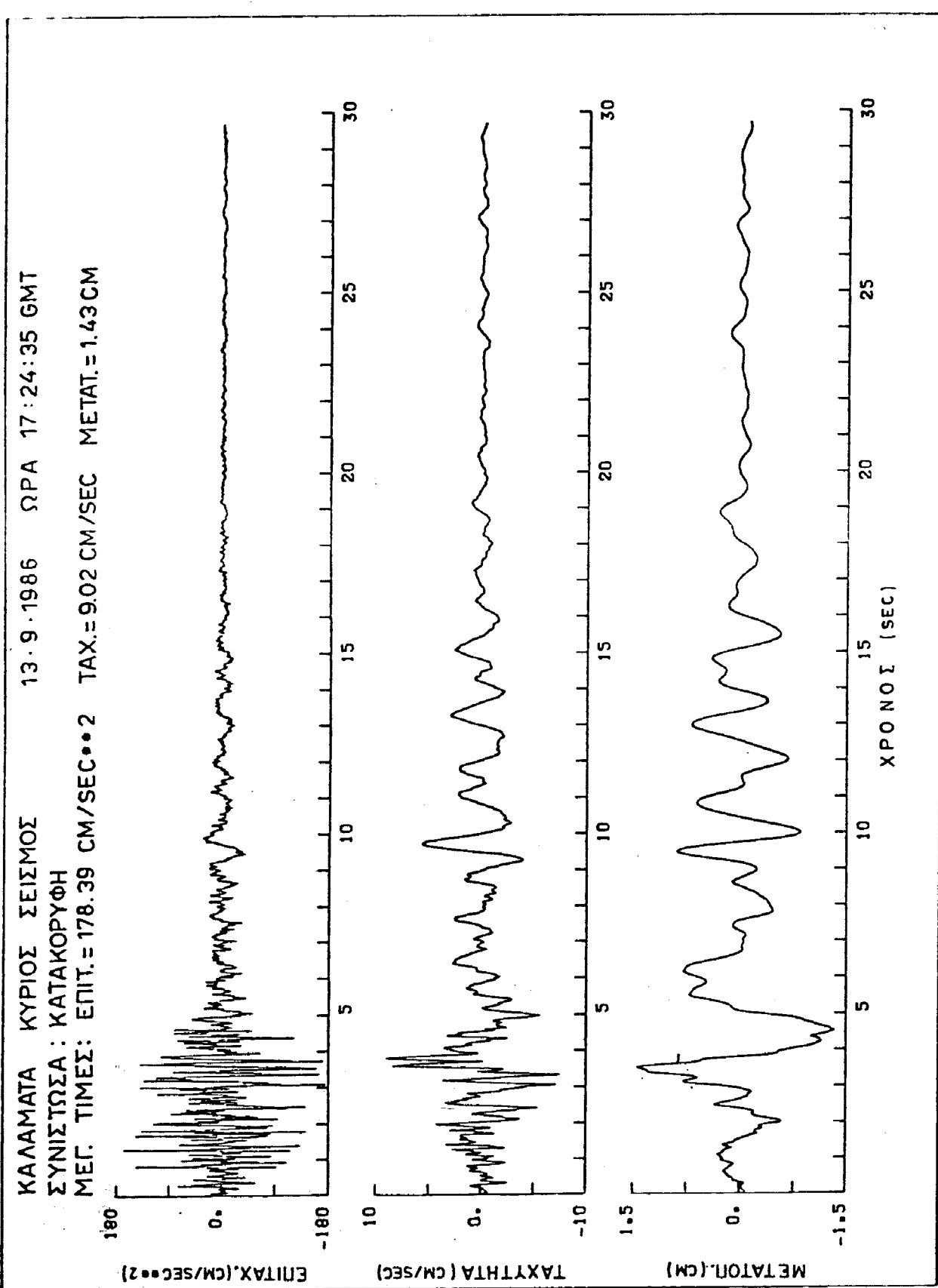
ΚΑΛΑΜΑΤΑ ΚΥΡΙΟΣ ΣΕΙΣΜΟΣ  
 ΣΥΝΙΣΤΩΣΑ : N 80° E  
 ΜΕΓ. ΤΙΜΕΣ: ΕΠΙΤ.= 235.32 CM/SEC••2 TAX=-32.33 CM/SEC METAT.= 7.18 CM



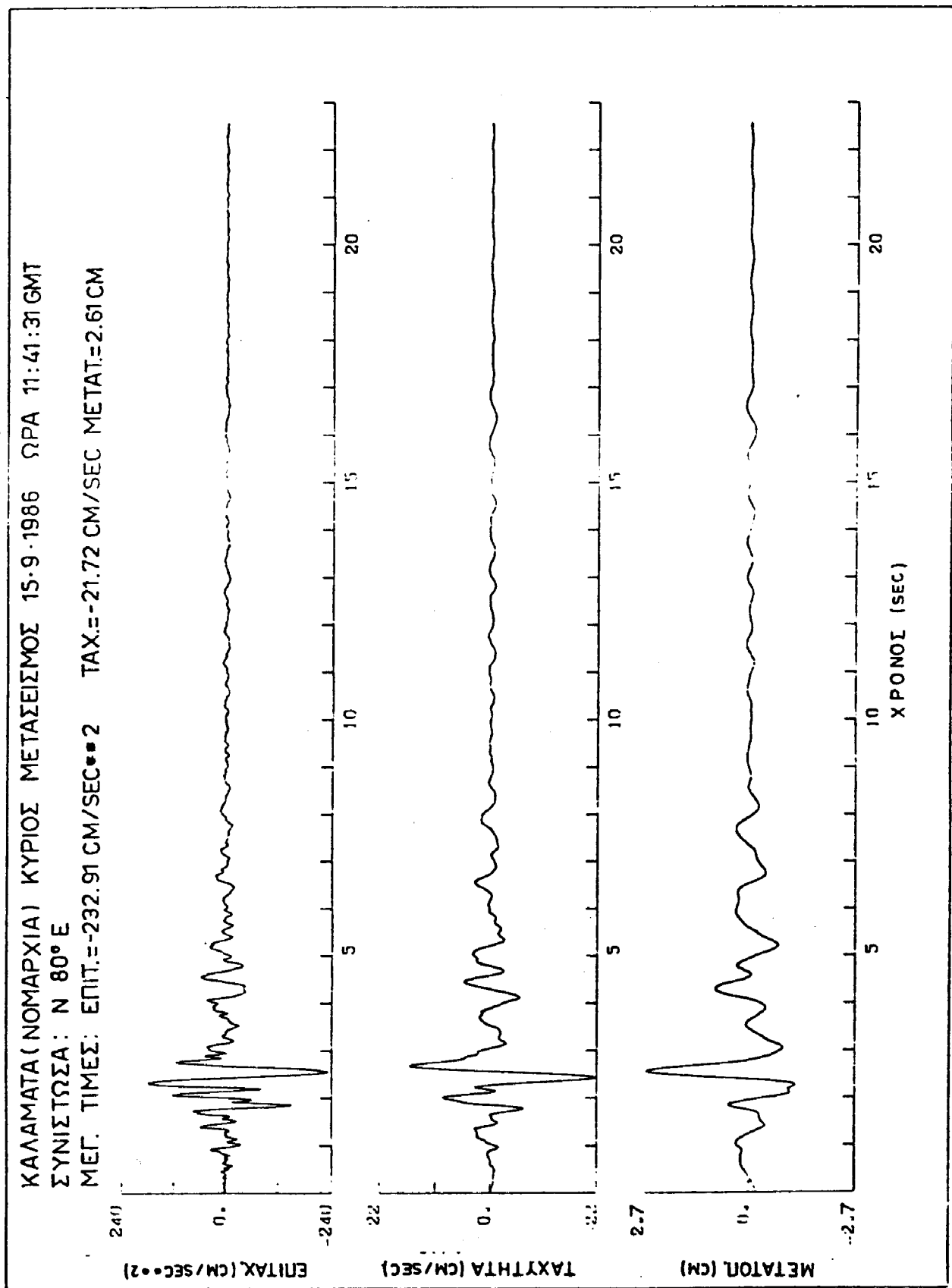
Σχ. 3: Διαδικαμένες επιταχύνσεις, ταχύτητες και μετατοπίσεις της στρωματικούς συνιστώσας (L)  
 του καλίου σεισμού.



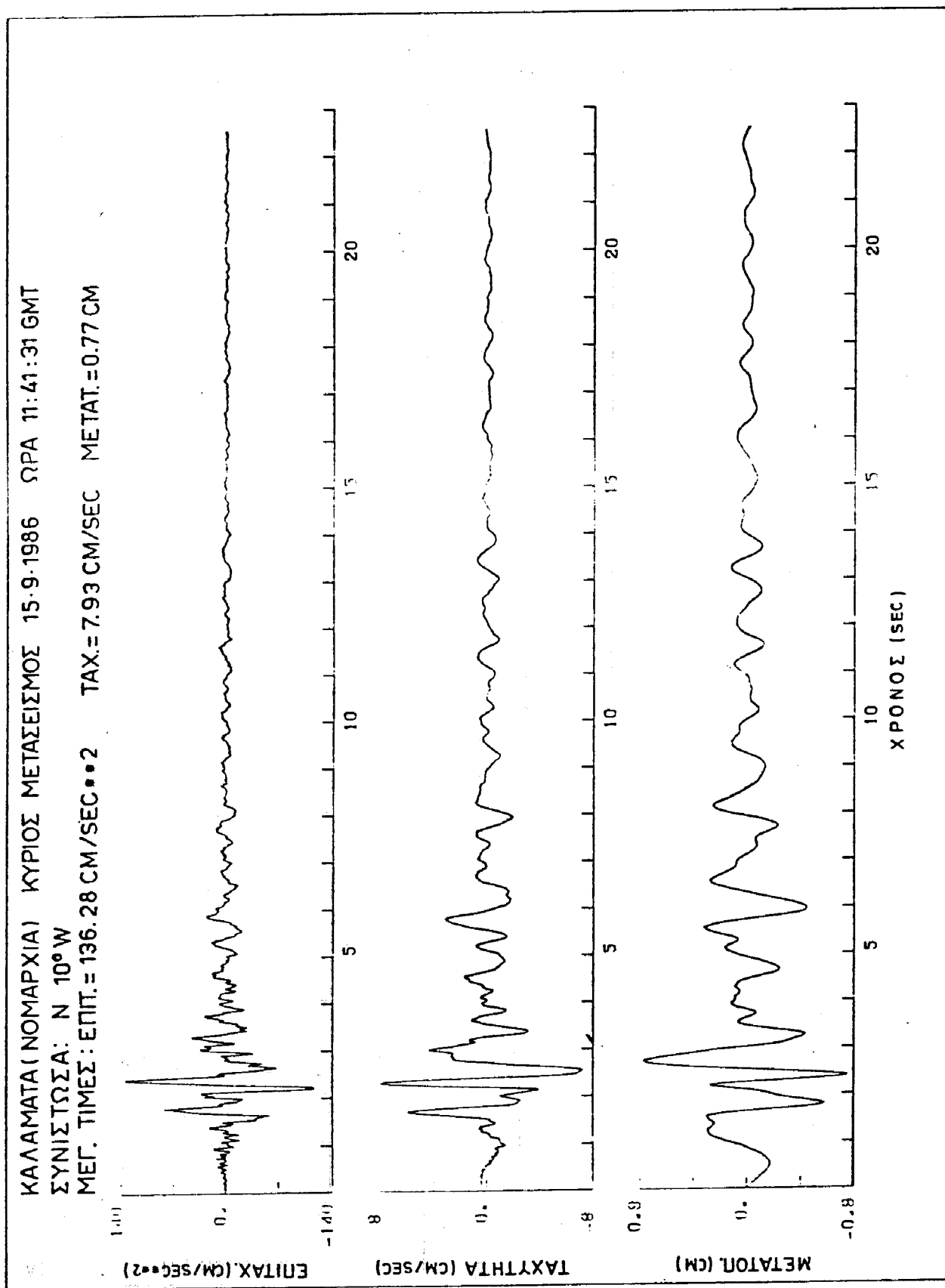
Σχ. 4: Διαρρογμένες επιταχύνσεις, ταχύτητες και μετατοπίσεις της γηφόρως συντονώντας (T) του καθίσματος



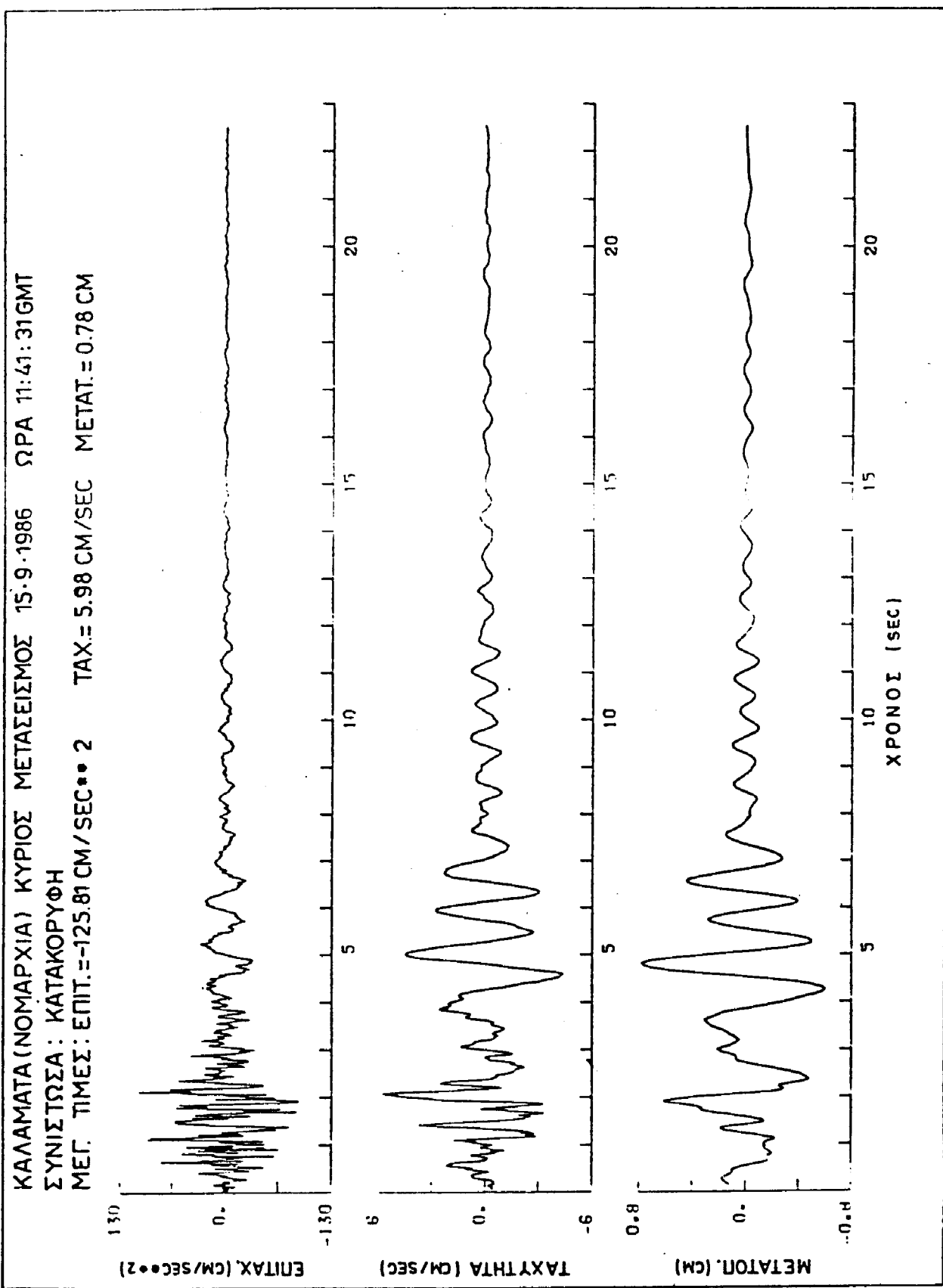
Σχ. 5: Αυτορράμφες επιτακτικότες, ταχύτητες και μετατοπίσεις της καταστροφικής σεισμώς (ντακάνικον σεισμό).



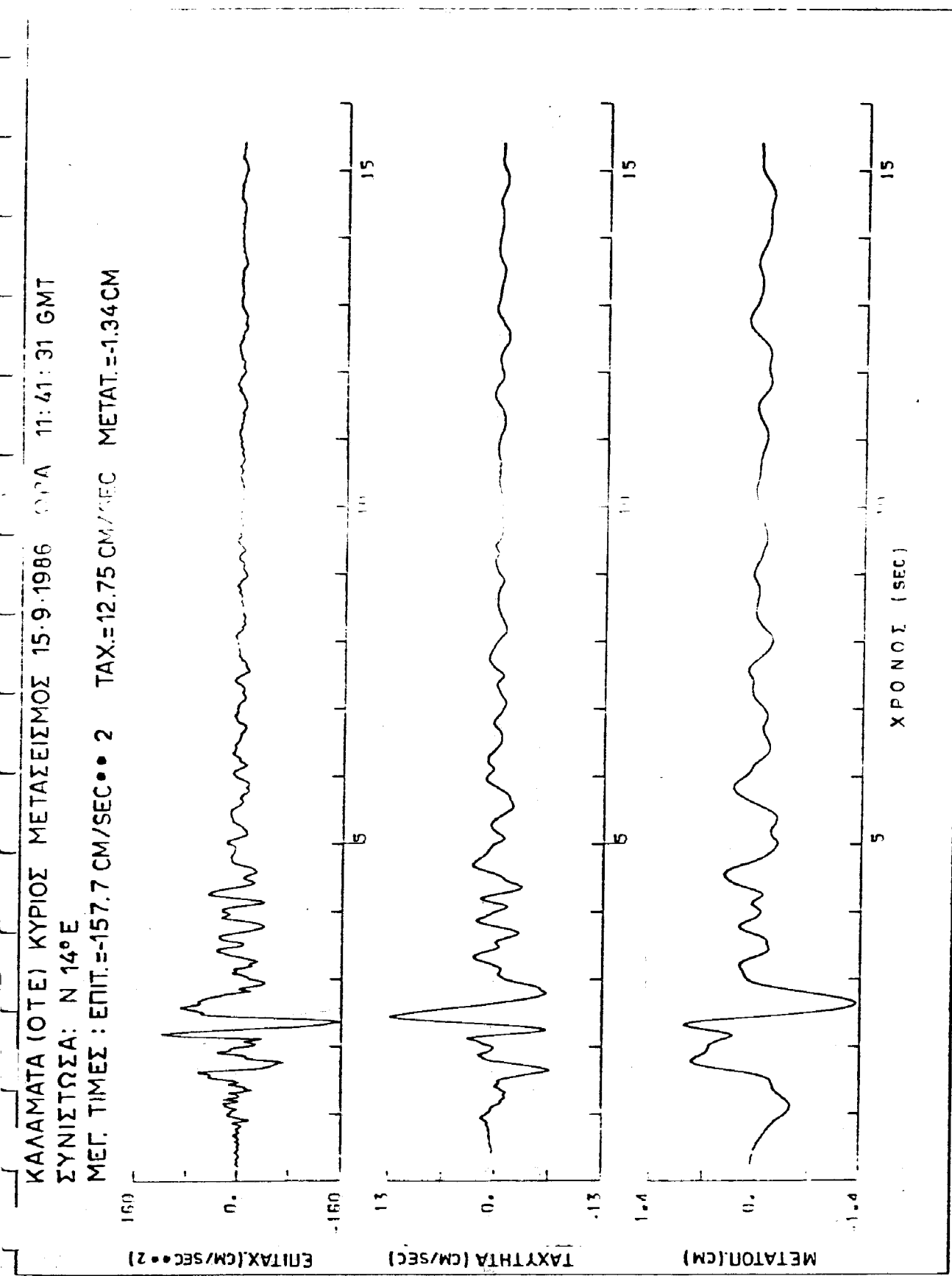
Σχ. 6: Διαδοχικές εταιρικές, ταχύτητες και μετατόπισης της επιμήκυνσης συντονίσεως (L) από μετασεισμού της 15/9/86 (Καταγραφή Νομοχώρας).



Εικ. 7: Διαδικασίες επιταχύνωσες, τοχύτητας και μετατονίσεως της εγκέρδου συντούσας (T) του μετασεισμού της 15/9/86 (Καταγραφή Νομαρχίας).

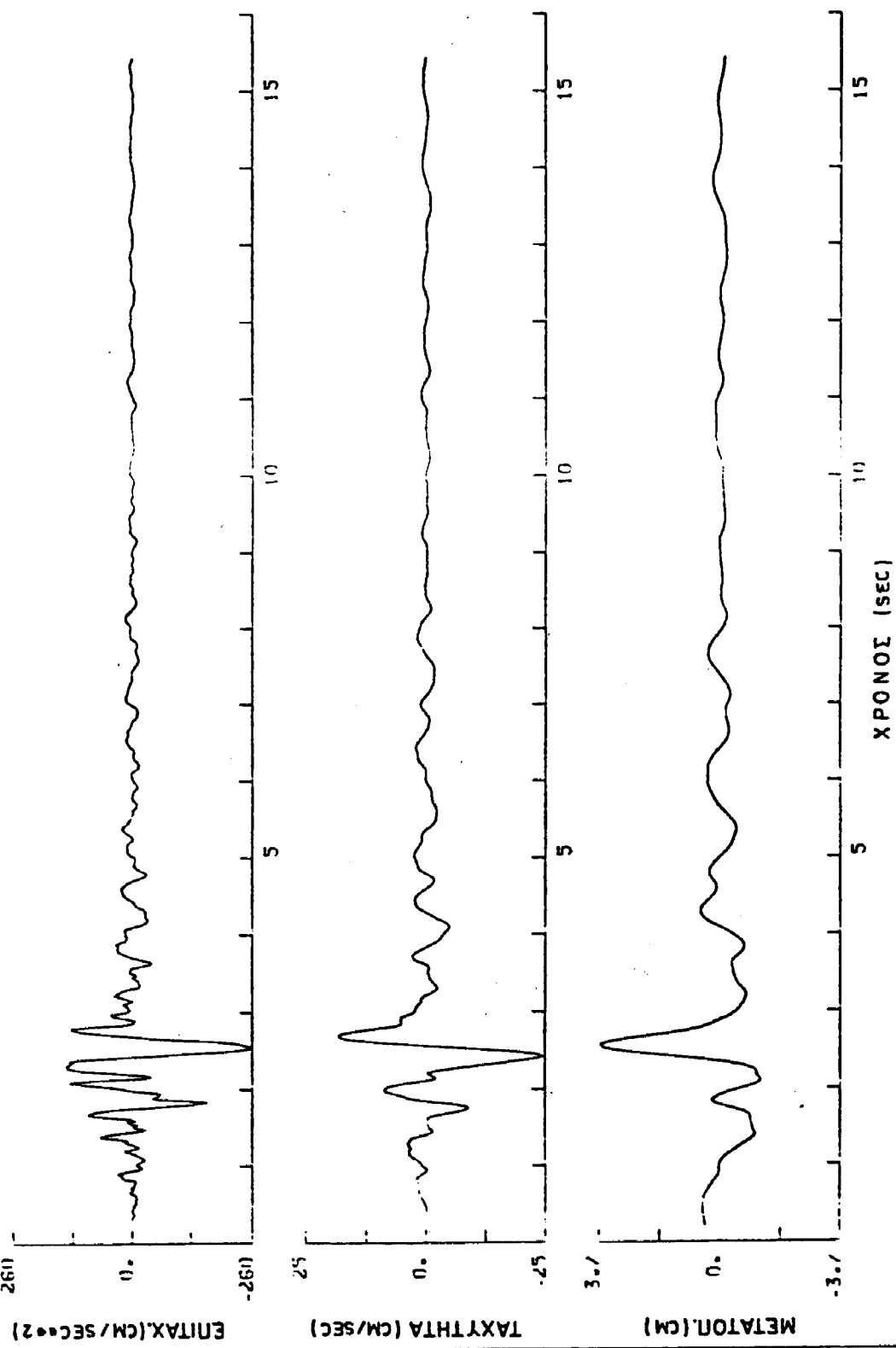


Σχ. 8: Διαρρήγησες ετη ταχύτων, ταχύτητες και μετασεισμοί της καταδύοντας συνολής (V) του μετασεισμού της 15/9/86 (Καταρράκτης Ναυπολέων).

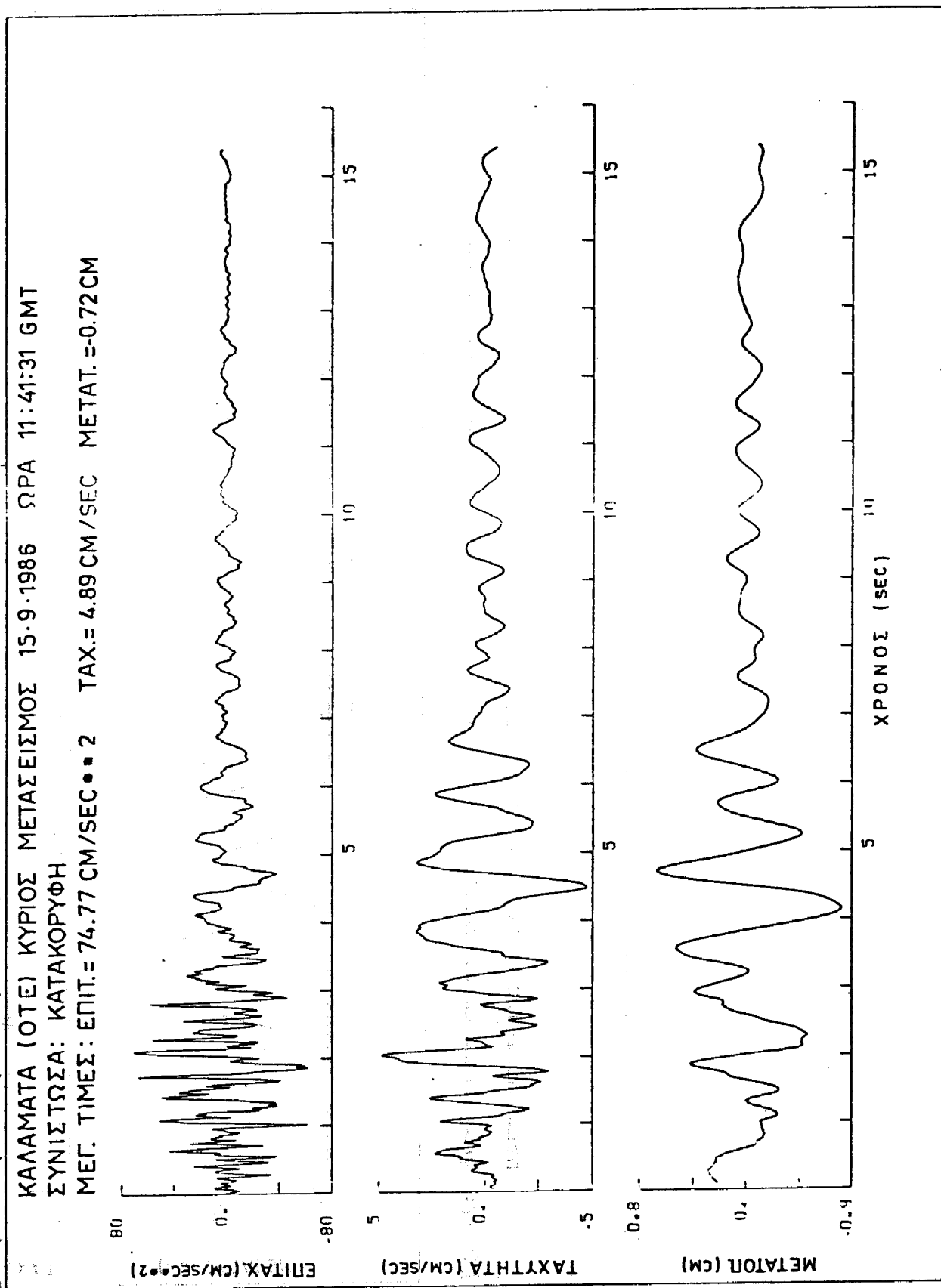


Σχ. 9: Διαδομένες επιτοξύνσεις, ταχύτητες και μετατοπίσεις της φυσικής συντονίας (L) του μετασεισμού της 15/9/86 (Καταρράκτης ΟΤΕ).

ΚΑΛΑΜΑΤΑ (ΟΤΕ) ΚΥΡΙΟΣ ΜΕΤΑΣΕΙΣΜΟΣ 15.9.1986 ΡΠΑ 11:41:31 GMT  
ΣΥΝΙΣΤΩΣΑ: N 76° W  
ΜΕΓ. ΤΙΜΕΣ: ΕΠΙΤ.=-258.02 CM/SEC••2 TAX.=24.42 CM/SEC METAT.=3.66 CM

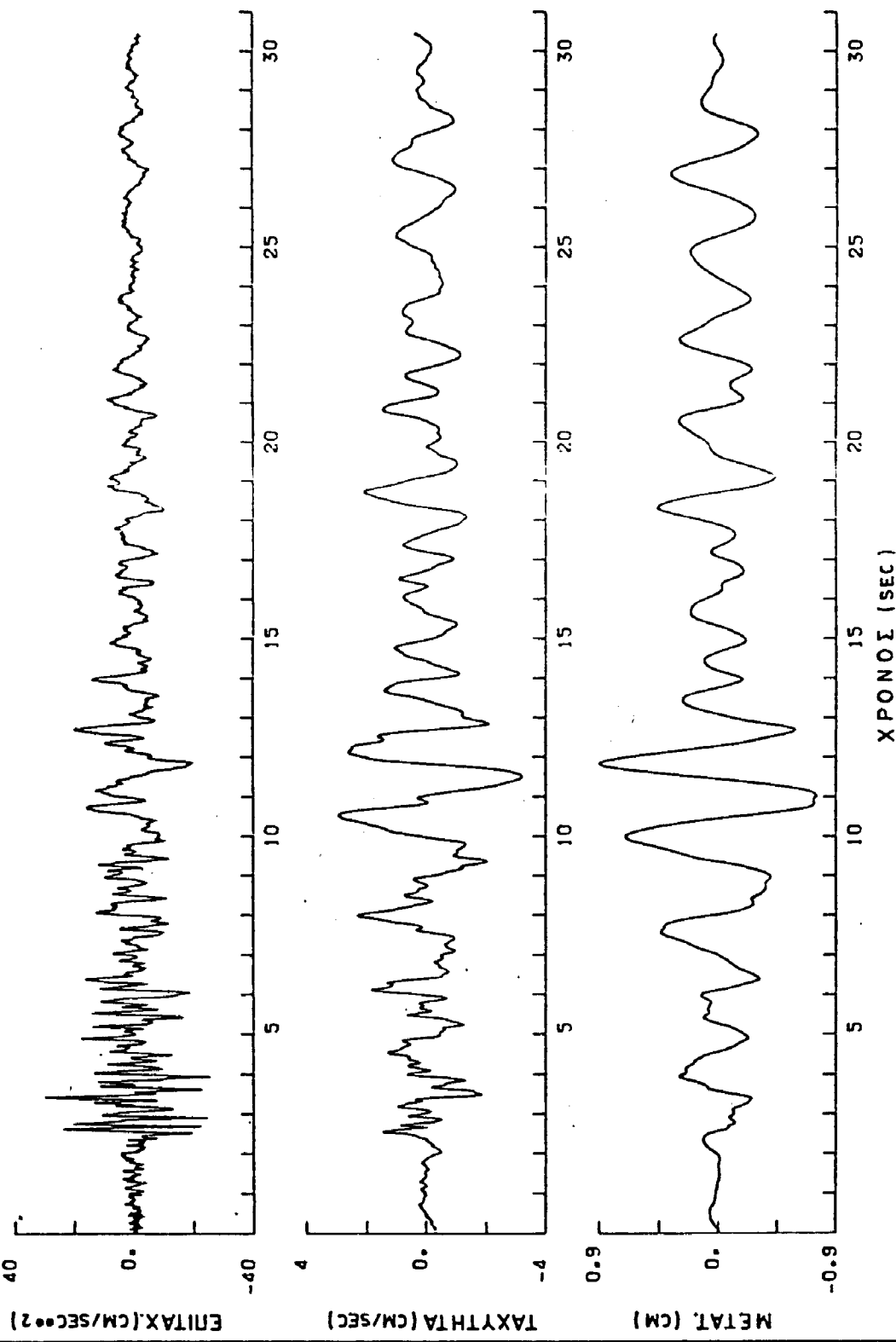


Ex. 10: Διαφορετικές επιταχύνσεις, ταχύτητες και μετατόπεις της εγκραυτικής συντονώσεως (T) του μετασεισμού της 15/9/86 (Καταγραφή στεμ).



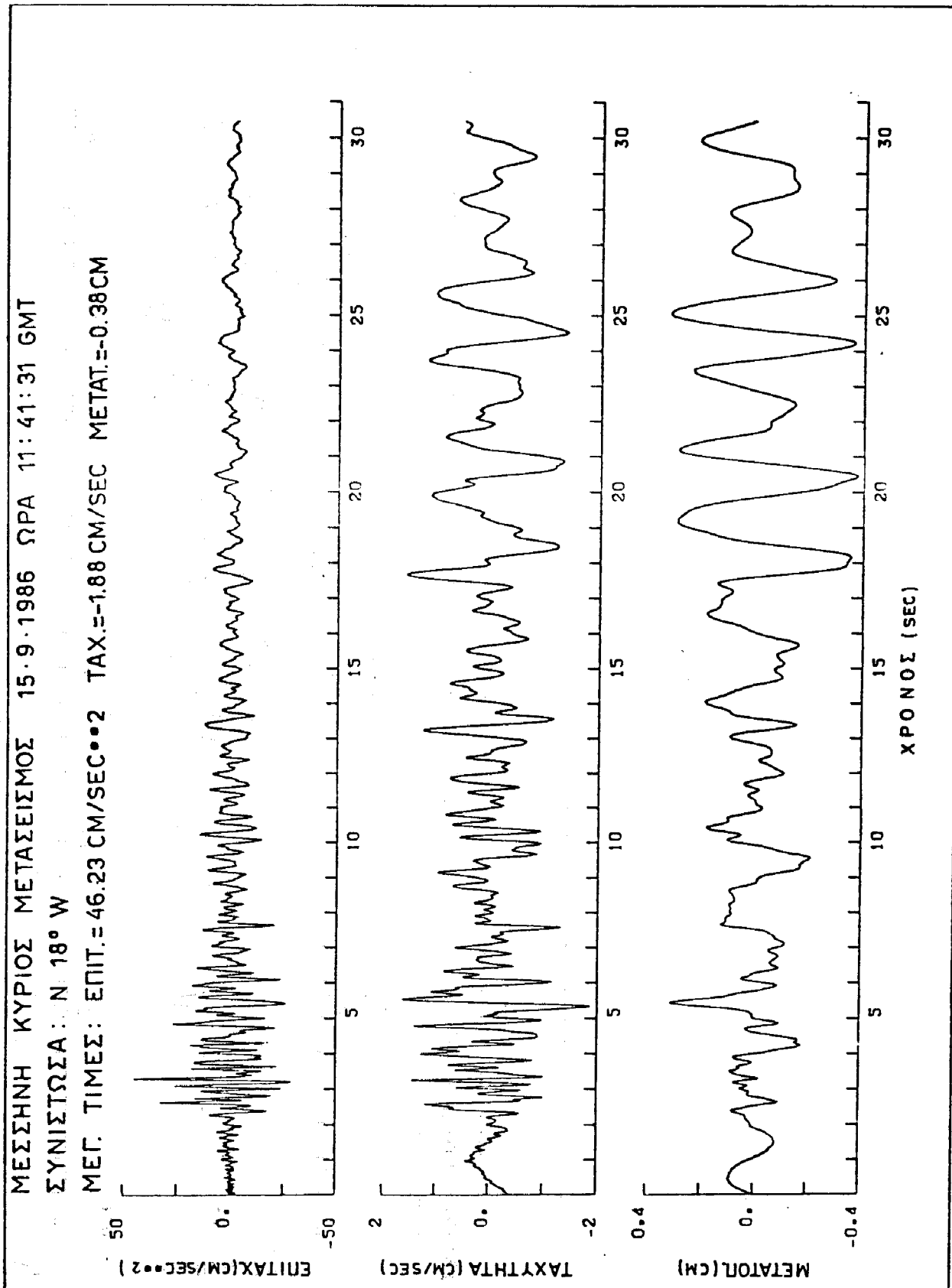
Σχ. 11: Διαρρομένες επιτοξύνσεις, ταχύτητες και μετατόποσεις της κατακρυψικής συστάσεως (V) του μετασεισμού της 15/9/86 (Καταγραφή ΟΠΕ).

ΜΕΣΣΗΝΗ ΚΥΡΙΟΣ ΜΕΤΑΣΕΙΣΜΟΣ 15.9.1986 ΡΠΑ 11:41:31 GMT  
ΣΥΝΙΣΤΩΣΑ: N 72°E  
ΜΕΓ. ΤΙΜΕΣ : ΕΠΙΤ. = 30.60 CM/SEC••2 TAX.=-3.23 CM/SEC METAT.= 0.90 CM

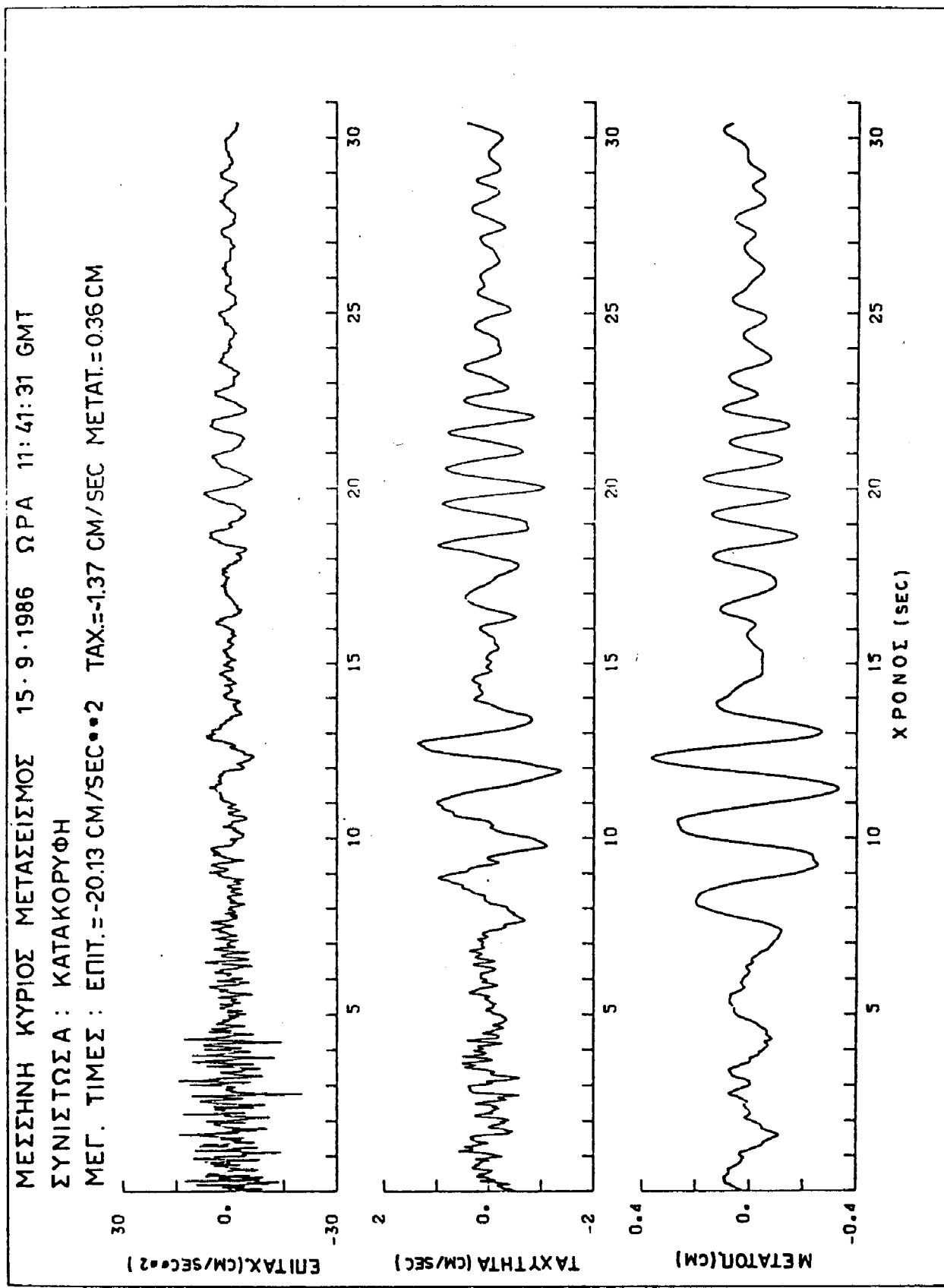


Σχ.12: Διαρροήμενες επιστρέψυσις, τακτύπτες και μεταποίησης της επιμήκους συνστάσας (L) του μετασεισμού πας 15/9/1986 (καταγραφή Μεσσήνης)

ΜΕΣΣΗΝΗ ΚΥΡΙΟΣ ΜΕΤΑΣΕΙΣΜΟΣ 15.9.1986 ΩΡΑ 11:41:31 GMT  
ΣΥΝΙΣΤΩΣΑ : N 18° W  
ΜΕΓ. ΤΙΜΕΣ : ΕΠΙΤ. = 46.23 CM/SEC<sup>•2</sup> TAX. = -1.88 CM/SEC METAT. = -0.38 CM



Σχ. 13: Διαδραμένες επι τοπίωνταις, ταχύτητες και μετασεισμοί της εγκλωπικού συνιστώντας (Τ)  
του μετασεισμού της 15/9/ 1986 (κτηνοτρόφοι Μεσσήνης)



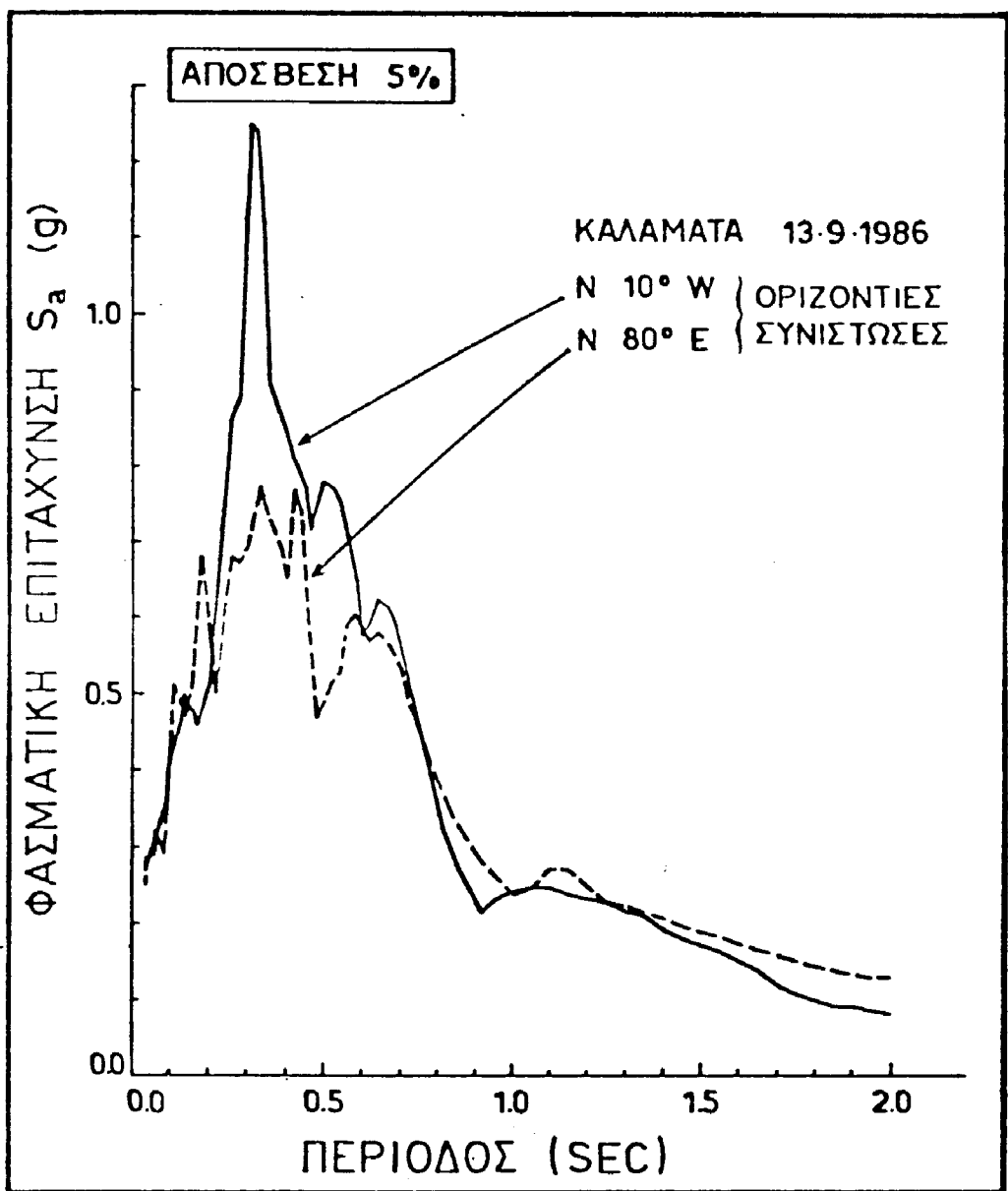
Ex. 14: Διαρρομένες επι ταχύτητας, ταχύτητας και μεταστοίσεις της κατασκόφης συστάσας (η του μετασεισμού της 15/9/86 (καταγραφή Μεσοήνης)

### 3. ΦΑΣΜΑΤΑ ΑΠΟΚΡΙΣΗΣ ΤΩΝ ΣΕΙΣΜΩΝ ΤΗΣ ΚΑΛΑΜΑΤΑΣ

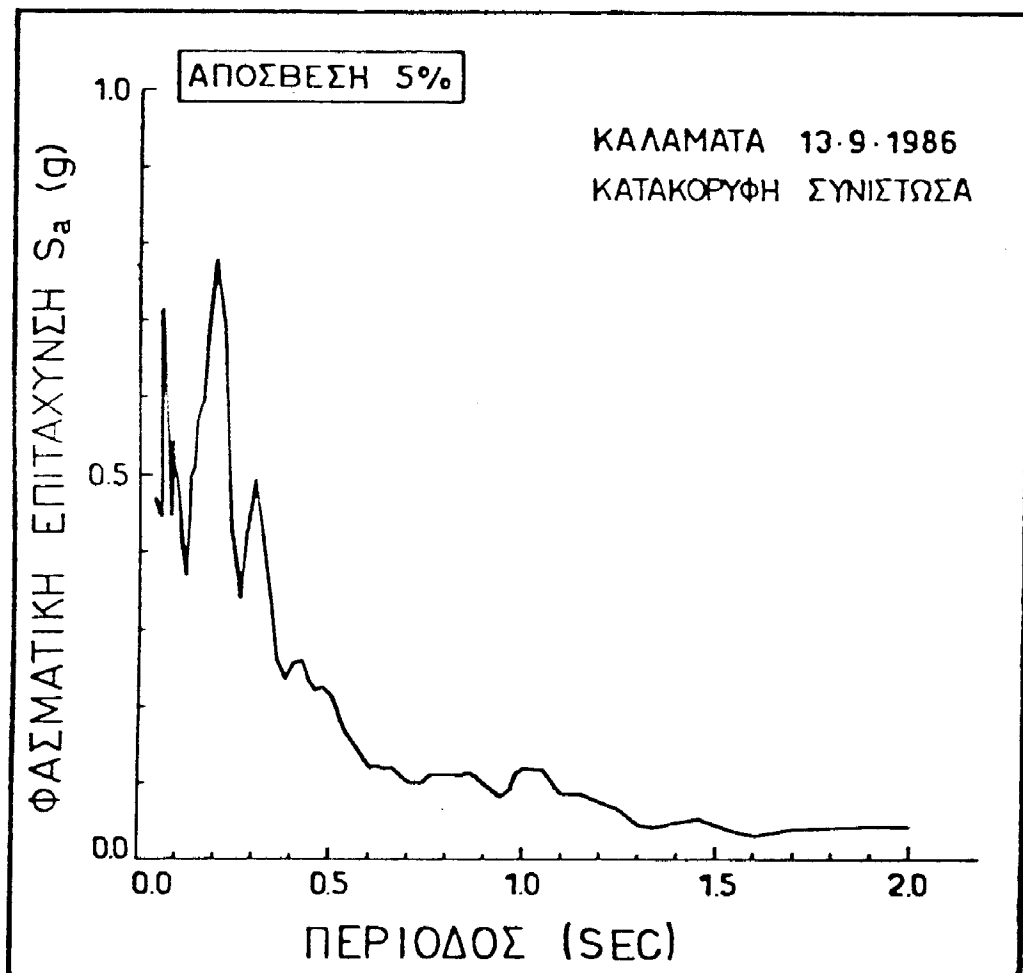
Μετά την ψηφιοποίηση και διόρθωση των καταγραφών, ένα χρήσιμο εργαλείο για τους παραπέρα υπολογισμούς είναι ο υπολογισμός των φασμάτων απόκρισης. Η έννοια των φασμάτων απόκρισης στη σεισμική μηχανική εισήχθη από τον Benioff το 1934 και αργότερα από τους Biot και Housner το 1941. Η χρησιμοποίηση των φασματικών τιμών των γηίνων παραμέτρων στη μηχανική έγινε από πολλούς ερευνητές (Alford, Housner, Hudson κ.α.) και τα φάσματα απόκρισης χρησιμοποιήθηκαν σαν βάση για την τελειοποίηση κωδίκων αντισεισμικού σχεδιασμού.

Ο υπολογισμός των φασμάτων απόκρισης είναι απλούστατος και συνίσταται στον επαναληπτικό υπολογισμό του ολοκληρώματος (Duhamel) που μπορεί να γίνει είτε με αριθμητικές μεθόδους (π.χ. μέθοδος Simpson) είτε με διαδοχική εφαρμογή ανολυτικής λύσης για διέγερση που έχει μορφή τραπεζίου<sup>(15)</sup>. Το πρόγραμμα Η/Υ που γράφτηκε στο ΙΤΣΑΚ για το σκοπό αυτό και με το οποίο υπολογίσθηκαν τα φάσματα απόκρισης των δονήσεων της Καλαμάτας που παρουσιάζονται παρακάτω, χρησιμοποιεί τη δεύτερη μέθοδο. Τα φάσματα αυτά δίνονται στα Σχ. 15-19 για απόσβεση  $\xi = 5\%$ . Αναλυτικά τα Σχ. 15-16 απεικονίζουν τα φάσματα ψευδοεπιταχύνσεων του κύριου σεισμού ενώ τα Σχ. 17-18 τα φάσματα ψευδοεπιταχύνσεων των οριζόντιων συνιστώσων των καταγραφών του μετασεισμού της 15 Σεπτ. 86 στα κτίρια της Νομαρχίας και ΟΤΕ αντίστοιχα και το Σχ. 19 δίνει τα φάσματα των ψευδοεπιταχύνσεων των κατακόρυφων συνιστώσων των δύο καταγραφών του μετασεισμού. Τα φάσματα απόκρισης  $S_a$ ,  $S_v$  και  $S_d$  των τριών αυτών καταγραφών δίνονται επίσης σε τριλογαριθμικές κλίμακες για αποσβέσεις 0%, 2%, 5%, 10% και 20%, όπως υπολογίσθηκαν από το ΙΤΣΑΚ και απεικονίζονται στα Σχ. 20-27. Το Παράρτημα Β περιέχει όλα τα φάσματα του κύριου σεισμού και του μεγαλύτερου μετασεισμού όπως υπολογίσθηκαν στο ENEA (συμπεριλαμβανομένου και της καταγραφής της Μεσσήνης).

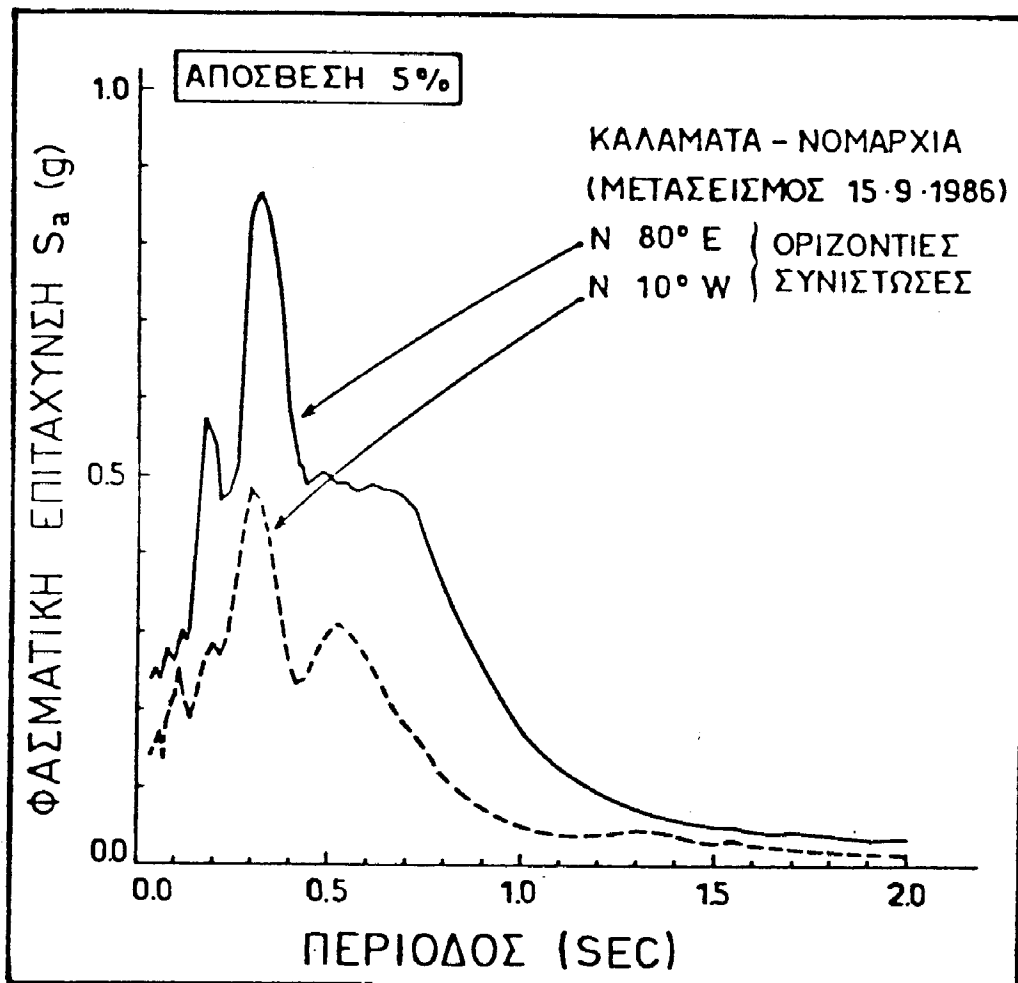
Παρατηρώντας τα φάσματα απόκρισης των Σχ. 15-19 είναι δυνατόν να γίνουν ορισμένες διαπιστώσεις πολύ χρήσιμες για τις παραπέρα φάσεις του προγράμματος. Το πρώτο που παρατηρούμε στο Σχ. 15 είναι η πολύ υψηλή αιχμή του φασμάτος της συνιστώσας N10W. Η αιχμή αυτή δίνει μέγιστη φασματική επιτάχυνση 1.25g σε ιδιοπερίοδο = 0.32 sec, ενώ γιά το διάστημα ιδιοπεριόδων 0.25 sec = 0.55 sec είναι  $S_a > 0.75g$ . Στο διάστημα αυτό των ιδιοπε-



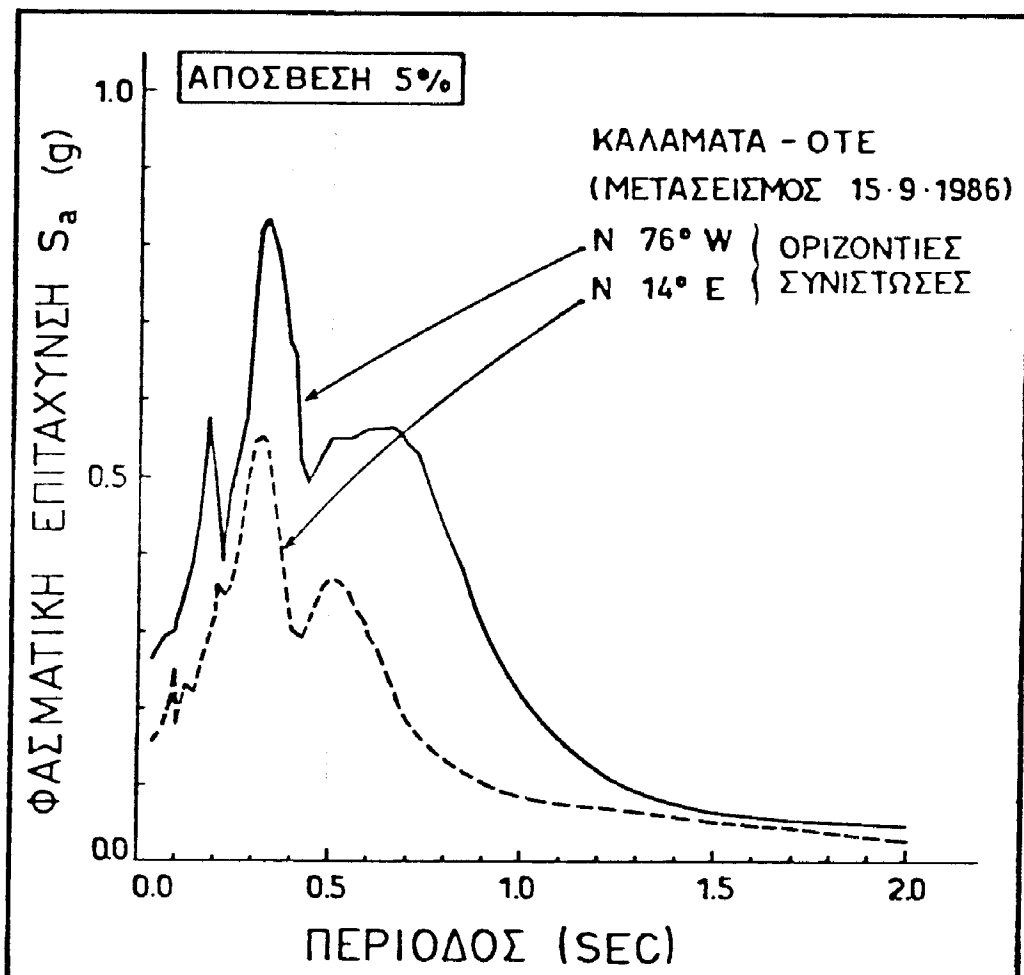
Σχ. 15: Φάσματα απόκρισης του κύριου σεισμού της Καλαμάτας - Οριζόντιες συνιστώσες.



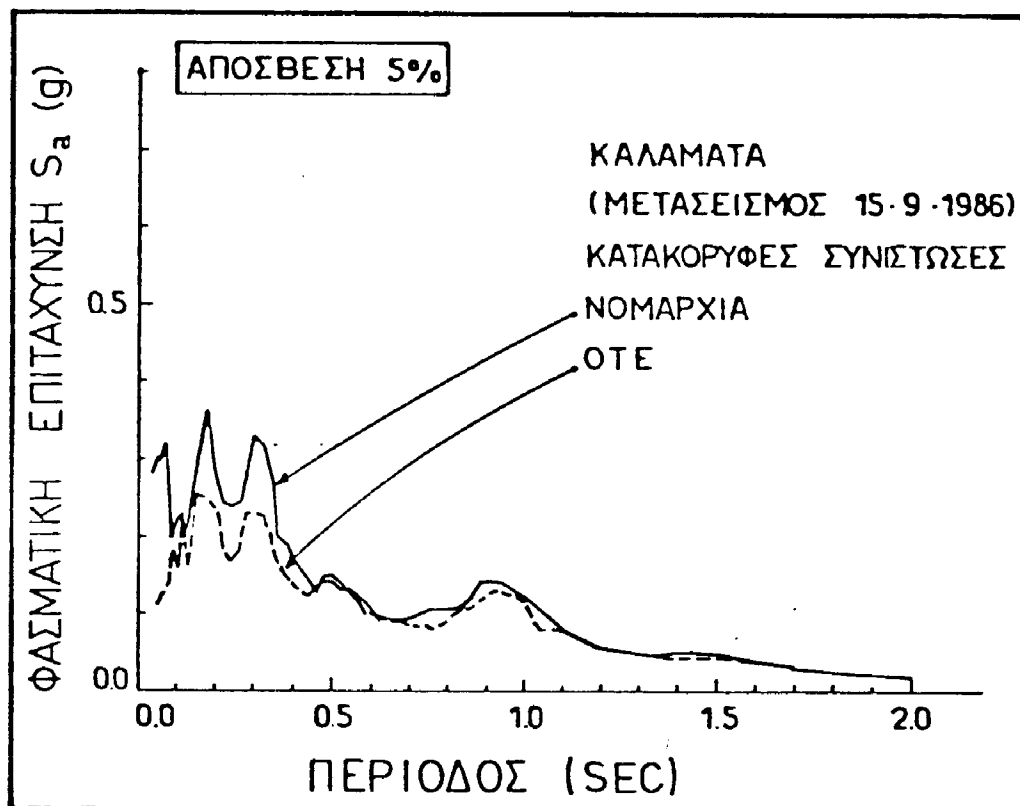
Σχ. 16: Φάσμα απόκρισης του κύριου σεισμού της Καλαμάτας  
- Κατακόρυφη συνιστώσα.



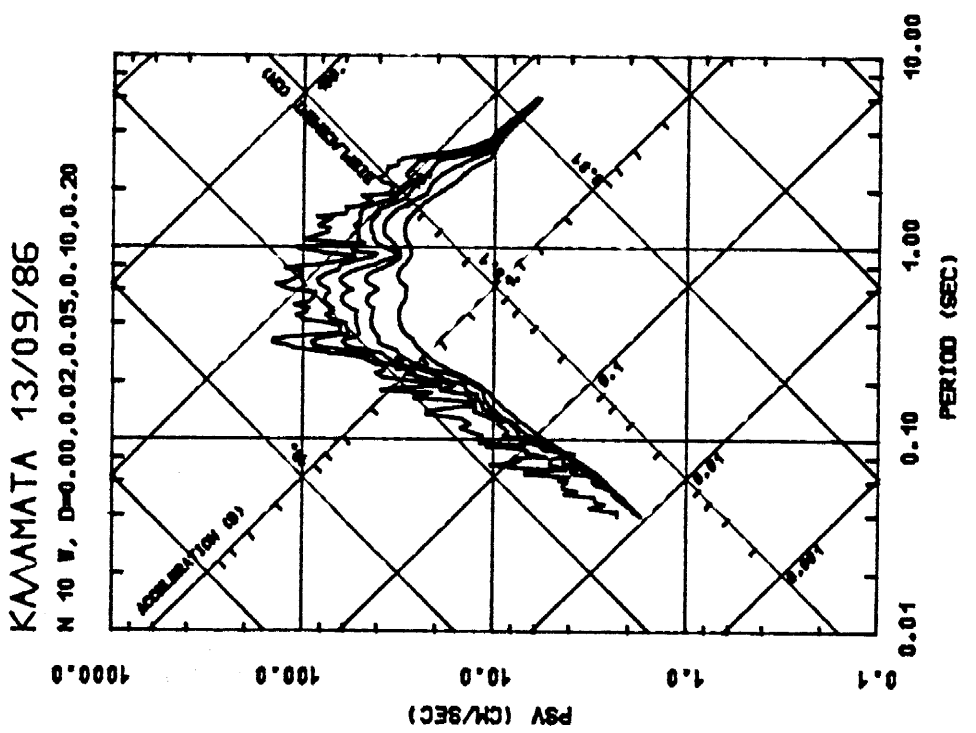
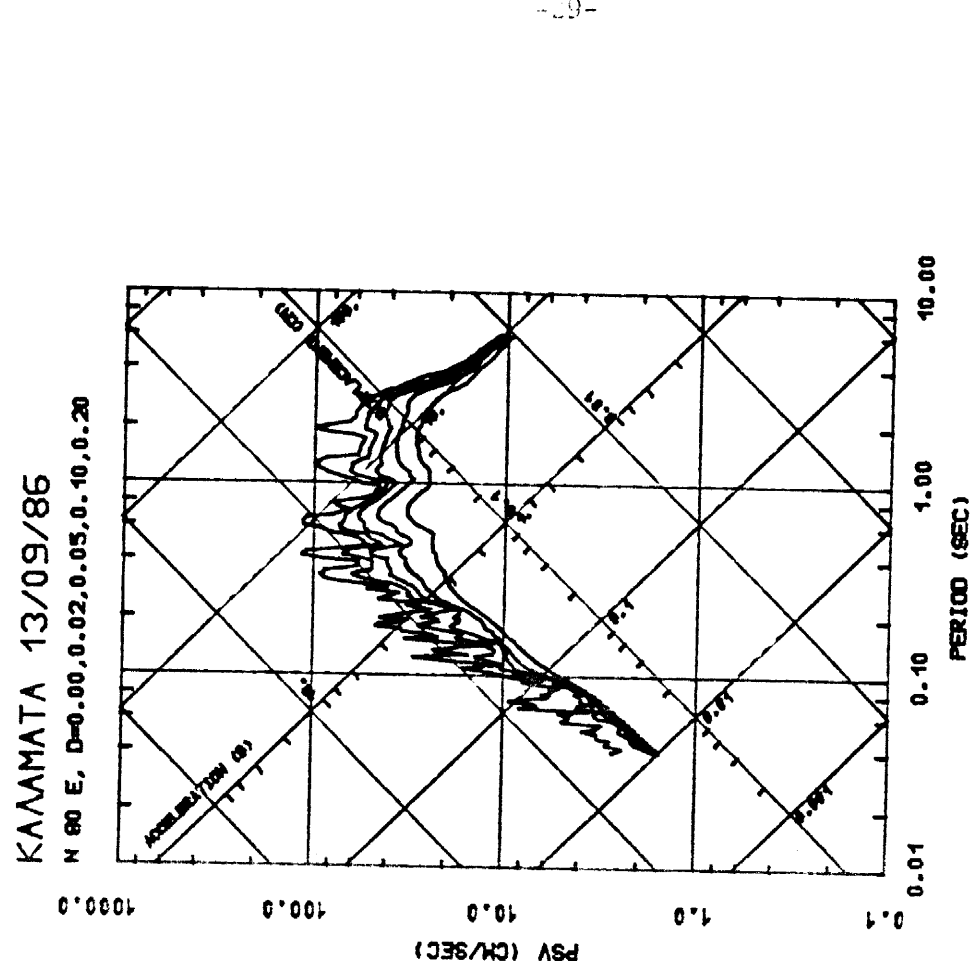
Σχ. 17: Φάσματα απόκρισης του ισχυρότερου μετασεισμού της Καλαμάτας. Καταγραφή στη Νομαρχία - Οριζόντιες συνιστώσες.



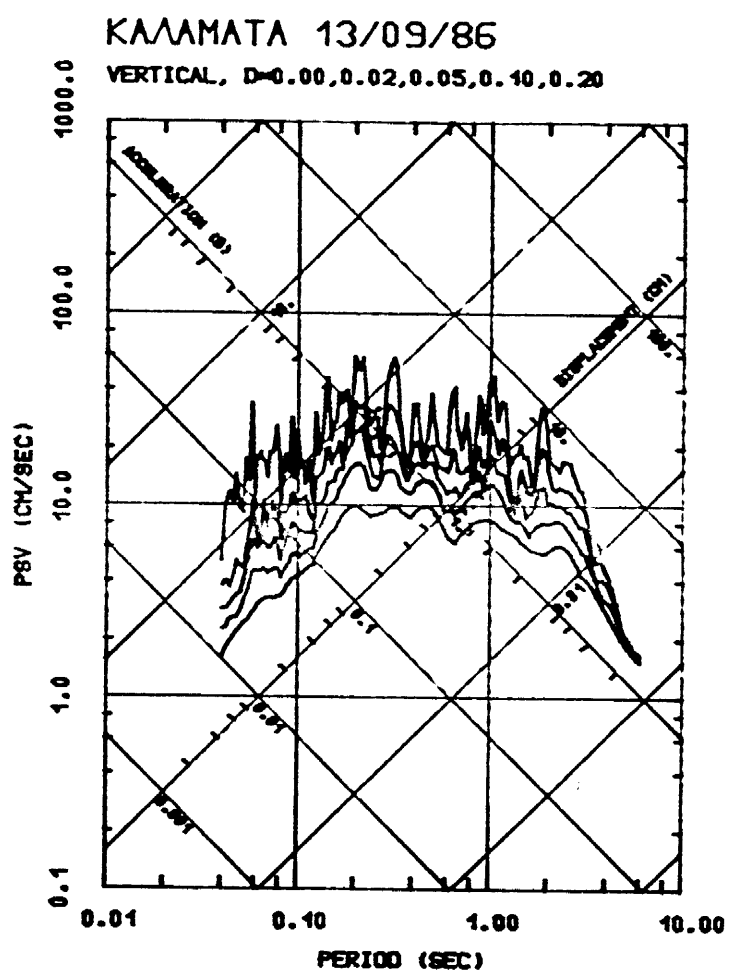
Σχ. 18: Φάσματα απόκρισης του ισχυρότερου μετασεισμού της Καλαμάτας. Καταγραφή στον ΟΤΕ - Οριζόντιες συνιστώσες.



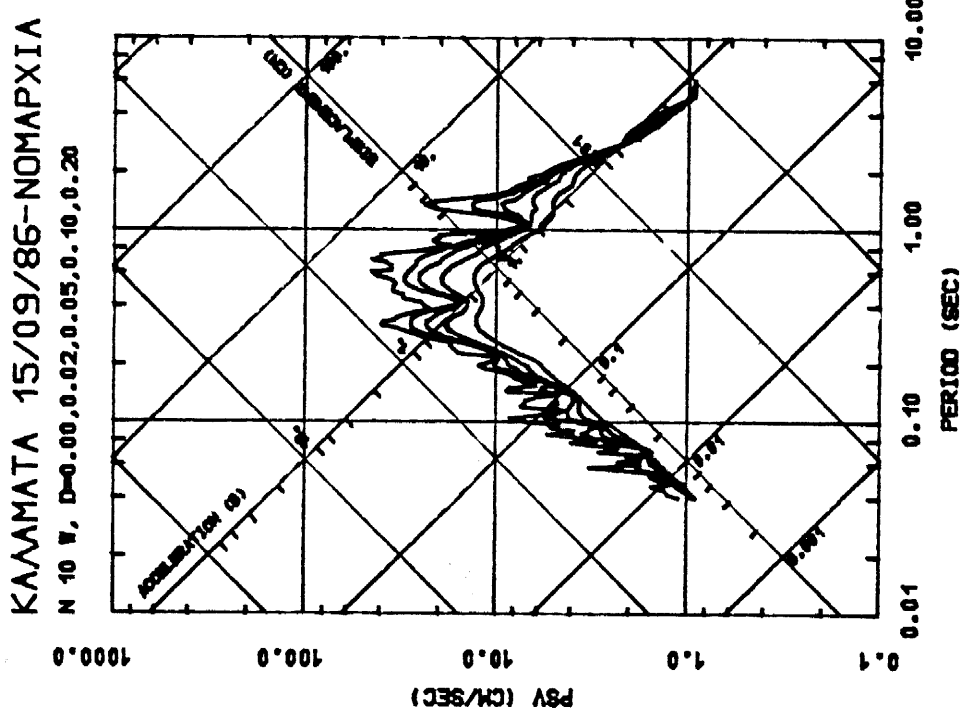
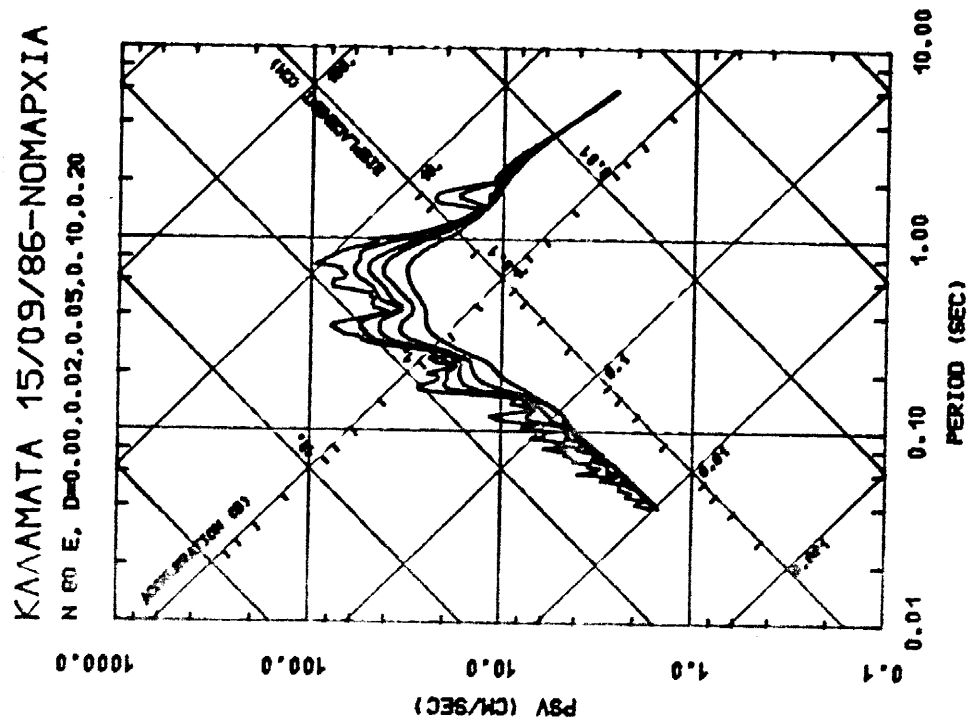
Σχ. 19: Φάσματα απόκρισης του κυριότερου μετασεισμού της Καλαμάτας. Καταγραφές Νομαρχίας και ΟΤΕ - Κατακόρυφες συνιστώσες.



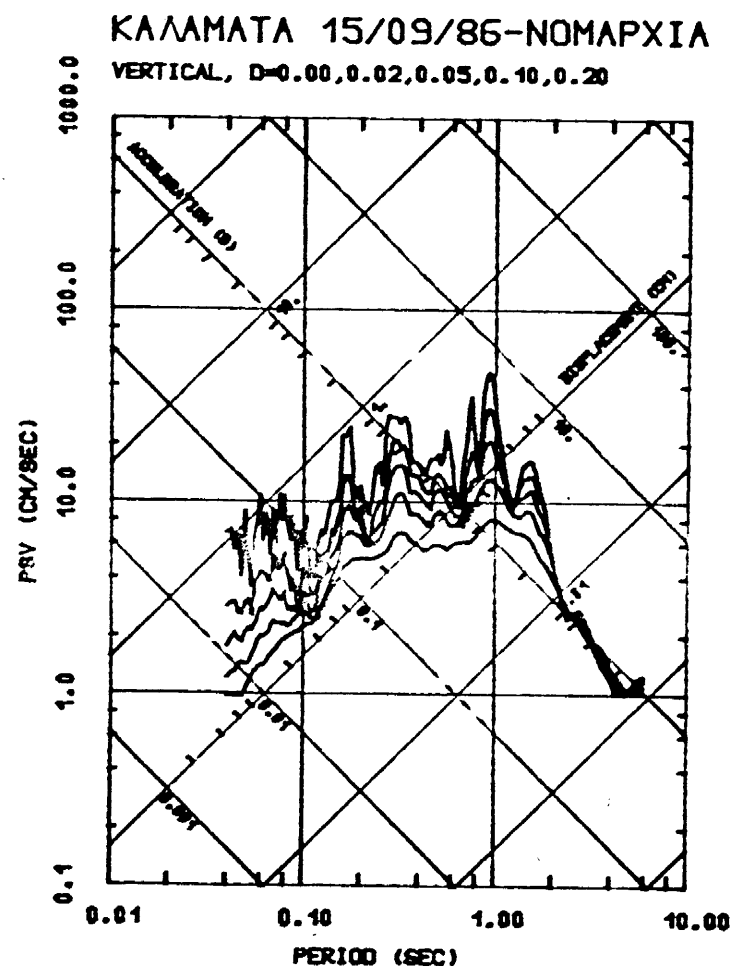
Σχ. 20: Φάσματα απόδρομης των ορυζοντών συντονικών του κύρου σεισμού της 13/9/1986



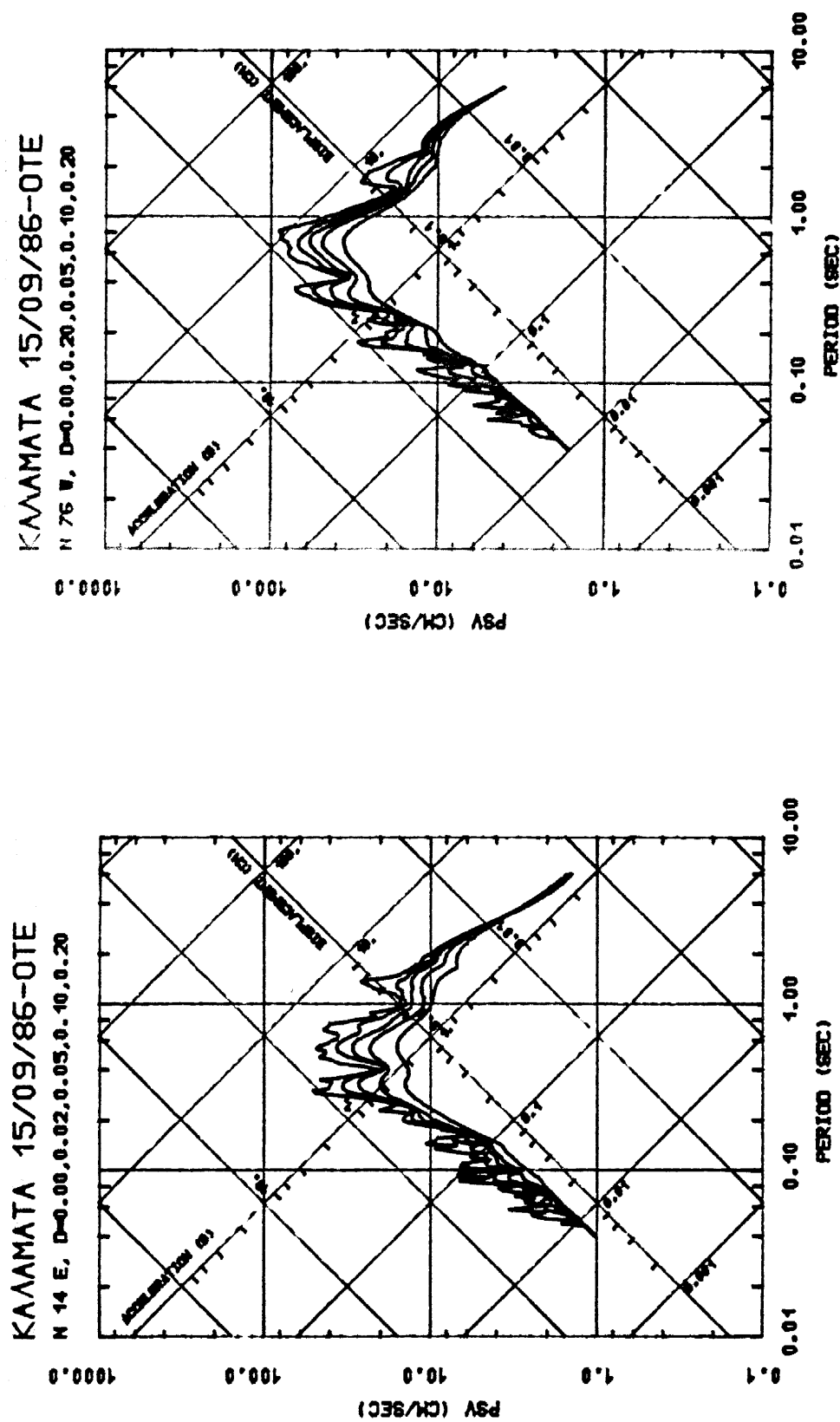
Σχ. 21: Φάσμα απόκρισης της κατακόρυφης συνιστώσας του κύριου σεισμού της 13/9/1986



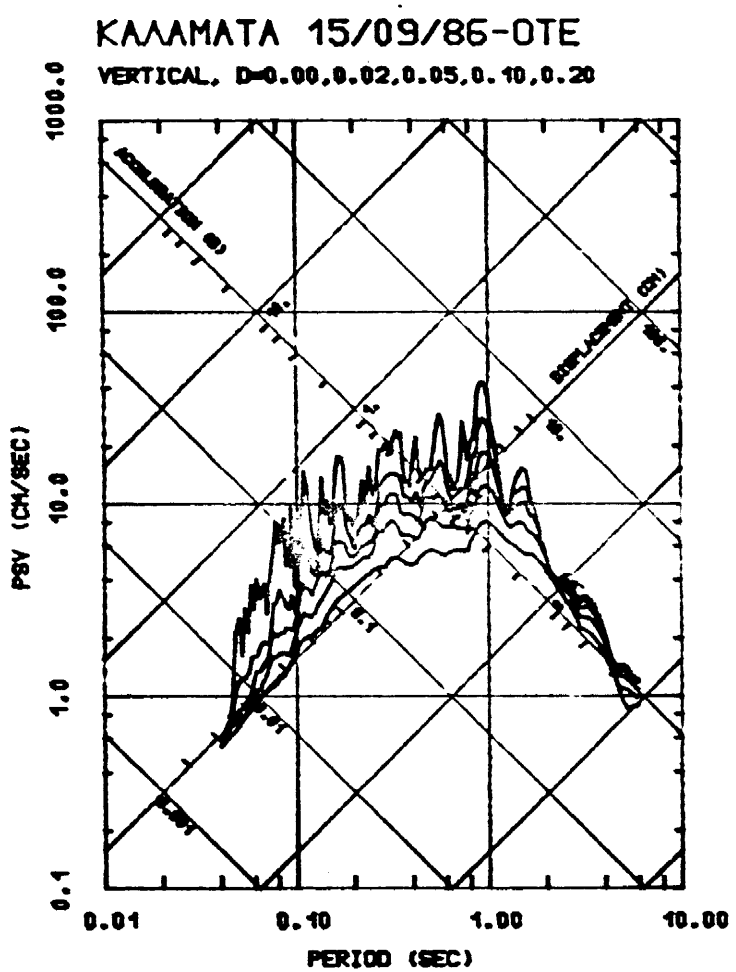
Σχ. 22: Φάσματα απόκρισης των οριζόντιων συντονωμένων τιμών κλειδύτερου μετασεισμού της 15/9/1986 (καταγραφή Νομαρχίας)



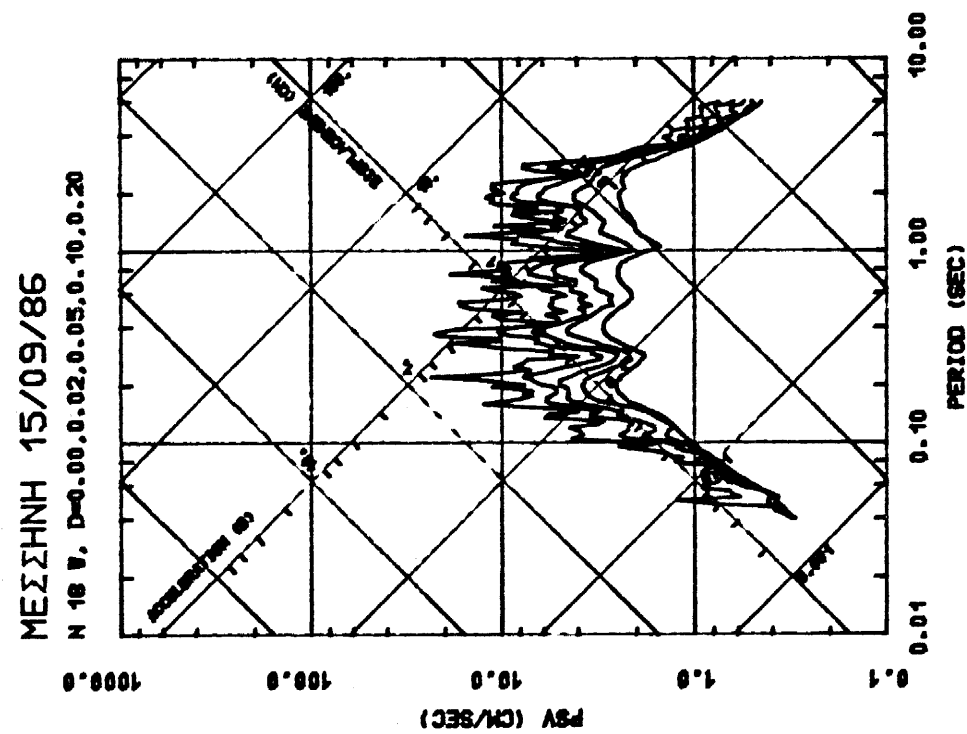
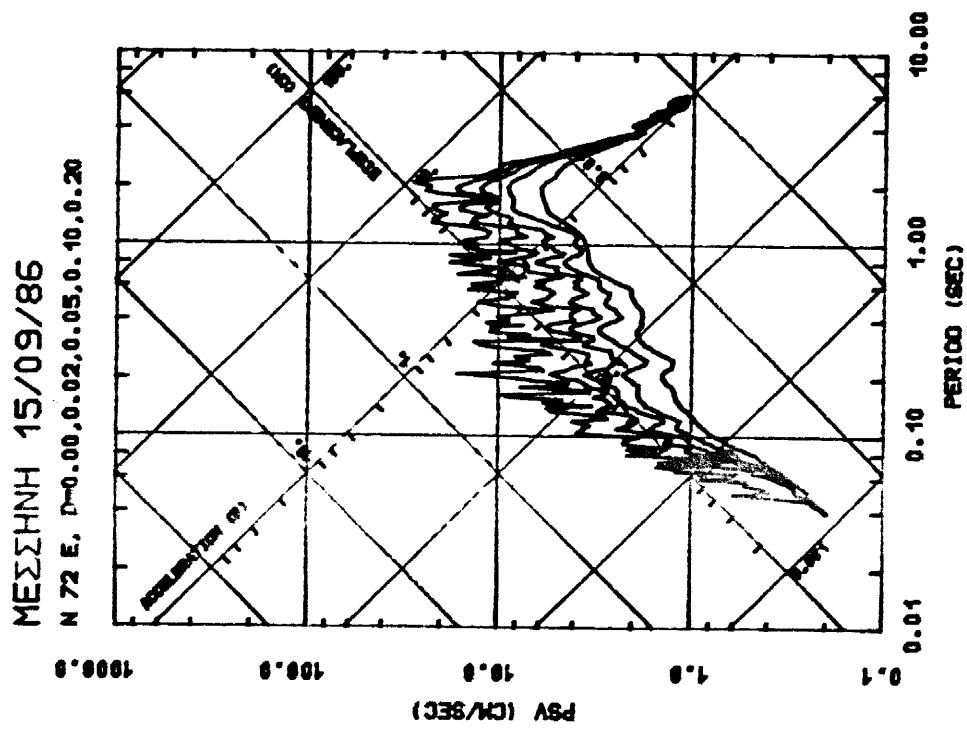
Σχ. 23: Φάσμα απόκρισης της κατακόρυφης συντονιστώντας του μεγαλύτερου μετασεισμού της 15/9/1986 (καταγραφή Νομαρχίας)



Σχ. 24: Φρεατά απόκρουσης την εργάστων συντονών του λεβαδειανού μετασελού της 15/9/1986 ( καταγραφή OTE )



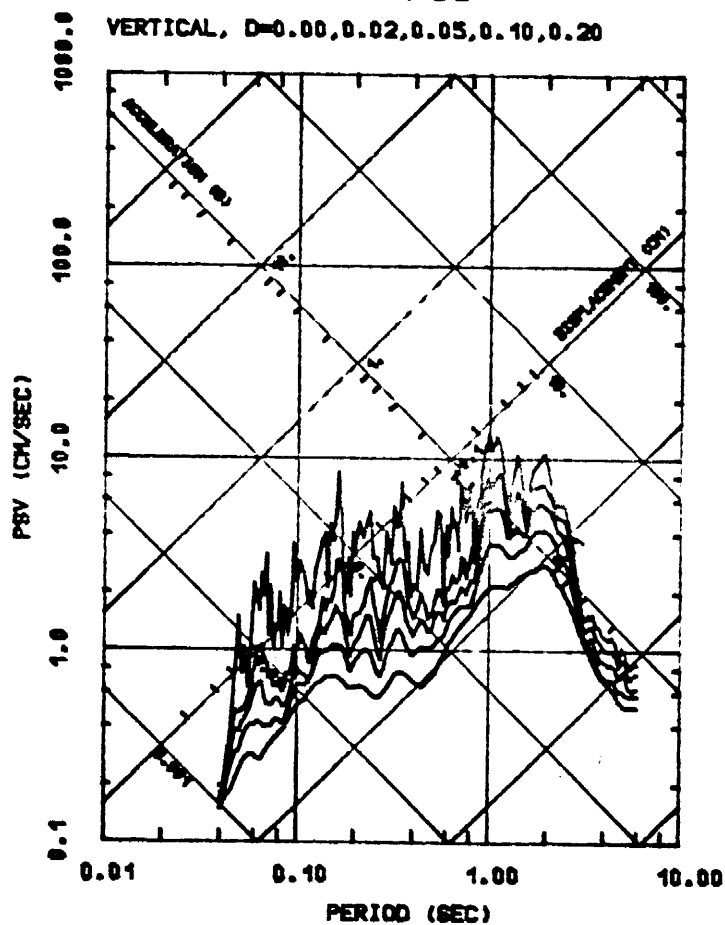
Σχ. 25: Φάσμα απόκρισης της κατακόρυφης συντονιστώντας του μεγαλύτερου μετασεισμού της 15/9/1986 (καταγραφή ΟΤΕ)



Σχ. 26: Φάσματα στόκουμες των οριζόντιων συνιστώσιν του Ηγετικούτερου μετοξει-  
ου της 15/9/1986 (καταγραφή Μεσσήνης)

ΜΕΣΣΗΝΗ 15/09/86

VERTICAL, D=0.00,0.02,0.05,0.10,0.20

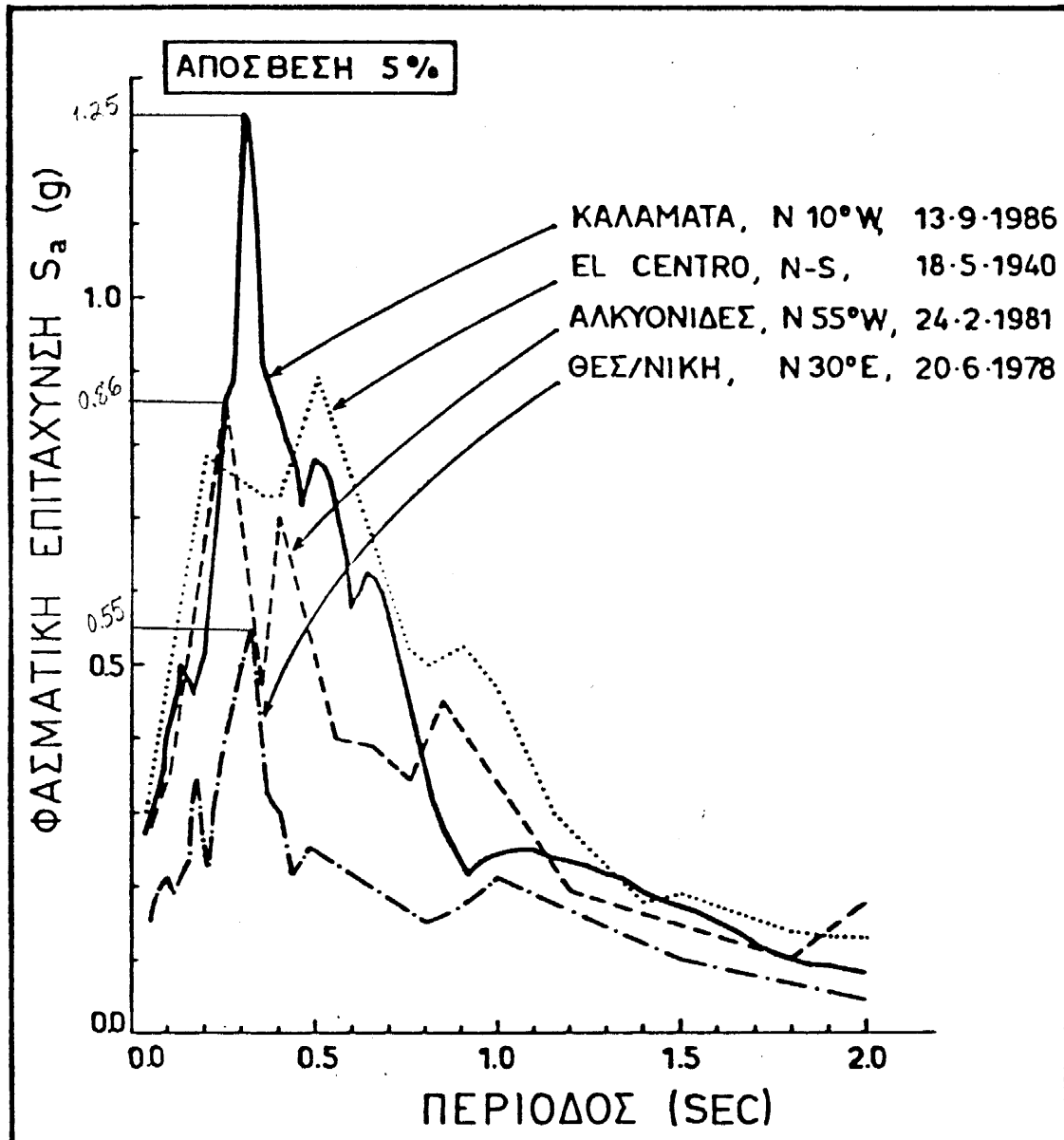


Σχ. 27: Φάσμα απόκρισης της κατακόρυφης συνιστώσας του μεγαλύτερου μετασεισμού της 15/9/1986 (καταγραφή Μεσσήνης)

ριδόνων βρίσκονται ως γνωστόν οι ιδιοπερίοδοι κτιρίων με 3 έως 6 ορόφους, δηλαδή σχεδόν όλες οι πολυκατοικίες της Καλαμάτας<sup>(1)</sup>. Γιά ιδιοπεριόδους από 0.1 sec έως 0.25 sec, οι οποίες αντιστοιχούν σε διώροφα έως και τριώροφα κτίρια, οι φασματικές τεταγμένες είτε από τη μία είτε από την άλλη οριζόντια συνιστώσα (Σχ. 15) κυμαίνονται από 0.5g έως 0.8g. Τέλος, στις χαμηλές ιδιοπεριόδους με  $T < 0.1$  sec οι φασματικές επιταχύνσεις κυμαίνονται από 0.27g έως 0.5g (στις πολύ χαμηλές ιδιοπεριόδους οι φασματικές επιταχύνσεις γίνονται λιγες προς τη μέγιστη επιτάχυνση του εδάφους).

Η κατακόρυφη συνιστώσα του σεισμού έδωσε μέγιστη φασματική επιτάχυνση 0.77g σε ιδιοπερίοδο  $T = 0.2$  sec. Ως γνωστόν, οι κατακόρυφες συνιστώσες σεισμικών εδαφικών κινήσεων έχουν πάντοτε υψηλότερες συχνότητες από τις αντίστοιχες οριζόντιες συνιστώσες (50% περίπου περισσότερες αλλογές προσήμου κατά δευτερόλεπτο) και για το λόγο αυτό τα μέγιστα των φασματικών τους επιταχύνσεων αντιστοιχούν σε χαμηλότερες περιόδους. Οι καταγραφές του μετασεισμού της 15/9/86 έδωσαν μέγιστη φασματική επιτάχυνση της οριζόντιας κίνησης λιγες προς  $\approx 0.87g$  (Σχ. 17, 18) και της κατακόρυφης κίνησης λιγες προς  $\approx 0.37g$  (Σχ. 19). Είναι εξαιρετικά ενδιαφέρουσα η πολύ μεγάλη ομοιότητα των φασμάτων των δύο καταγραφών του μετασεισμού (απόσταση των δύο σταθμών περί τα 250 m) τόσο ως προς το σχήμα όσο και ως προς τις τιμές, γεγονός το οποίο, όπως έχει ήδη επισημανθεί, κάνει τις καταγραφές πλήρως αξιόπιστες. Ένα άλλο αξιοσημείωτο στοιχείο είναι η σύμπτωση των φασματικών αιχμών της καταγραφής του κύριου σεισμού και των δύο καταγραφών του μετασεισμού στην ιδιοπερίοδο  $T \approx 0.32$  sec. Η σύμπτωση αυτή, σε συνδυασμό με το μέγεθος και το εύρος της φασματικής αιχμής, αποτελεί ισχυρή ένδειξη μιάς σημαντικής επίδρασης του εδαφικού υποστρώματος στη διαμόρφωση των χαρακτηριστικών της σεισμικής κίνησης στην επιφάνεια του εδάφους. Η ένδειξη αυτή γίνεται ισχυρότερη, αν ληφθεί υπόψη η διαφορά στα μεγέθη των δύο σεισμών, κυρίου και μετασεισμού (κύριος σεισμός:  $M_s = 6.2$ , μετασεισμός της 15/9/86,  $M_s = 5.4$ ).

Η εντυπωσιακά έντονη δόνηση στο διάστημα ιδιοπεριόδων 0.25 sec - 0.55 sec, στο οποίο, όπως προαναφέρθηκε, περιέχονται οι θεμελιώδεις ιδιοπερίοδοι των πολυκατοικιών της Καλαμάτας, μπορεί να εκτιμηθεί από το Σχ. 28, όπου συγκρίνονται τα φάσματα απόκρισης από τους σεισμούς της



Σχ. 28: Συγκρίσις φασμάτων απόκρισης σεισμών: Καλαμάτας (1986) Αλκυονίδων (1981), Θεσ/νίκης (1978) και El Centro (1940).

(1) Καλαμάτας, Αλκυονίδων<sup>(3)</sup>, θεσ/νίκης<sup>(4)</sup>, και El Centro<sup>(5)</sup>. Καθένα από τα φάσματα αυτά αντιστοιχεί στη συνιστώσα εκείνη η οποία δίνει τις μεγαλύτερες τεταγμένες. Από το Σχήμα 2β προκύπτει ότι συγκριτικά με τη δύνηση της θεσ/νίκης του 1978, και στο βαθμό που αυτή αντιπροσωπεύεται από την υπάρχουσα μοναδική καταγραφή σε ένα μόνο σημείο της πόλης, η δύνηση της Καλαμάτας ήταν 2 έως 3 φορές λογαρότερη ως προς την ένταση της επιβάρυνσης σε κτίρια με ιδιοπεριόδους μικρότερες των 0.8 sec, δηλ. σε όλα σχεδόν τα κτίρια των δύο πόλεων. Ήταν επίσης σημαντικά λογαρότερη γιατί ένα ευρύ φάσμα περιόδων και από τη δύνηση που προξένησε ο σεισμός των Αλκυονίδων του 1981 στην Κόρινθο. Στις κρίσιμες γιατί τις πολυκατοικίες της πόλης ιδιοπεριόδους, δηλ. από  $T = 0.25$  sec -  $0.45$  sec, η δύνηση της Καλαμάτας ήταν λογαρότερη και από τη δύνηση του El Centro. Αξίζει πάλι να σημειωθεί πως αν η διάρκεια του λογαρίθμου τμήματος της δύνησης ήταν μεγαλύτερη, τότε οι συνέπειες του καταστρεπτικού αυτού σεισμού θα ήταν εξαιρετικά δισμενέστερες.

Τέλος, σχετικά με τις παραπάνω συγκρίσεις και για την αποφυγή εσφαλμένων συμπερασμάτων ως προς κάποια τυχόν ιδιαιτερότητα της δύνησης της Καλαμάτας, θα πρέπει να υπομνησθούν οι διαφορές στις αποστάσεις από τα επίκεντρα (Πίνακας 1). Έτσι, κατά πάσα πιθανότητα, η κύρια διαφορά της δύνησης της Καλαμάτας από αυτές της Κορίνθου (Αλκυονίδες) ή της θεσσαλονίκης αφέλεται στο ότι η Καλαμάτα βρέθηκε πολύ κοντά στην εστία του σεισμού που την έπληξε.

#### 4. ΕΛΑΣΤΙΚΑ ΦΑΣΜΑΤΑ ΣΧΕΔΙΑΣΜΟΥ

##### 4.1 Γενικά

Το φάσμα σχεδιασμού περιγράφει σεισμικά φορτία υπολογισμού και έχει σαν σκοπό τη μείωση της εξάρτησης του αντισεισμικού σχεδιασμού από τα ιδιαίτερα χαρακτηριστικά μιας συγκεκριμένης λογαρίθμης σεισμικής δύνησης. Τα φάσματα σχεδιασμού προέρχονται από την επεξεργασία φασμάτων απόκρισης σεισμών οι οποίοι έχουν συμβεί κατά το παρελθόν και καταγράφηκαν από όργανα μέτρησης της σεισμικής εδαφικής κίνησης. Το πρώτο φάσμα σχεδιασμού εισήχθη το 1959 από τον G. Housner και βασίσθηκε στους τέσσερις λογαρότερους σεισμούς που είχαν καταγραφεί μέχρι τότε στις ΗΠΑ.

Η σπουδαιότητα του φάσματος σχεδιασμού έχει από καιρό αναγνωρισθεί τόσο στην έρευνα όσο και στις εφαρμογές στη σεισμική μηχανική. Τα φάσματα σχεδιασμού αποτελούν το βασικό στοιχείο καθορισμού των σύγχρονων (15)(16)(17) αντισεισμικών κανονισμών. Γνωστά φάσματα σχεδιασμού είναι εκείνα που προτάθηκαν από τους Seed, Ugas και Lysmer (1976) και τους Newmark και Hall (1982). Το τελευταίο προέκυψε με τρόπο παρόμοιο με εκείνο των Seed, Ugas και Lysmer, χωρίς όμως να λάβει υπόψη τη διάκριση των τοπικών εδαφικών συνθηκών σε διάφορες κατηγορίες. Στην παρούσα μελέτη προτιμήθηκε η εκτίμηση των φασμάτων σχεδιασμού κατά Newmark-Hall λόγω έλλειψης ικανοποιητικών δεδομένων για τις εδαφικές συνθήκες στην πόλη της Καλαμάτας.

#### 4.2 Φάσματα σχεδιασμού των οριζόντιων συνιστώσων κατά Newmark-Hall για την Καλαμάτα

Το φάσμα σχεδιασμού κατά Newmark-Hall βασίζεται στην περιβάλλουσα της εδαφικής κίνησης<sup>(18)</sup>, η οποία κατασκευάζεται από τις αναμενόμενες μέγιστες τιμές εδαφικής επιτάχυνσης,  $a$ , ταχύτητας,  $v$ , και μετάθεσης,  $d$ . Το φάσμα σχεδιασμού προκύπτει από την περιβάλλουσα της εδαφικής κίνησης με πολλαστασμό με κατάλληλους συντελεστές ενίσχυσης οι οποίοι είναι συνάρτηση αφ' ενός μεν του κρίσιμου ποσοστού απόσβεσης,  $D$ , αφ' ετέρου δε της επιθυμητής πιθανότητας μη υπέρβασης. Για εξαιρετικά μικρές ή μεγάλες περιόδους η φασματική καμπύλη τείνει αντίστοιχα στη μέγιστη εδαφική επιτάχυνση ή στη μέγιστη εδαφική μετάθεση.

Μεταξύ των μεγίστων εδαφικών παραμέτρων έχουν βρεθεί σταθερές σχέσεις αναλογίας που έχουν προκύψει ως μέσες τιμές από 14 σεισμούς που καταγράφηκαν στις ΗΠΑ<sup>(19)</sup>. Οι τιμές των σταθερών σχέσεων αναλογίας που χρησιμοποιήθηκαν στην παρούσα μελέτη, για τις οριζόντιες συνιστώσες της κίνησης και ισχύουν για θέσεις με αλλοιωθιακές αποθέσεις και μητρικό πέτρωμα είναι:

$$\frac{ad}{v^2} = 6, \quad \frac{v}{\alpha} = 122 \text{ cm/sec/g} \quad (4.1)$$

Στον Πίνακα (2) δίνονται οι συντελεστές ενίσχυσης που χρησιμοποιήθηκαν για τον υπολογισμό της φασματικής περιβάλλουσας κατά Newmark-Hall, για ποσοστό κρίσιμης απόσβεσης,  $D = 0.05$  και δύο πιθανότητες μη υπέρβασης, 50% και 84,1% (μέσο φάσμα και μέσο φάσμα συν μια τυπική απόκλιση).

Η σπουδαιότητα του φάσματος σχεδιασμού έχει από καιρό αναγνωρισθεί τόσο στην έρευνα όσο και στις εφαρμογές στη σεισμική μηχανική. Τα φάσματα σχεδιασμού αποτελούν το βασικό στοιχείο καθορισμού των σύγχρονων (15)(16)(17) αντισεισμικών κανονισμών. Γνωστά φάσματα σχεδιασμού είναι εκείνα που προτάθηκαν από τους Seed, Ugas και Lysmer (1976) και τους Newmark και Hall (1982). Το τελευταίο προέκυψε με τρόπο παρόμοιο με εκείνο των Seed, Ugas και Lysmer, χωρίς όμως να λάβει υπόψη του τη διάκριση των τοπικών εδαφικών συνθηκών σε διάφορες κατηγορίες. Στην παρούσα μελέτη προτιμήθηκε η εκτίμηση των φασμάτων σχεδιασμού κατά Newmark-Hall λόγω έλλειψης ικανοποιητικών δεδομένων για τις εδαφικές συνθήκες στην πόλη της Καλαμάτας.

#### 4.2 Φάσματα σχεδιασμού των οριζόντιων συνιστώσων κατά Newmark-Hall για την Καλαμάτα

Το φάσμα σχεδιασμού κατά Newmark-Hall βασίζεται στην περιβάλλουσα της εδαφικής κίνησης<sup>(18)</sup>, η οποία κατασκευάζεται από τις αναμενόμενες μέγιστες τιμές εδαφικής επιτάχυνσης, α, ταχύτητας, ν, και μετάθεσης, δ. Το φάσμα σχεδιασμού προκύπτει από την περιβάλλουσα της εδαφικής κίνησης με πολλαπλασιασμό με κατάλληλους συντελεστές ενίσχυσης οι οποίοι είναι συνάρτηση αφ'ενός μεν του κρίσιμου ποσοστού απόσβεσης, D, αφ'ετέρου δε της επιθυμητής πιθανότητας μη υπέρβασης. Για εξαιρετικά μικρές ή μεγάλες περιόδους η φασματική καμπύλη τείνει αντίστοιχα στη μέγιστη εδαφική επιτάχυνση ή στη μέγιστη εδαφική μετάθεση.

Μεταξύ των μεγίστων εδαφικών παραμέτρων έχουν βρεθεί σταθερές σχέσεις αναλογίας που έχουν προκύψει ως μέσες τιμές από 14 σεισμούς που καταγράφηκαν στις ΗΠΑ<sup>(19)</sup>. Οι τιμές των σταθερών σχέσεων αναλογίας που χρησιμοποιήθηκαν στην παρούσα μελέτη, για τις οριζόντιες συνιστώσες της κίνησης και ισχύουν για θέσεις με αλλουβιακές αποθέσεις και μητρικό πέτρωμα είναι:

$$\frac{\alpha d}{v^2} = 6, \quad \frac{v}{\alpha} = 122 \text{ cm/sec/g} \quad (4.1)$$

Στον Πίνακα (2) δίνονται οι συντελεστές ενίσχυσης που χρησιμοποιήθηκαν για τον υπολογισμό της φασματικής περιβάλλουσας κατά Newmark-Hall, για ποσοστό κρίσιμης απόσβεσης, D = 0.05 και δύο πιθανότητες μη υπέρβασης, 50% και 84,1% (μέσο φάσμα και μέσο φάσμα συν μια τυπική απόκλιση).

Πίνακας 2. Τιμές των συντελεστών ενίσχυσης κατά Newmark-Hall για ποσοστό κρίσιμης απόσβεσης,  $D = 0.05$

Πιθανότητα μη υπέρβασης (%)	<u>Συντελεστές ενίσχυσης</u>		
	Επιτάχυνση	Ταχύτητα	Μετάθεση
50	2.11	1.66	1.40
84.1 (1σ)	2.67	2.32	2.04

Στον πίνακα (3) δίνονται οι μέγιστες εδαφικές επιταχύνσεις με βάση τις οποίες κατασκευάσθηκαν τα φάσματα σχεδιασμού κατά Newmark-Hall. Οι τιμές αυτές λήφθηκαν από μελέτη για τη σεισμική επικινδυνότητα της Καλαμάτας<sup>(20)</sup>, ανηγμένες σε μέσες αναμενόμενες τιμές.

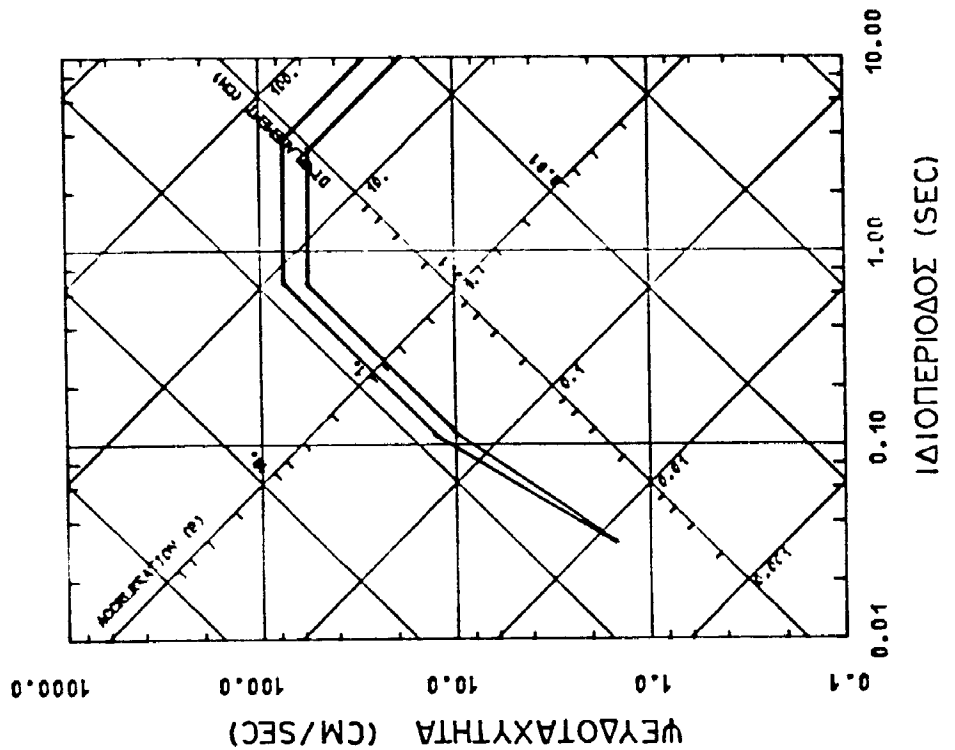
Πίνακας 3. Τιμές μεγίστων εδαφικών επιταχύνσεων  $\alpha(\text{cm/sec}^2)$  για χρόνους θεώρησης  $T=50, 100$  έτη και πιθανότητες υπέρβασης  $PT=0.30, 0.10$ .

$T \backslash PT$	0.30	0.10
50	181	264
100	221	314

Στα σχήματα (29), (30), (31) και (32) δίνονται τα φάσματα σχεδιασμού οριζοντίων συνιστωσών κατά Newmark-Hall για ποσοστό κρίσιμης απόσβεσης,  $D = 0.05$ , για χρόνους θεώρησης,  $T=50, 100$  έτη και πιθανότητες υπέρβασης  $PT=0.30, 0.10$ . Στα παραπάνω σχήματα σχεδιάζονται ταυτόχρονα το μέσο φάσμα και το μέσο φάσμα συν μια τυπική απόκλιση (1 σ).

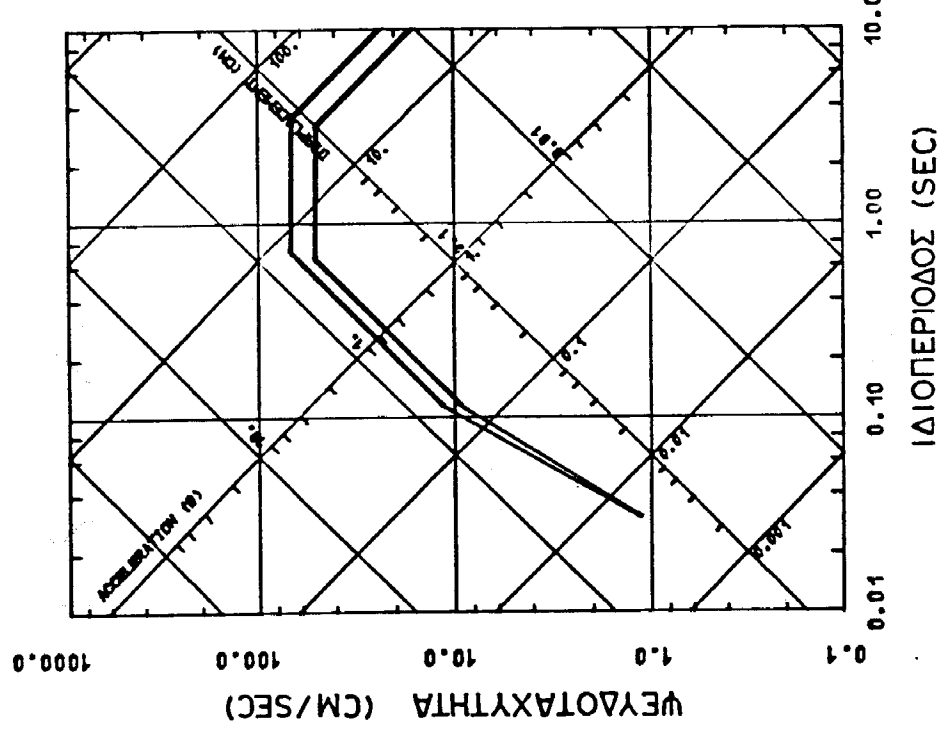
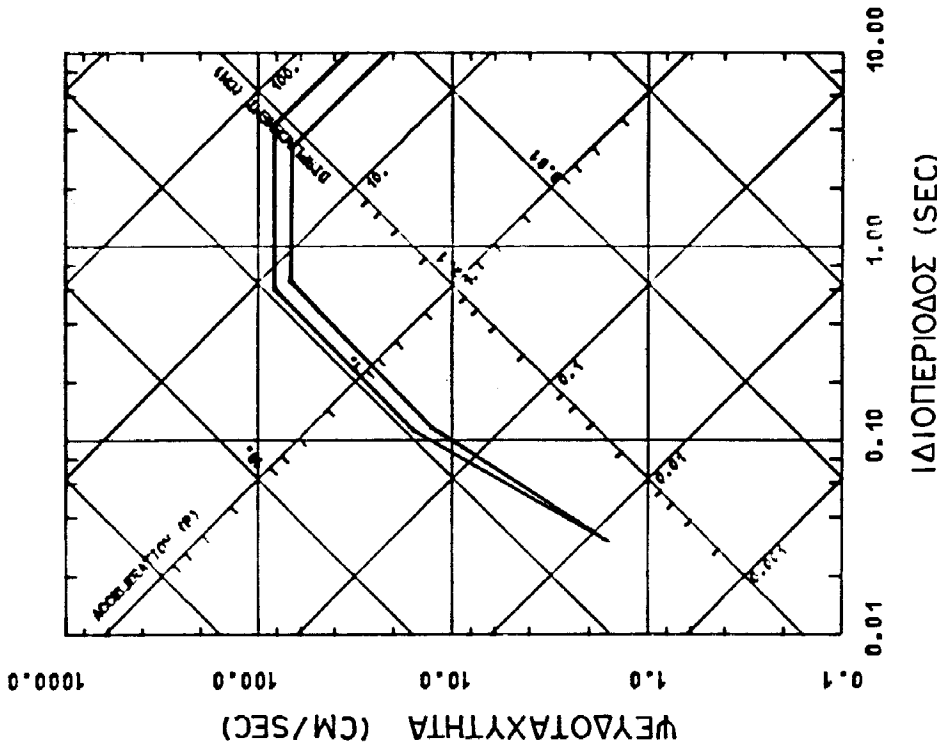
#### 4.3 Συγκρίσεις με ανάλογα πιθανολογικά φάσματα απόκρισης-Προτεινόμενα φάσματα σχεδιασμού

Σε μελέτη σχετική με τη σεισμική επικινδυνότητα της Καλαμάτας<sup>(20)</sup> δίνονται πιθανολογικά φάσματα απόκρισης για χρόνους θεώρησης,  $T=50, 100$  έτη, με πιθανότη-



Σχ. 29: Φύσιμα σχεδιασμού (μέσο φόρτια και μέσο φόρτια συν μια τυπική απόλαυση) κατά Newmark-Hall για την Καλαμάτα, για χρόνο θεώρησης,  $T=50$  έτη και πιθανότητα απέρβασης,  $\Pi=0.30$

Σχ. 30: Φύσιμα σχεδιασμού (μέσο φόρτια και μέσο φόρτια συν μια τυπική απόλαυση) κατά Newmark-Hall για την Καλαμάτα, για χρόνο θεώρησης,  $T=50$  έτη και πιθανότητα απέρβασης,  $\Pi=0.10$



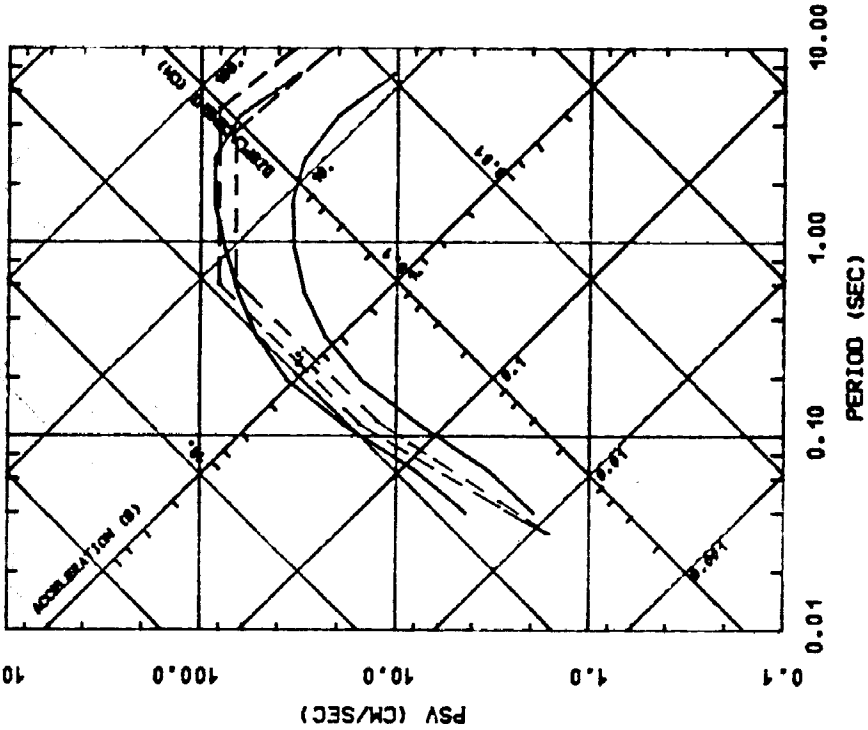
Σχ. 32: Φρεσκάτα σχεδιασμού (μέσο φόρμα και μένο φόρμα συν μα τυπική απόκλιση) κατά Newmark-Hall για την Καλαμάτα, για χρόνο θεώρησης,  $T=100$  έτη και πιθανότητα υπέργειας,  $Pf=0.10$

Σχ. 31: Φρεσκάτα σχεδιασμού (μέσο φόρμα και μένο φόρμα συν μα τυπική απόκλιση) κατά Newmark-Hall για την Καλαμάτα, για χρόνο θεώρησης,  $T=100$  έτη και πιθανότητα υπέργειας,  $Pf=0.30$

τες υπέρβασης,  $PT = 0.30, 0.10$ . Έγινε σύγκριση των παραπόνω φασμάτων με τα ανάλογα φάσματα σχεδιασμού που εκτιμήθηκαν στην παρούσα μελέτη η οποία φαίνεται στα σχήματα (33), (34), (35) και (36). Η σύγκριση αυτή έδειξε ότι το μέσο φάσμα κατά Newmark-Hall είναι συντηρητικότερο από το μέσο φάσμα που προέκυψε με βάση το εμπειρικό μοντέλο αναγωγής (scaling) φασματικών τιμών των Trifunac και Anderson<sup>(21)</sup> για όλες τις περιόδους. Τουναντίον το φάσμα σχεδιασμού κατά Newmark-Hall με πιθανότητα μή υπέρβασης 84,1%, έχει χαμηλότερες φασματικές τιμές για τις μικρές περιόδους μέχρι περίπου 0.4 sec από το αντίστοιχό του φασματος κατά Trifunac-Anderson, ενώ για μεγαλύτερες περιόδους είναι γενικά συντηρητικότερο.

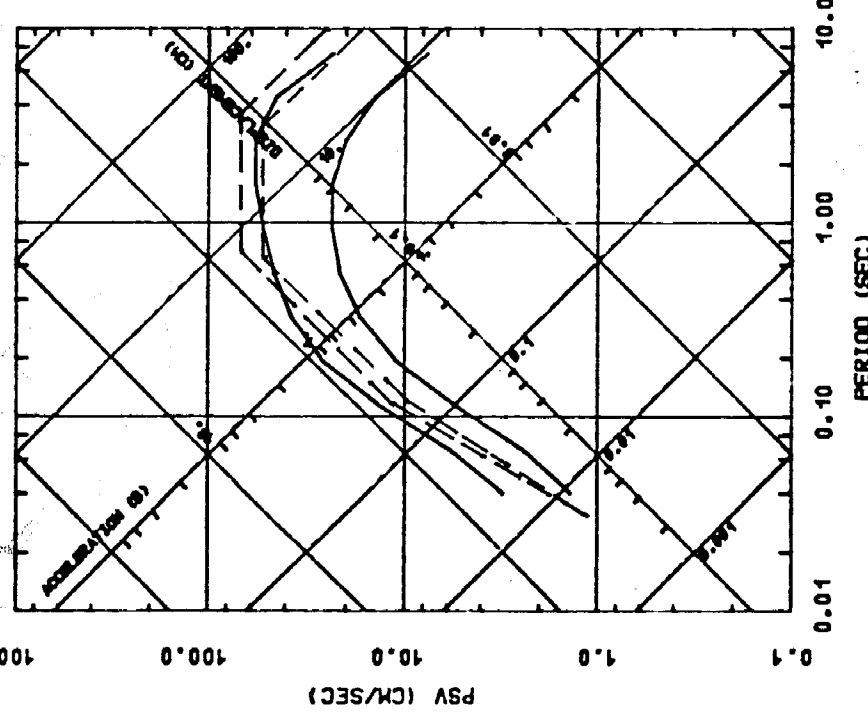
Στα παραπόνω αποτελέσματα υπεισέρχονται αρκετές αβεβαιότητες. Η μεάνωση των αβεβαιοτήτων αυτών που θα προκύψει από παραπέρα μελέτη και έρευνα πραχανώς θα οδηγήσει σε πιο αξιόπιστα φάσματα σχεδιασμού για την πόλη της Καλαμάτας. Για την πρόταση συγκεκριμένου φασματος σχεδιασμού είναι αναγκαίο να γνωρίζει ο συντάκτης της σχετικής πρότασης τη χρήση για την οποία προορίζεται το εν λόγω φάσμα. Επειδή η χρήση αυτή δεν είναι γνωστή στους συντάκτες του παρόντος και λαμβανομένου υπόψη ότι οι χρονικοί περιορισμοί της μελέτης δεν επιτρέπουν παραπέρα διερευνήσεις, προτείνεται το μέσο φάσμα συν μια τυπική απόκλιση του φασματος σχεδιασμού κατά Newmark-Hall ως ένα συντηρητικό φάσμα σχεδιασμού γενικής χρήσης.

$T=100$  ETH, PT=0.10  
 $D=0.05$ , PA=0.50-0.84, S=1, V=0

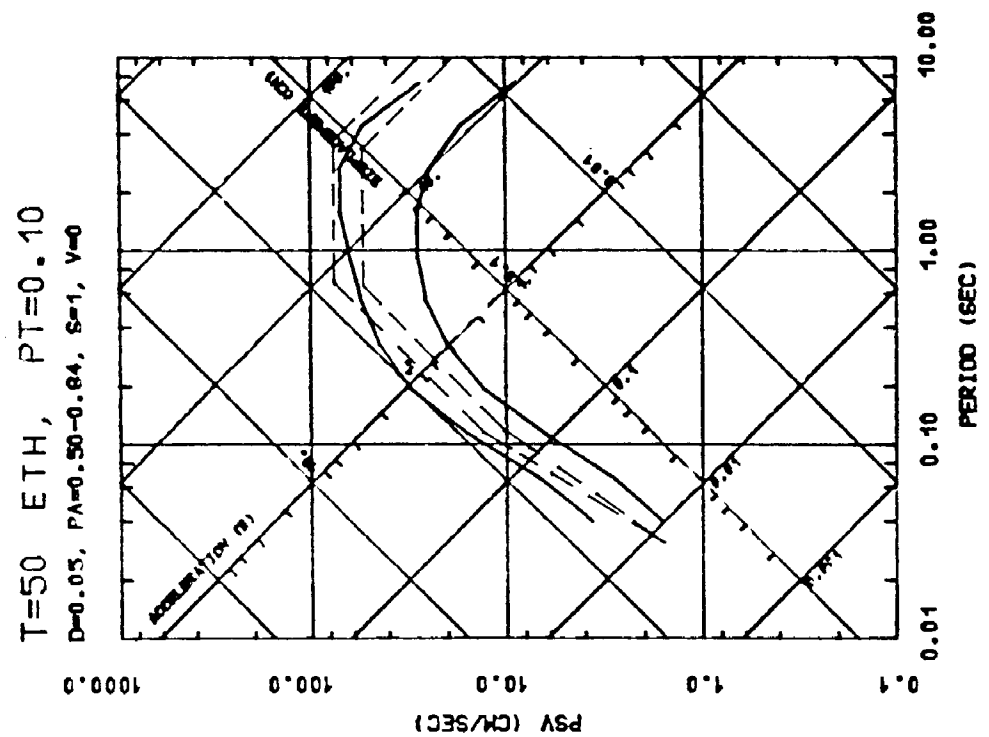


Σχ. 35: Κοινή απεικόνιση των φασμάτων σχεδιαστικού κατά Newmark-Hall με ανθλογικές πιθανολογικές φόρμαις απόκρωσης κατά Trifunac-Anderson (20)

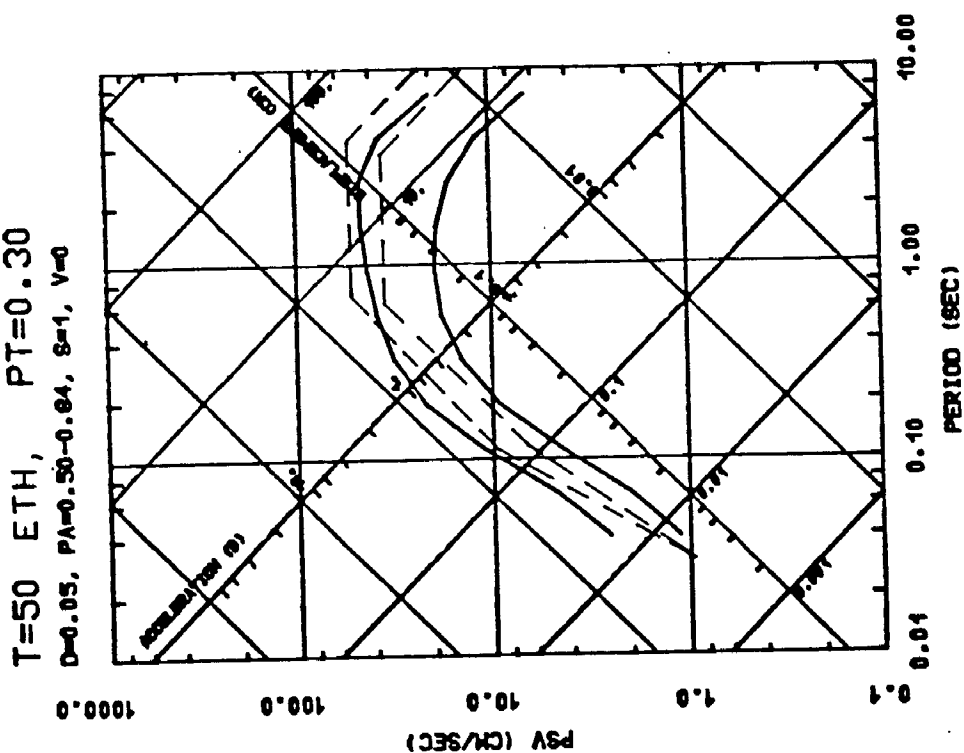
$T=100$  ETH, PT=0.30  
 $D=0.05$ , PA=0.50-0.84, S=1, V=0



Σχ. 36: Κοινή απεικόνιση των φασμάτων σχεδιαστικού κατά Newmark-Hall με ανθλογικές πιθανολογικές φόρμαις απόκρωσης κατά Trifunac-Anderson (20)



Σχ. 33: Κοινή απεικόνιση των φασμάτων σχεδιασμού κατά Newmark-Hall με ανάλογα πιθανολογικά φόρματα απόκρωσης κατά Trifunac-Anderson (20)



Σχ. 34: Κοινή απεικόνιση των φασμάτων σχεδιασμού κατά Newmark-Hall με ανάλογα πιθανολογικά φόρματα απόκρωσης κατά Trifunac-Anderson (20)

## 5. ΣΥΜΠΕΡΑΣΜΑΤΑ - ΠΡΟΤΑΣΕΙΣ

1. Ο σεισμός της 13ης Σεπτ., 1986 της Καλαμάτας, αν και μικρότερος σε μέγεθος από τους σεισμούς της Θεσ/νίκης (1978) και της Κορίνθου - Αλκυονίδων (1981), προκάλεσε σημαντικά εντονότερες σεισμικές επιβαρύνσεις σε ορισμένες περιοχές της πόλης απ' ό, τι προκάλεσαν στη Θεσ/νίκη και Κόρινθο, αντίστοιχα, οι δύο προσανφερθέντες σεισμοί. Αυτό αφείλεται κατά κύριο λόγο στη μικρή απόσταση της Καλαμάτας από την εστία του κύριου σεισμού - περίπου 15 km - και την ακόμα μικρότερη απόστασή της από την εστία του μεγαλύτερου μετασεισμού - περίπου 11 km. Συγκριτικά με το σεισμό της Θεσ/νίκης, η φασματική ένταση της δόνησης στην Καλαμάτα, όπως προκύπτει από την καταγραφή του ΙΤΣΑΚ, ήταν 2 έως 3 φορές μεγαλύτερη από τη φασματική ένταση της δόνησης που καταγράφηκε στη Θεσ/νίκη γιατί ιδιοπεριόδους μικρότερες των 0.8sec. Στο διάστημα αυτό περιέχονται οι θεμελιώδεις ιδιοπερίοδοι σχεδόν όλων των κτιρίων των δύο πόλεων.
2. Η βραχεία διάρκεια του ισχυρού τμήματος της εδαφικής κίνησης - 2.5 sec περίπου - αντιστόθμισε τη μεγάλη φασματική ένταση και σε συνδυασμό με τη συμβολή των τοιχοπληρώσεων σε κτίρια οπλ. σκυροδέματος, οι οποίες αν και κατά κανόνα αγνοούνται στον αντισεισμικό υπολογισμό εν τούτοις συμβάλλουν σε μεγάλο βαθμό στη δυσκαμψία της οικοδομής και στην απορρόφηση σεισμικής ενέργειας, ήταν οι κύριοι λόγοι για τους οποίους η καταστροφή δεν ήταν πολύ μεγαλύτερη. Η σημασία της διάρκειας (ή του αριθμού των κύκλων της εναλλασσόμενης φόρτισης) στην καταστρεπτικότητα ενός σεισμού προκύπτει και από το γεγονός ότι πολλές καταφρεύσεις έγιναν κατά τους δύο μεγαλύτερους και σημαντικά ασθενέστερους, συγκριτικά προς τον κύριο σεισμό, μετασεισμούς.
3. Τα χαρακτηριστικά της σεισμικής δόνησης της Καλαμάτας - ένταση, διάρκεια και περιεχόμενο συχνοτήτων - αντανακλούν το μέγεθος του σεισμού, την κοντινή απόσταση της πόλης από την εστία και τις τοπικές εδαφικές συνθήκες, οι οποίες μαζί με το μηχανισμό

γένεσης και το μήκος διάφρενης του ρήγματος αποτελούν τους καθοριστικούς παράγοντες της κατανομής των σεισμικών εντάσεων στις διάφορες περιοχές της πόλης ή γύρω από αυτή.

4. Η σύμπτωση των περιόδων στις οποίες παρατηρείται μια μεγάλη αιχμή των φασμάτων απόκρισης των συνιστωσών του κύριου σεισμού και του κύριου μετασεισμού ( 0.32 sec ), είναι ενδεικτική μιάς έντονης επίδρασης των τοπικών εδαφικών συνθηκών.
5. Η οργάνωση και χρηματοδότηση ενός δικτύου επιταχυνσιογράφων σε εθνική κλίμακα το οποίο θα καλύπτει ακραίες συνθήκες θεμελίωσης (έδαφος-βράχος), θα επιταχύνει τον εμπλουτισμό της τράπεζας δεδομένων ισχυρών εδαφικών κινήσεων στον Ελληνικό χώρο και θα συμβάλλει σε ικανοποιητικό βαθμό στη γνώση της διαμόρφωσης της εδαφικής κίνησης στις διάφορες κατηγορίες εδαφών. Σχετική μελέτη για το σχεδιασμό εθνικού δικτύου επιτ/φων έχει ήδη εκπονηθεί στο ΙΤΣΑΚ<sup>(22)</sup>.
6. Το προτεινόμενο φάσμα σχεδιασμού κατά Newmark-Hall στην παρούσα μελέτη (μέσο φάσμα συν μια τυπική απόκλιση) είναι γενικής χρήσης. Η πιθανή σχεδίαση περισσότερο προοδευτικών φασμάτων σχεδιασμού απαιτεί παραπέρα διερευνήσεις και μελέτη όλων εκείνων των παραμέτρων που καθορίζουν τις μελλοντικές εδαφικές κινήσεις στην πόλη της Καλαμάτας (νεοτεκτονικά ενεργά ρήγματα στην ευρύτερη περιοχή, σχέσεις απόσβεσης εδαφικών παραμέτρων, τοπικές εδαφικές συνθήκες κ.λ.π.).

## ΒΙΒΛΙΟΓΡΑΦΙΑ

1. Αναγνωστόπουλος, Σ.Α., Θεοδουλίδης, Ν.Π., Λεκίδης, Β.Α. και Μάργαρης, Β.Ν. "Οι σεισμοί της Καλαμάτας του Σεπτεμβρίου 1986: Αποτελέσματα από την ανάλυση των επιταχυνσιογραφημάτων, συσχετισμός με τον αντισεισμικό κανονισμό, επισκόπηση βλαβών και συμπεράσματα", ΙΤΣΑΚ, Εργασία ΙΤΣΑΚ: 86-05, 1986.
2. Papazachos, B., Kiratzi, A., Karacostas, B., Panagiotopoulos, D. and E. Scordilis."Surface fault traces, fault plane solution and spatial distribution of the aftershocks of the September 13, 1986 earthquake of Kalamata (Southern Greece). (Υπό δημοσίευση).
3. Carydis, P.C., Drakopoulos, J.C. and Taflambas, I.M. "Evaluation of the Corinth Strong Motion Records of February 24 and 25, 1981". Proc. of the 7th Europ. Conf. on Earth. Engin., Vol.3, pp.119-131, Athens, 1982.
4. Carydis, P.C., Drakopoulos, I., Pantazopoulos, S. and Taflambas, I. "Evaluation of the June 20 and July 5, 1978, Thessaloniki Strong Motion Records", in "The Thessaloniki, Northern Greece, Earthquake of June 20, 1978 and its seismic Sequence" Technical Chamber of Greece, pp.231-256, Thessaloniki, 1983.
5. Trifunac, M.D. "Response Spectra", in Analyses of Strong Motion Earthquake Accelerograms, Vol.III, part A, Rep.N 72-80, Earthquake Engineering Research Lab. California Institute of Technology, Pasadena, August 1972.
6. Trifunac, M.D. "Low frequency digitization errors and a new method for zero baseline correction of Strong-Motion Accelerograms". EERL Report No. EERL 70-07, 1970.
7. Trifunac, M.D., Udwadia, F.E. and Brady, A.G. "High frequency errors and instrument corrections of strong-motion accelerograms". EERL, Report No. EERL 71-05, 1971.
8. Basili, M. "Data acquisition and processing in Strong Motion Seismology". Int. Sum.Sch.Ankara, 1985.

9. Margaris, B.N. "Digitizing errors and filters", ITSAK, Report ITSAK:86-03, 1986.
10. Petrovski, D. and Naumovski, N. "Processing of Strong Motion accelerograms Part I-Analytical Methods" IZIIS, Publication No.66, 1979.
11. Basili, M. and Brady, A.G. "Low frequency filtering and the selection of limits for Accelerogram corrections". Proc. of the Sixth European Conference on Earthquake Engineering, Yugoslavia, 1978.
12. Brigham, O.E. "The Fast Fourier Transform". Prentice Hall, Inc., Englewood Cliffs New Jersey, 1974.
13. Orsmbry, J.F.A. "Design of numerical filters with application to missile data processing". Ass. for Comp. Machivery Jour., 8, 440-466, 1961.
14. Khemici, O. and Shah, H.C. "Frequency domain corrections of earthquake accelerograms with experimental verifications". J.A. Blume Earth.Eng.Center Report N:55, 1982.
15. Αναγνωστόπουλος, Σ.Α. "Στοιχεία αντισεισμικής δυναμικής ανάλυσης κατασκευών με φάσματα απόκρισης-σχεδιασμού". ITSAK. Εργασία ITSAK:86-01, 1986.
16. Newmark, N.M., Degenkolb, H.J., Chorpa, A.K., Veletsos, A.S., Rosenblueth, E. and Sharpe, R.L., "Seismic design and analysis provisions for the United States", 6th World Conf. Earthquake Eng., New Delhi, India, 1977.
17. Seed, H.B., Ugas, C. and Lysmer, J., "Site-dependent Spectra for earthquake-resistant design", Bull. Seism. Soc. Amer., 66, 221-243, 1976.
18. Newmark, N.M. and Hall, W.J., "Seismic design criteria for nuclear reactor facilities", 4th World Conference on Earthquake Engineering, Santiago, Chile, 1969.
19. Newmark, N.M. Consulting Engineering Services, "A study of vertical and horizontal earthquake spectra", Directorate of Licencing United States A.E.C., 1973.

20. Θεοδουλίδης, Ν.Π., Χατζηδημητρίου, Π.Μ., Παπαϊωάννου, Χ.Α., Παπαζάχος, Β.Κ.  
και Παπασταματίου, Δ.Ι., "Σεισμική επικινδυνότητα και πιθανολογικά φάσματα  
απόκρισης για την Καλαμάτα": Δημοσίευση Εργαστηρίου Γεωφυσικής Πανεπιστη-  
μίου Θεσ/νίκης, 6, 1986.
21. Trifunac, M.D. and Anderson, J.G., "Preliminary empirical models for scaling  
pseudo relative velocity spectra", Report No. 78-04, USC Dep. of Civil  
Eng., Jun., 1978.
22. Θεοδουλίδης, Ν.Π., Μάργαρης, Β.Ν. και Παπασταματίου, Δ.Ι. "Σχεδιασμός δι-  
κτύου επιταχυνσιογράφων", ΙΤΣΑΚ, Εργασία ΙΤΣΑΚ: 86-04, 1986.

ΠΑΡΑΡΤΗΜΑ Α

Δελτία Καταγραφής Ισχυρής Σεισμικής Δόνησης

**ΔΕΛΤΙΟ ΚΑΤΑΓΡΑΦΗΣ ΙΣΧΥΡΗΣ ΣΕΙΣΜΙΚΗΣ ΔΟΝΗΣΗΣ (STRONG-MOTION RECORD REPORT)**

Καταγραφή (Recording) No: KAL 86-1

Σταθμός (Station): KAL

Συντεταγμένες (Coordinates): 37.01N, 22.10E

Τοποθεσία (Location): Καλαμάτα (Kalamata)

Θέση σχετιστών (Site): 7-όροφο κτίριο, Υπόγειο (7-story bldg, Basement)

 Προσανατολισμός οργάνου (Instrument orientation)<sup>(1)</sup>: 90 gra

 Επικεντρωική απόσταση (Epicentral distance)<sup>(2)</sup>: ~17 km

Τύπος οργάνου (Instrument type): SMA-1

Αριθμός οργάνου (Serial No.): 4124

 Παραμετροί Σεισμού (Earthquake Parameters)<sup>(3)</sup>

 Μέγεθος (Magnitude):  $M_L = 5.7$  ( $M_s = 6.2$ )

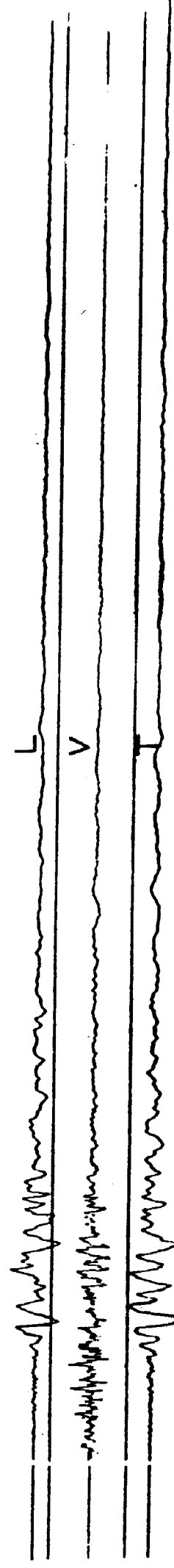
Χρόνος Γένεσης (Origin Time): 13-8-1986, 17:24:35.6 GMT

Συντεταγμένες Επικεντρου (Epicentral Coordinates): 36.9N, 22OE Χρόνος [S-t] (Interval time): 1.9 sec

	Δεδομένα Ισχυρής Εδαφογραφίας Κίνησης (Strong Ground Motion Data)
Συντονίστασα	Χρόνος Μέγιστης Περιόδος Μέγιστης
Καταγραφής (Record Component)	Επιτάχυνσης (Time of Maximum Acceleration) [sec]
Component	Acceleration [g]

L	0.24	3.8	0.4
T	0.27	-	2.5
V	0.22	1.7	0.06

Διάρκεια Καταγραφής (Record Duration): 20.0 sec

 Διάρκεια Ισχυρής Δονήσης (Strong Motion Duration)<sup>(4)</sup>: 5.8 sec


(1) Προσανατολισμός της εκμήκουσας συγκινούσας (Direction of longitudinal component [L])

(2) Αριστοστού του σταθμού από το επίκεντρο (Distance from station to epicenter)

(3) Στοιχεία αρχ. το Γεωδαιτικό Ινστιτούτο του Ελληνικού Αστεροσκοπείου Αύγουν και το Φυσαστήριο Γεωφυσικής του Α.Π.Θ.

 (4) Η χρονική διάρκεια της καταγραφής με εκτάχυνση  $> 0.05g$  (Time span between the first and last peak with acceleration  $> 0.05g$ )

ΔΕΛΤΙΟ ΚΑΤΑΓΡΑΦΗΣ ΙΣΧΥΡΗΣ ΣΕΙΣΜΙΚΗΣ ΔΟΝΗΣΗΣ (STRONG-MOTION RECORD REPORT)

Καταγραφή (Recording) No: GTI 86-1  
Σταθμός (Station): GTI  
Συντεταγμένες (Coordinates): 36.74N, 22.54E  
Τοποθεσία (Location): Γύθειο (Githio)  
Θέση εγκατάστασης (Site): 2-όροφο κτίριο, Ισόγειο  
(2-story bldg, Ground level)  
Προσανατολισμός οργάνου (Instrument orientation)<sup>(1)</sup>: 75 gra  
Επικεντρική απόσταση (Epicentral distance)<sup>(2)</sup>: ~50 km  
Τύπος οργάνου (Instrument type): SMA-1  
Αριθμός οργάνου (Serial No.): 4092  
Παραμετροί Σεισμού (Earthquake Parameters)<sup>(3)</sup>  
Μέγεδος (Magnitude):  $M_L = 5.7$  ( $M = 6.2$ )  
Χρόνος Γένεσης (Origin Time): 13-9-1986, 17:24:35.6 GMT  
Συντεταγμένες Επικεντρου (Epicentral Coordinates): 36.9N, 22.0E  
Χρόνος ισχύρης Επικεντρου (Strong-motion duration): 6.0 sec  
Χρόνος διάρκειας ισχύρης Δονήσης (Strong Motion Duration): 5.8 sec

Δεδομένα Ισχύρης Εδαφικής Κίνησης (Strong Ground Motion Data)			
Συντιάσσα	Μεγιστηριακός (Record Component)	Χρόνος Μεγιστηριακής Επιτάχυνσης	Περιοδος Μεγιστηριακής Επιτάχυνσης
Καταγραφής (Record Component)	Επιτάχυνση (Maximum Acceleration)	(Time of Maximum Acceleration)	(Period of Maximum Acceleration)
Θέση (Site)	[g]	[sec]	[sec]

Προσανατολισμός οργάνου (Instrument orientation)<sup>(1)</sup>: 75 gra

Επικεντρική απόσταση (Epicentral distance)<sup>(2)</sup>: ~50 km

Τύπος οργάνου (Instrument type): SMA-1

Αριθμός οργάνου (Serial No.): 4092

Παραμετροί Σεισμού (Earthquake Parameters)<sup>(3)</sup>

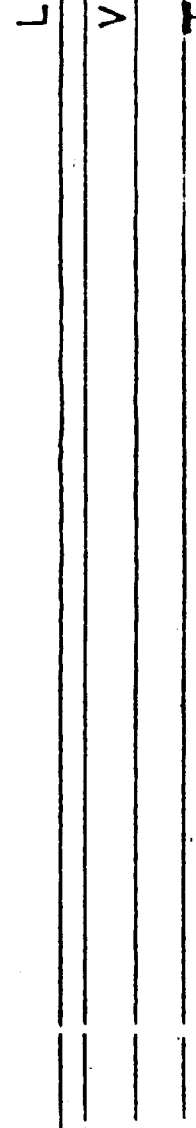
Μέγεδος (Magnitude):  $M_L = 5.7$  ( $M = 6.2$ )

Χρόνος Γένεσης (Origin Time): 13-9-1986, 17:24:35.6 GMT

Συντεταγμένες Επικεντρου (Epicentral Coordinates): 36.9N, 22.0E

Χρόνος ισχύρης Επικεντρου (Strong-motion duration): 6.0 sec

Χρόνος διάρκειας ισχύρης Δονήσης (Strong Motion Duration): 5.8 sec



(1) Προσανατολισμός της επιμήκους συναστάσεως (Direction of longitudinal component [L])

(2) Αρότρον του σταθμού από το επίκεντρο (Distance from station to epicenter)

(3) Στοιχεία από το Γεωδυναμικό Ινστιτούτο του Ευριξού Αστεροσκοπείου Αθηνών και την Γεωφυσική Λαρύρη της Θεσσαλονίκης

(From preliminary data by the Seismological Institute of the National Observatory of Athens and the Geophysical Laboratory University of Thessaloniki)

(4) Η χρονική διάρκεια της καταγραφής με την έχουσα > 005g (Time span between the first and last peak with acceleration > 005g)



ΙΤΣΑΚ INSTITUTO TEKHNIKIS SEISMOLΟGIAS KAI ANTISEISMIKON KATAΣKEΥΩΝ  
(INSTITUTE OF ENGINEERING SEISMOLOGY AND EARTHQUAKE ENGINEERING)

**ΔΕΛΤΙΟ ΚΑΤΑΓΡΑΦΗΣ ΙΣΧΥΡΗΣ ΣΕΙΣΜΙΚΗΣ ΔΟΝΗΣΗΣ (STRONG-MOTION RECORD REPORT)**

Katagrapti (Recording) No: KAL 86-7

Σταθμός (Station): KAL

Συντετριψένες (Coordinates): 37.01N, 22.10E

Τοποθεσία (Location): Καλαμάτα (Kalamata)

Θέση εγκατάστασης (Site): 7-όροφο κτίριο, Υπόγειο (7-story bldg, Basement)

Προσανατολισμός οργάνου (Instrument orientation)<sup>(1)</sup>: 90 gra

Επικεντρωτή απόσταση (Epicentral distance)<sup>(2)</sup>: ~7 km

Τύπος οργάνου (Instrument type): SMA-1

Αριθμός οργάνου (Serial No.): 4124

Παραμετροί Σεισμού (Earthquake Parameters)<sup>(3)</sup>

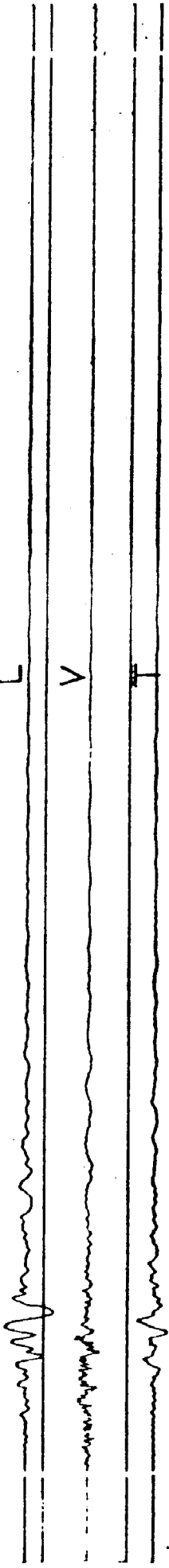
Μέγευθος (Magnitude):  $M_L = 4.9$  ( $M_w = 5.4$ )

Χρόνος Γένεσης (Origin Time): 15-5-1986, 11:41:31.3 GMT

Συντετριψένες Επικεντρών (Epicentral Coordinates): 37.0N, 22.1E Χρόνος [S-t] (Interval time): 1.4 sec

Δεδομένα Ισχυρής Εδαφικής Κίνησης (Strong Ground Motion Data)	Συντετριψάσα	Μέγιστη Επιτάχυνση	Χρόνος Μέγιστης	Περιόδος Μέγιστης
	Katagraptis (Record Component)	Επιτάχυνση (Maximum Acceleration)	Επιτάχυνση (Time of Maximum Acceleration)	Επιτάχυνση (Period of Maximum Acceleration)
		[g]	[sec]	[sec]
Προσανατολισμός οργάνου (Instrument orientation) <sup>(1)</sup> : 90 gra	L	0.23	2.6	0.45
Επικεντρωτή απόσταση (Epicentral distance) <sup>(2)</sup> : ~7 km	T	0.15	-2.4	0.35
Τύπος οργάνου (Instrument type): SMA-1	V	0.11	2.2	0.10
Αριθμός οργάνου (Serial No.): 4124				
Παραμετροί Σεισμού (Earthquake Parameters) <sup>(3)</sup>				
Μέγευθος (Magnitude): $M_L = 4.9$ ( $M_w = 5.4$ )				
Χρόνος Γένεσης (Origin Time): 15-5-1986, 11:41:31.3 GMT				
Συντετριψένες Επικεντρών (Epicentral Coordinates): 37.0N, 22.1E Χρόνος [S-t] (Interval time): 1.4 sec				

Διάφρενα Katagraptis (Record Duration): 12.0 sec<sup>(4)</sup>  
Διάφρενα Ισχυρής Δονήσης (Strong Motion Duration)<sup>(4)</sup>: 3.0 sec



(1) Προσανατολισμός της επιμήκους συντετρώσας (Direction of longitudinal component [L])

(2) Αρισταση του σταθμού από το επίκεντρο (Distance from station to epicenter)

(3) Στοχεία από το Geodinamikό Ινστιτούτο του Ελλήνων Αστροφυσικού Αστη στην Επιστημονικό Αστροφυσικό Ίνστιτούτο του Α.Π.Θ.

(From preliminary data by the Seismological Institute of the National Observatory of Athens and the Geophysical Laboratory University of Thessaloniki)

(4) Η χρονική διάρκεια της καταγραφής με εκτάχυνση  $\geq 0.05$  g (Time span between the first and last peak with acceleration  $> 0.05$  g)

ΔΕΛΤΙΟ ΚΑΤΑΓΡΑΦΗΣ ΙΣΧΥΡΗΣ ΣΕΙΣΜΙΚΗΣ ΔΟΝΗΣΗΣ (STRONG-MOTION RECORD REPORT)

Καταγραφή (Recording) No: KAL\* 86-2  
 Στασιμός (Station): KAL\*  
 Συντεταγμένες (Coordinates): 37.01N, 22.10E  
 Τοποθεσία (Location): Καλαμάτα (Kalamata)  
 Θέση εγκατάστασης (Site): 4-όροφο κτίριο, Υπόγειο  
 (4-story bldg, Basement)

Προσανατολισμός οργάνου (Instrument orientation): 15 gra  
 Επικεντρική απόσταση (Epicentral distance)<sup>(2)</sup>: ~7 km.  
 Τύπος οργάνου (Instrument type): SMA-1  
 Αριθμός οργάνου (Serial No.): 4122

Παραμετροί Σεισμού (Earthquake Parameters)<sup>(3)</sup>  
 Μέγεθος (Magnitude):  $M_L = 4.9$  ( $M = 5.4$ )  
 Χρόνος Γένεσης (Origin Time): 15-9-1986, 11:41:31.3 GMT  
 Συντεταγμένες Επικεντρώου (Epicentral Coordinates): 37.0N, 22.1E Χρόνος [S-t] (S-t) interval time): 1.4 sec

Δεδομένα Ισχυρής Εδαφικής Κίνησης (Strong Ground Motion Data)	Χρόνος Μεγιστής	Περίοδος Μεγιστής
Συντεταγμένα Μεγιστή	Χρόνος Μεγιστής	Περίοδος Μεγιστής
Καταγραφής Επιτάχυνση (Maximum Record Component)	Επιτάχυνσης (Time of Maximum Acceleration)	Επιτάχυνσης (Period of Maximum Acceleration)
Χρόνος Μεγιστής [sec]	Επιτάχυνσης [sec]	Περίοδος Μεγιστής [sec]

Προσανατολισμός οργάνου (Instrument orientation): 15 gra

Επικεντρική απόσταση (Epicentral distance)<sup>(2)</sup>: ~7 km.

Τύπος οργάνου (Instrument type): SMA-1

Αριθμός οργάνου (Serial No.): 4122

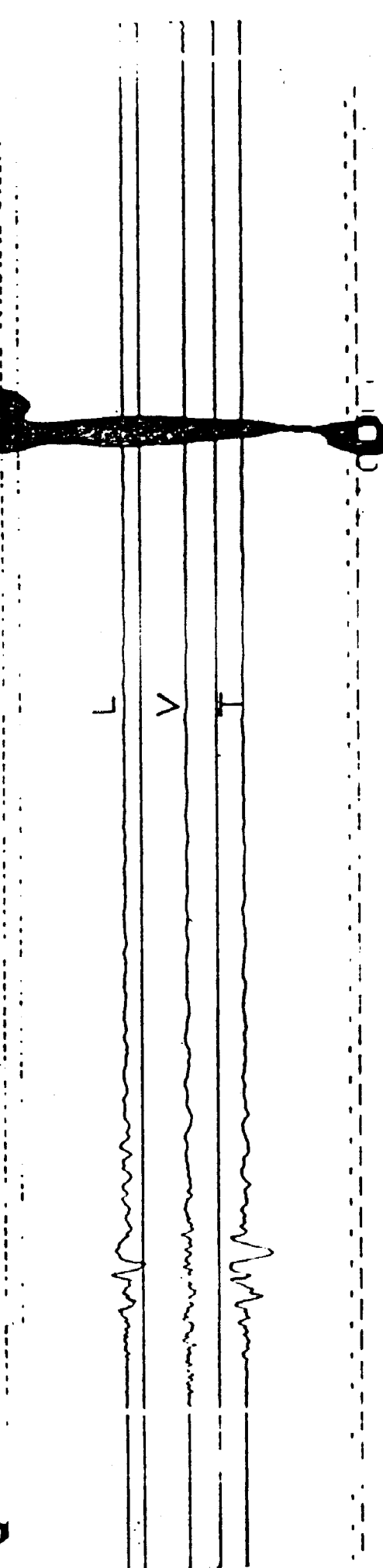
Παραμετροί Σεισμού (Earthquake Parameters)<sup>(3)</sup>

Μέγεθος (Magnitude):  $M_L = 4.9$  ( $M = 5.4$ )

Χρόνος Γένεσης (Origin Time): 15-9-1986, 11:41:31.3 GMT

Συντεταγμένες Επικεντρώου (Epicentral Coordinates): 37.0N, 22.1E Χρόνος [S-t] (S-t) interval time): 1.4 sec

L V



(1) Προσανατολισμός της εκμηχανικής συντετωσας (Direction of longitudinal component [L])

(2) Απόσταση του σταθμού από το εκτίναγμα (Distance from station to epicenter)

(3) Στοιχεία από το Γεωδυναμικό Ινστιτούτο Αθηνών και το Φυσητρικό Σεισμολογικό του ΑΠΘ.  
 (From preliminary data by the Seismological Institute of Athens and the Geophysical Laboratory of the National Observatory of Athens)

(4) Η χρονική διάρκεια της καταγραφής με εκτάχυνση > 0.05 g (Time span between the first and last peak with acceleration > 0.05 g)

ΔΕΛΤΙΟ ΚΑΤΑΓΡΑΦΗΣ ΙΣΧΥΡΗΣ ΣΕΙΣΜΙΚΗΣ ΔΟΝΗΣΗΣ (STRONG-MOTION RECORD REPORT)

Kαταγραφή (Recording) No: KAL\* 86-2

Σταθμός (Station): KAL\*

Συντεταγμένες (Coordinates): 37.01N, 22.10E

Τοποθεσία (Location): Καλαμάτα (Kalamata)

Θέση σχετιστικής (Site): 4-όροφο κτίριο, Υπόγειο  
 (4-story bldg, Basement)

Προσανατολισμός οργάνου (Instrument orientation): 15 gra

Επικεντρωτή απόσταση (Epicentral distance)<sup>(2)</sup>: ~7 km

Τύπος οργάνου (Instrument type): SMA-1

Αριθμός οργάνου (Serial No.): 4122

Παραμετροί Σεισμού (Earthquake Parameters)<sup>(3)</sup>

Μέγεθος (Magnitude):  $M_L = 4.9$  ( $M_w = 5.4$ )

Χρονος Γένεσης (Origin Time): 15-9-1986, 11:41:31.3 GMT

Συντεταγμένες Επικεντρου (Epicentral Coordinates): 37.0N, 22.1E

**Q**

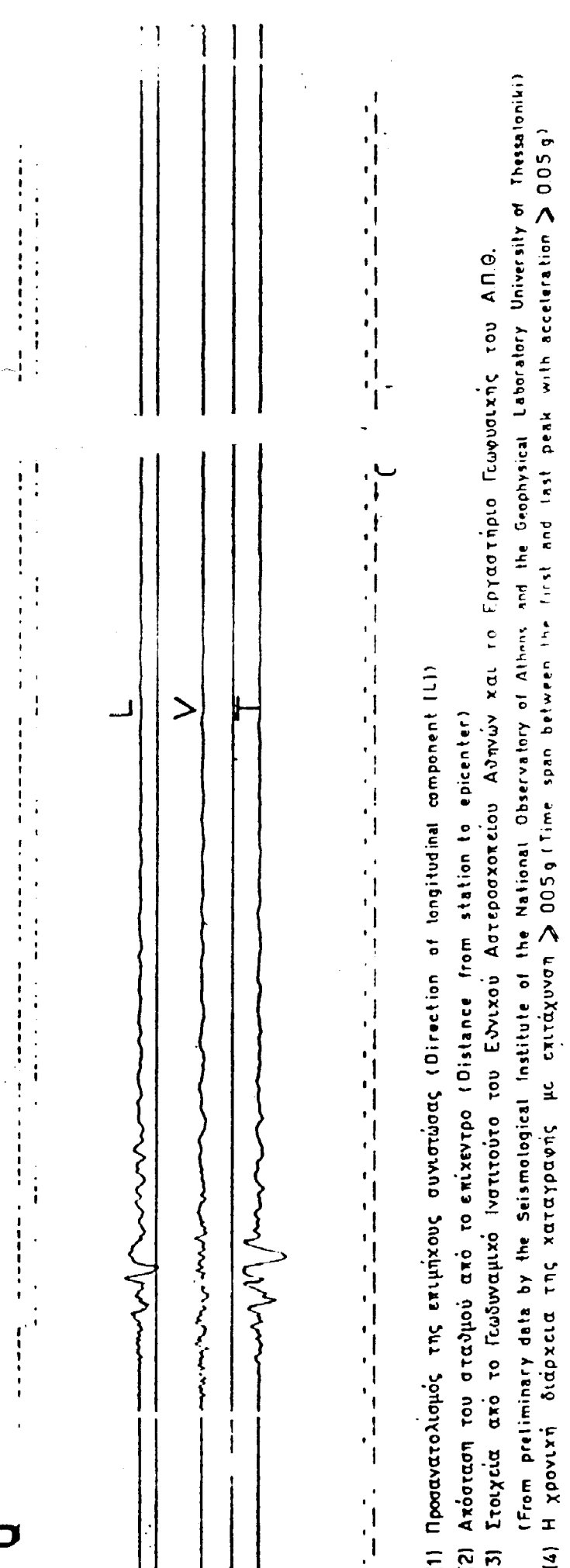
	Δεδομένα ισχυρής έδαφους Κίνησης (Strong Ground Motion Data)
Συντεταγμένα	Χρόνος Μεγιστηρίου Περιόδος Μεγιστηρίου
Καταγραφής (Record	Επιτάχυνσης Επιτάχυνσης
Τοποθεσία (Location): Καλαμάτα (Kalamata)	(Maximum Time of Maximum Period of Maximum Acceleration) [sec]
Θέση σχετιστικής (Site): 4-όροφο κτίριο, Υπόγειο (4-story bldg, Basement)	[g] [sec]

Προσανατολισμός οργάνου (Instrument orientation)	15 gra
Επικεντρωτή απόσταση (Epicentral distance) <sup>(2)</sup>	~7 km
Τύπος οργάνου (Instrument type)	SMA-1
Αριθμός οργάνου (Serial No.)	4122

Διάρκεια Καταγραφής (Record Duration): 12.0 sec<sup>(4)</sup>  
 Διάρκεια Ισχυρής Δονήσης (Strong Motion Duration): 2.5 sec

Συντεταγμένες Επικεντρου (Epicentral Coordinates): 37.0N, 22.1E

**Q**



(1) Προσανατολισμός της επιμήκους συντετώσας (Direction of longitudinal component [L])

(2) Απόσταση του σταθμού από το επίκεντρο (Distance from station to epicenter)

(3) Στοιχεία από το Γεωδυναμικό Ινστιτούτο του Εργαστήριο Γεωφυσικής του ΑΠΘ.

(From preliminary data by the Seismological Institute of Athens and the Geophysical Laboratory University of Thessaloniki)

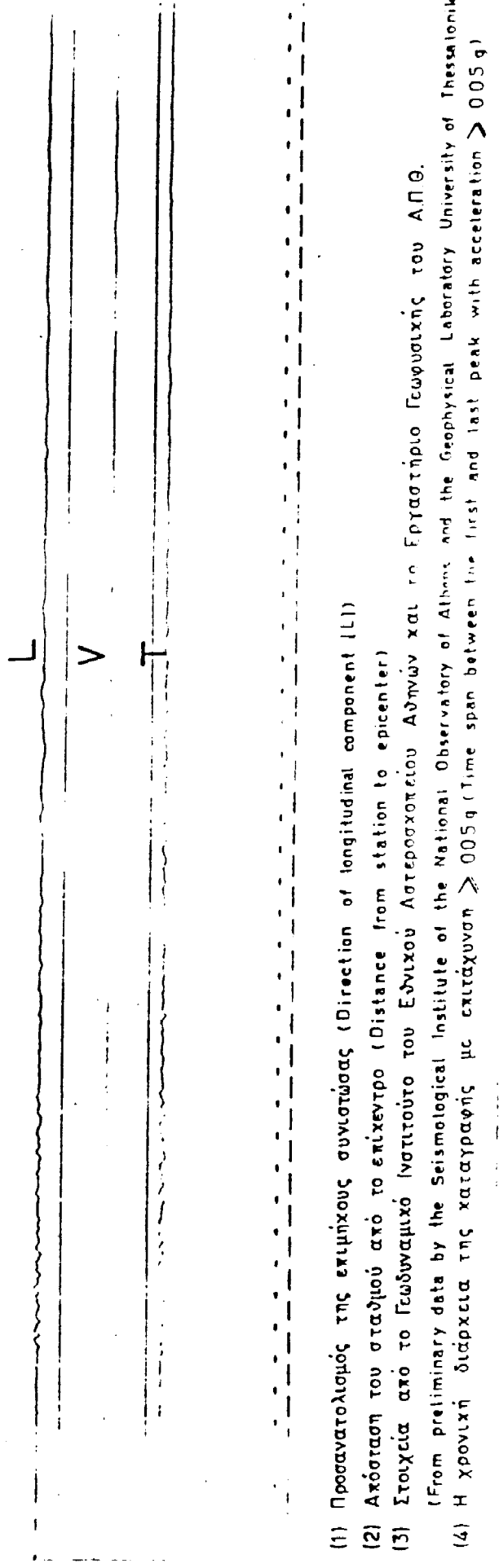
(4) Η χρονική διάρκεια της καταγραφής με σταχτήν > 005 g (Time span between the first and last peak with acceleration > 005 g)



ΙΤΣΑΚ INSTITUTO TEKNIKHE SEISMOLOGIAS KAI ANTSEISMIKON KATAΣKEYON  
(INSTITUTE OF ENGINEERING SEISMOLOGY AND EARTHQUAKE ENGINEERING)

ΔΕΛΤΙΟ ΚΑΤΑΓΡΑΦΗΣ ΙΣΧΥΡΗΣ ΣΕΙΣΜΙΚΗΣ ΔΟΝΗΣΗΣ (STRONG-MOTION RECORD REPORT)

Καταγραφή (Recording) No:	MES*	86-1	Δεδομένα Ισχυρής Εδαφικής Κίνησης (Strong Ground Motion Data)
Σταθμός (Station): MES*		Συνιστώσα	Χρόνος Μεγιστής (Period of Maximum Acceleration) [sec]
Συντεταγμένες (Coordinates): 37.02N, 22.0E		Καταγραφής (Record Component)	Επιτάχυνσης (Time of Maximum Acceleration) [sec]
Τοποθεσία (Location): Μεσσήνη (Messini)			(Maximum Acceleration) [g]
Θέση εγκατάστασης (Site): 1-δρόφοι κτύρο, Ισθνετο			
Προσανατολισμός οργάνου (Instrument orientation) <sup>(1)</sup> : 80 gra	L	0.027	2.7
Επικεντρική απόσταση (Epicentral distance) <sup>(2)</sup> : ~15 km	T	0.038	3.3
Τύπος οργάνου (Instrument type): SMA-1	V	0.016	2.8
Αριθμός οργάνου (Serial No.): 4112			
Παραμετροί Σεισμού (Earthquake Parameters) <sup>(3)</sup>			
Μέγεθος (Magnitude): $M_L = 4.9$ ( $M = 5.4$ )		Διάρκεια Καταγραφής (Record Duration): 21.0 sec	
Χρόνος Γένεσης (Origin Time): 15-5-1986, 11:41:31.3 GMT		Διάρκεια Ισχυρής Δονήσης (Strong Motion Duration): -	
Συντεταγμένες Επικεντρου (Epicentral Coordinates): 37.0N, 22.1E χρόνος [ $S-t$ ] ([S-t] interval time): 2.5 sec			



(1) Προσανατολισμός της εκμηχανικής συνιστώσας (Direction of longitudinal component [L])

(2) Αρχόσταση του σταθμού αρχό το επίκεντρο (Distance from station to epicenter)

(3) Στοιχεία αρχό το Γεωδυναμικό Ινστιτούτο του Ελληνικού Αστεροσκοπείου Αθηνών και το Εργαστήριο Γεωφυσικής του Α.Π.Θ.

(From preliminary data by the Seismological Institute of the National Observatory of Athens and the Geophysical Laboratory University of Thessaloniki)

(4) Η χρονική διάρκεια της καταγραφής με εκτάχυνση  $\geq 0.05g$  (Time span between the first and last peak with acceleration  $> 0.05g$ )



ΔΕΛΤΙΟ ΚΑΤΑΓΡΑΦΗΣ ΙΣΧΥΡΗΣ ΣΕΙΣΜΙΚΗΣ ΔΟΝΗΣΗΣ (STRONG-MOTION RECORD REPORT)

Katarypafni (Recording) No.: KRN# 86-1  
Σταθμός (Station): KRN\*

Συντεταγμένες (Coordinates): 36.98N, 21.95E

Τοποθεσία (Location): Koroni (Koroni)  
Θέση εγκατάστασης (Site): 1-story ktrio, Ισόγειο  
(1-story bldg, Ground level)

Προσανατολισμός οργάνου (Instrument orientation): 125 gra

Επικεντρική απόσταση (Epicentral distance): ~ 25 km

Τύπος οργάνου (Instrument type): SMA-1

Αριθμός οργάνου (Serial No.): 4116

Παραγμετροί Σεισμού (Earthquake Parameters):<sup>(1)</sup>

Μέγενδος (Magnitude):  $M_L = 4.9$  ( $M_s = 5.4$ )

Χρόνος Γενεσής (Origin Time): 15-9-1986, 11:41:31.3 GMT

Συντεταγμένες Επικεντρού (Epicentral Coordinates): 37.0N, 22.1E Χρόνος [S-t] interval time: -

**Figure 1**: Strong-motion record plot showing Acceleration (g) versus Time (sec). The plot includes three traces labeled L, V, and G.

Δεδομένα Ισχυρής Εδαφικής Κίνησης (Strong Ground Motion Data)	
Συντεταγμένα	Χρόνος Μέγιστης
Καταγραφής (Record)	Επιτάχυνσης (Time of Maximum Acceleration)
Καταγραφής (Component)	[sec]
Επιτάχυνσης (Maximum Acceleration)	[sec]

Διάρκεια Καταγραφής (Record Duration): -  
Διάρκεια Ισχυρής Διοντής (Strong Motion Duration):<sup>(2)</sup> -  
Διάρκεια Ισχυρής Διοντής (Strong Motion Duration):<sup>(3)</sup> -  
Επιπλέον διεύθυνση 0.005g) -  
"

"

"

"

"

"

"

L

V

**Figure 2**: Strong-motion record plot showing Acceleration (g) versus Time (sec). The plot includes three traces labeled L, V, and G.

- (1) Προστατολητικός της εκμήκους συντάσεως (Direction of longitudinal component [L])

- (2) Αροτροφή του σταθμού από το επίκεντρο (Distance from station to epicenter)

- (3) Στοχεία από το Γεωδυναμικό Ινστιτούτο του Εθνικού Αστροφυσικού Κέντρου Α.Π.Θ.

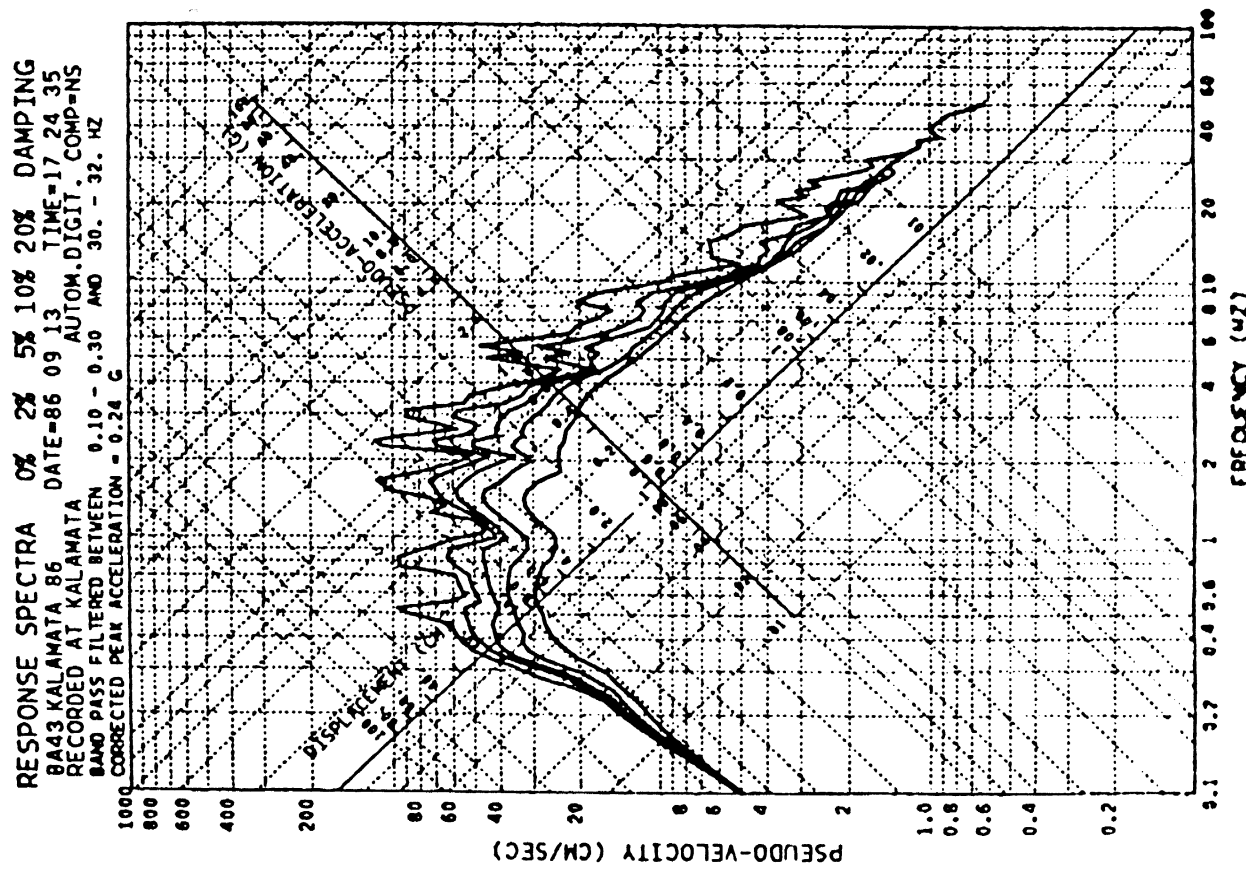
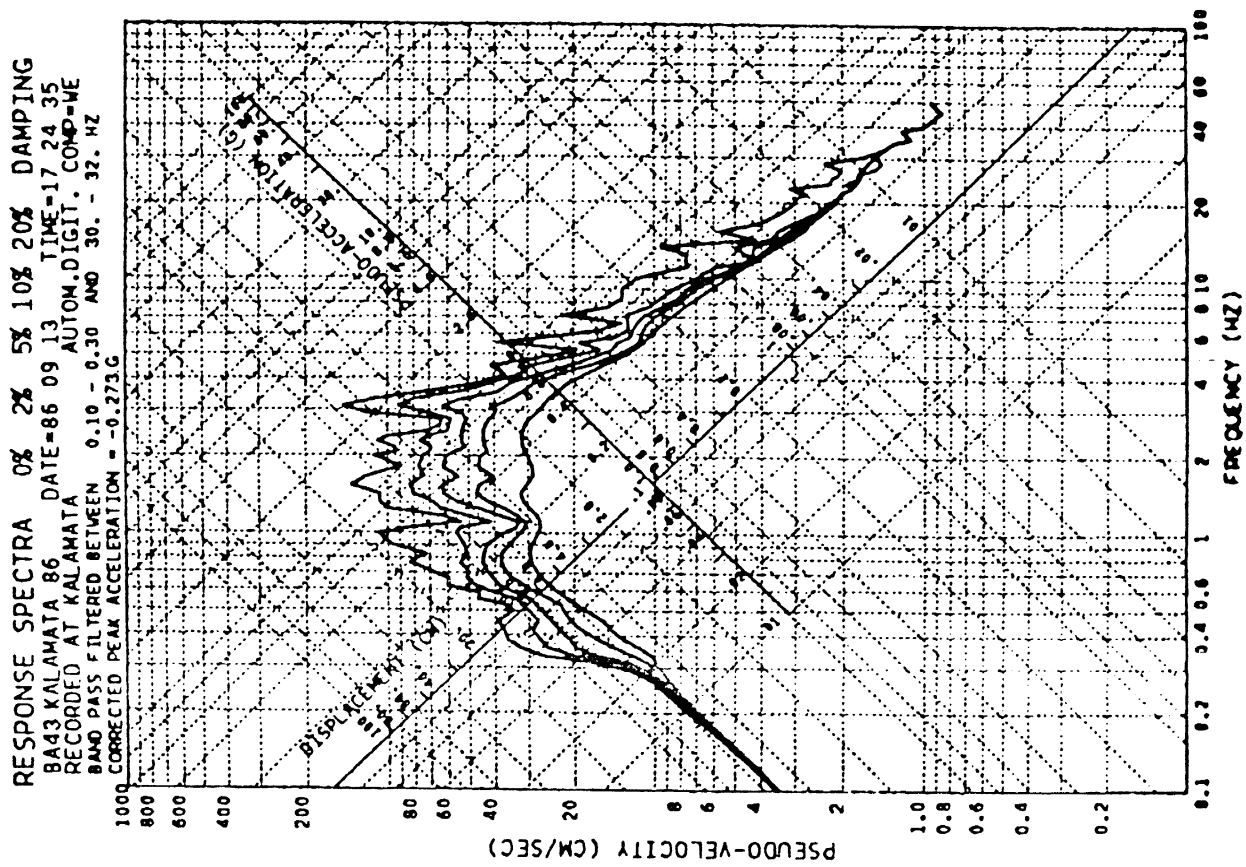
- (From preliminary data by the Seismological Institute of the National Observatory of Athens and the Geophysical Laboratory University of Thessaloniki)

- (4) Η χρονική διαρκεία της καταγραφής με τιμήν > 0.05g (Time span between the first and last peak with acceleration > 0.05 g)

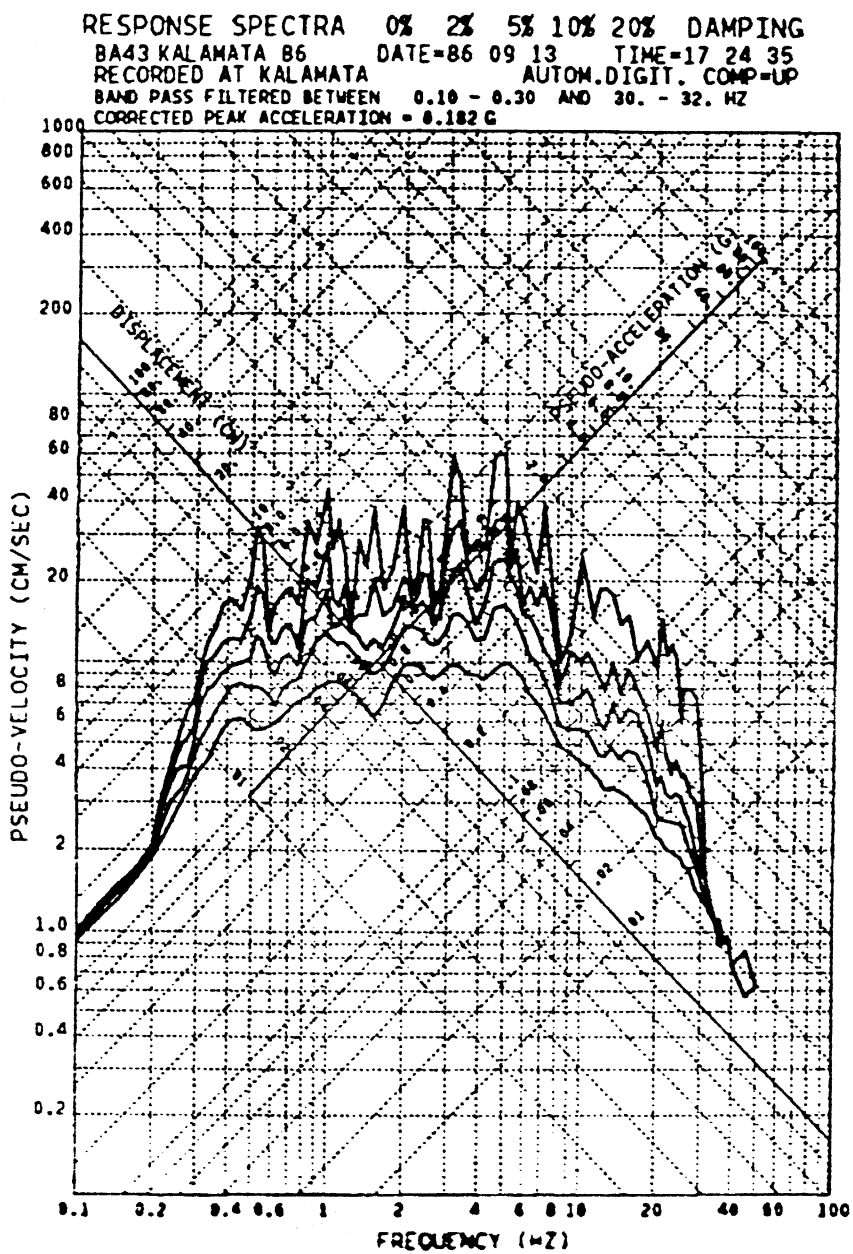
ΠΑΡΑΡΤΗΜΑ Β

Φάσματα Απόκρισης  $S_v$ ,  $S_a$  και  $S_d$  σε Τριλογαριθμητικές Κλίμακες, του κύριου Σεισμού και του μεγαλύτερου Μετασεισμού.

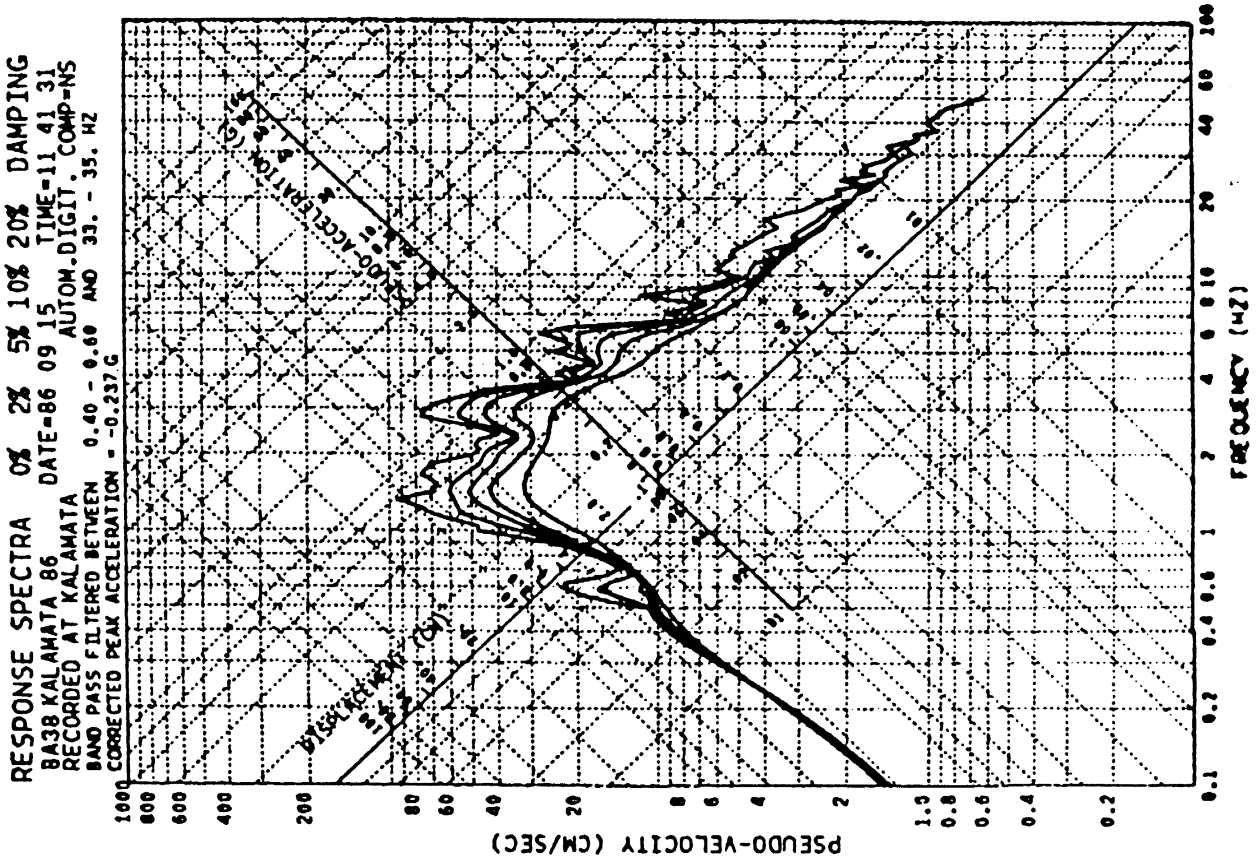
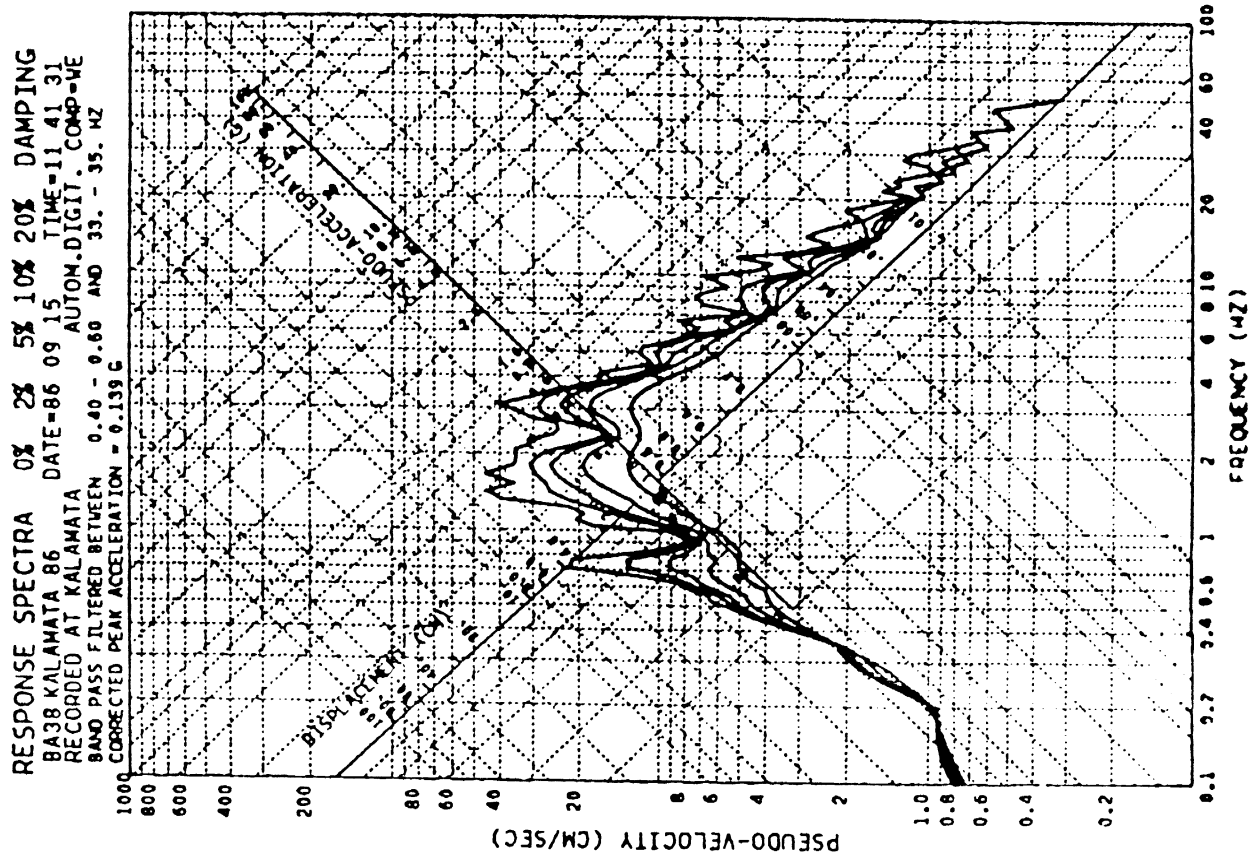
(Επεξεργασία του ENEA)



Σχ. Β1: Φασματα απόκρυσης των οριζοντιων συντετων του κύριου ιι λομού της 13/9/1986

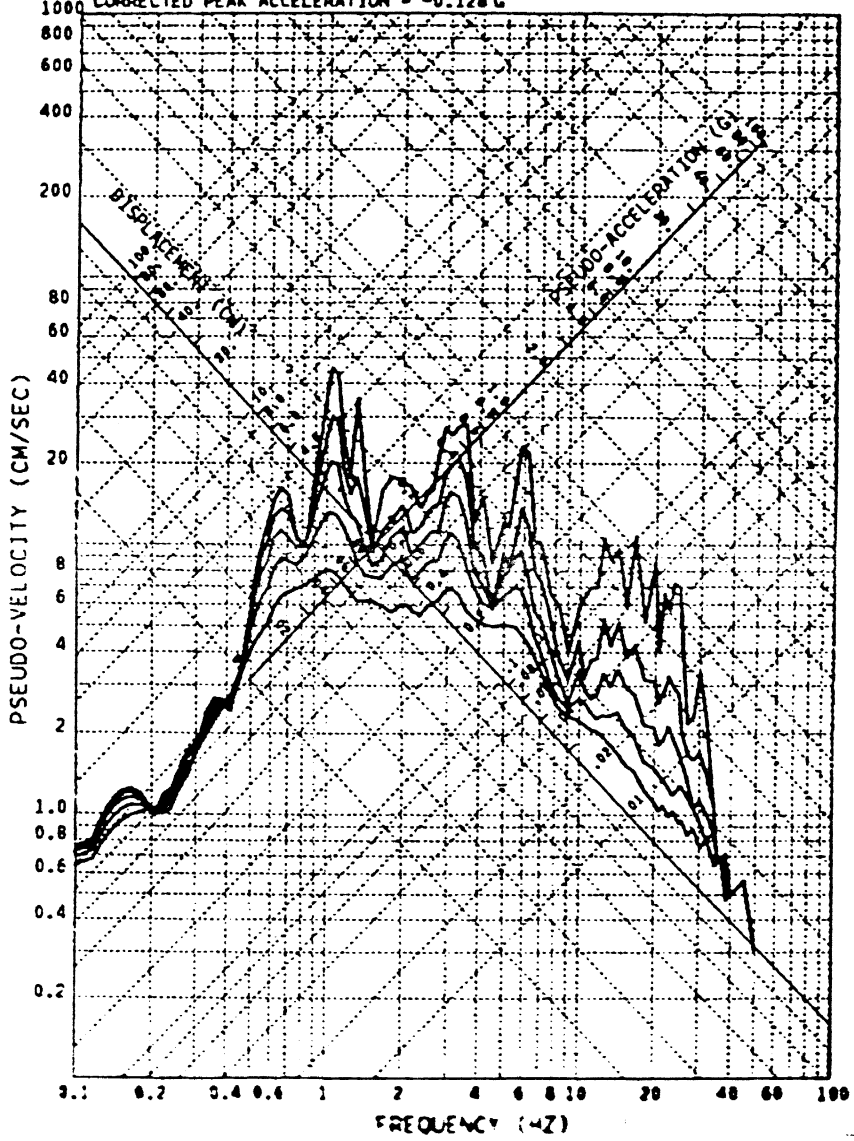


Σχ. B2: Φάσμα απόκρισης της κατακόρυφης συνιστώσας του κύριου σεισμού της 13/9/1986

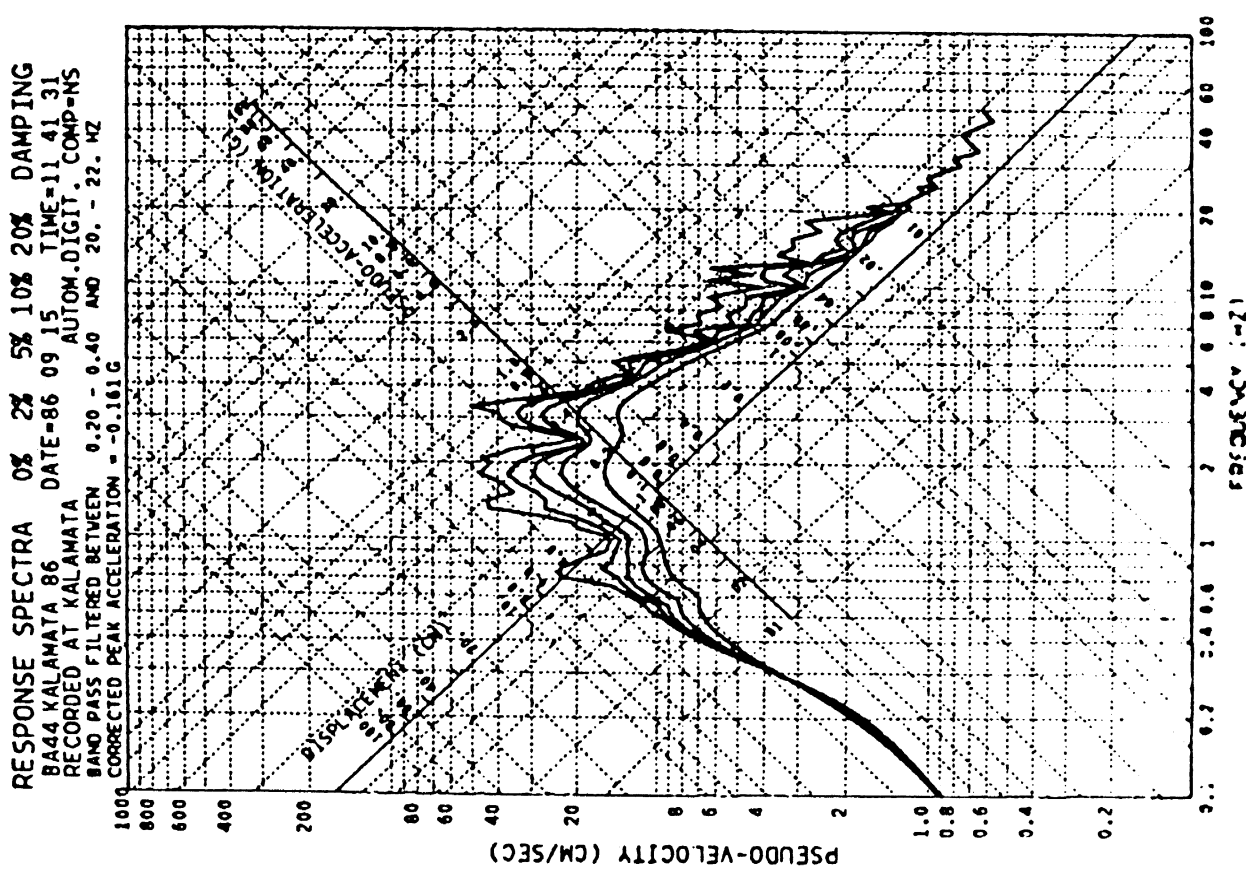
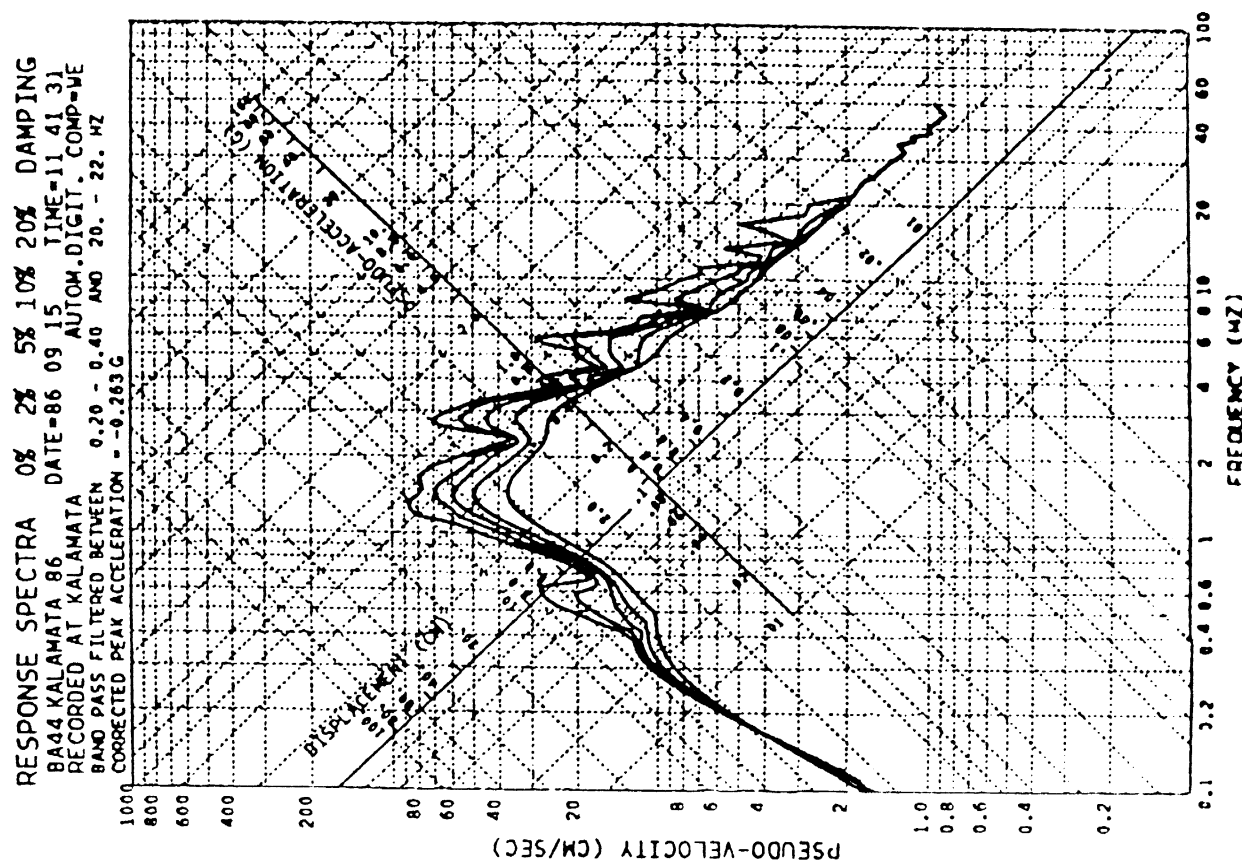


Σχ. Β3: Φάσματα απόκρουσης των ορυζούτων συντονισμένων τοιχών γλυπτέρων μετασειρήσους της 15/9/1986 (καταγραφή Noupoix)

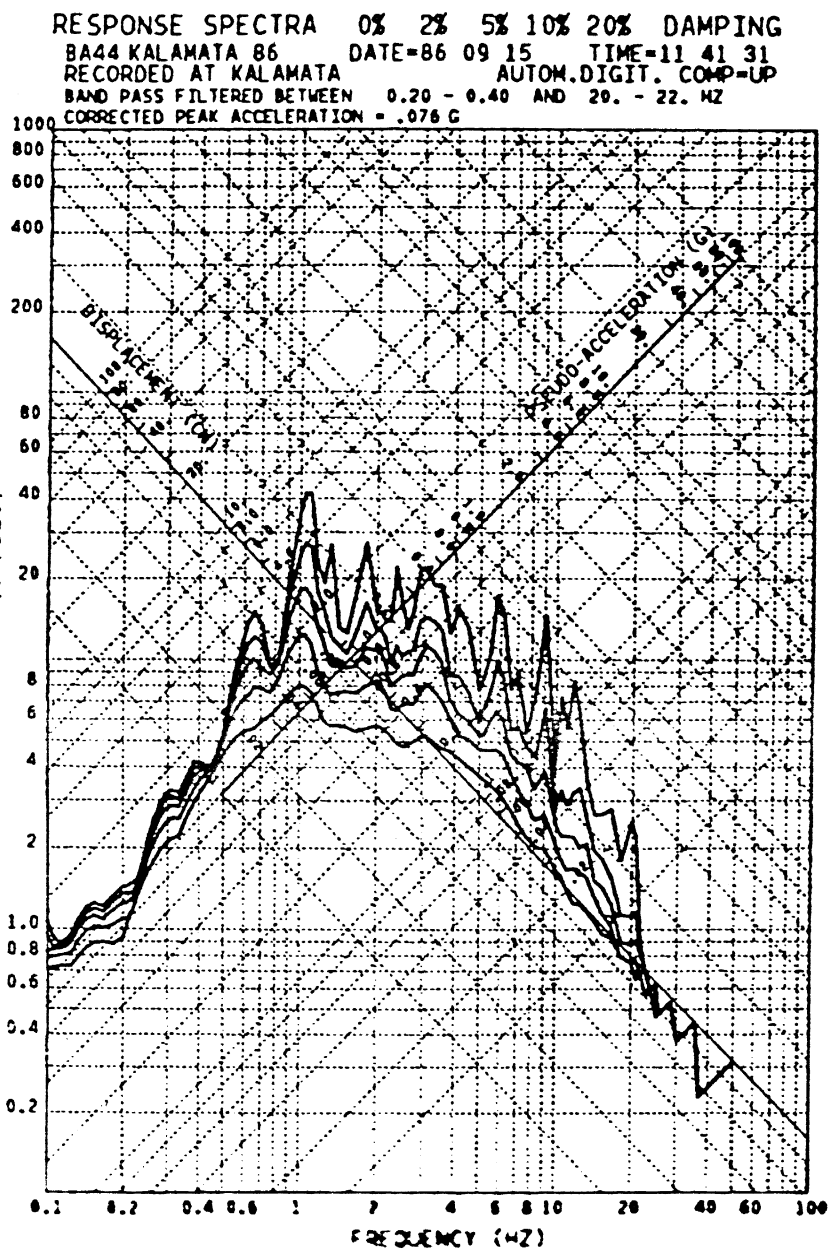
RESPONSE SPECTRA 0% 2% 5% 10% 20% DAMPING  
 BA38 KALAMATA 86 DATE=86 09 15 TIME=11 41 31  
 RECORDED AT KALAMATA AUTOM.DIGIT. COMP-UP  
 BAND PASS FILTERED BETWEEN 0.40 - 0.60 AND 33. - 35. HZ  
 CORRECTED PEAK ACCELERATION = -0.128 G



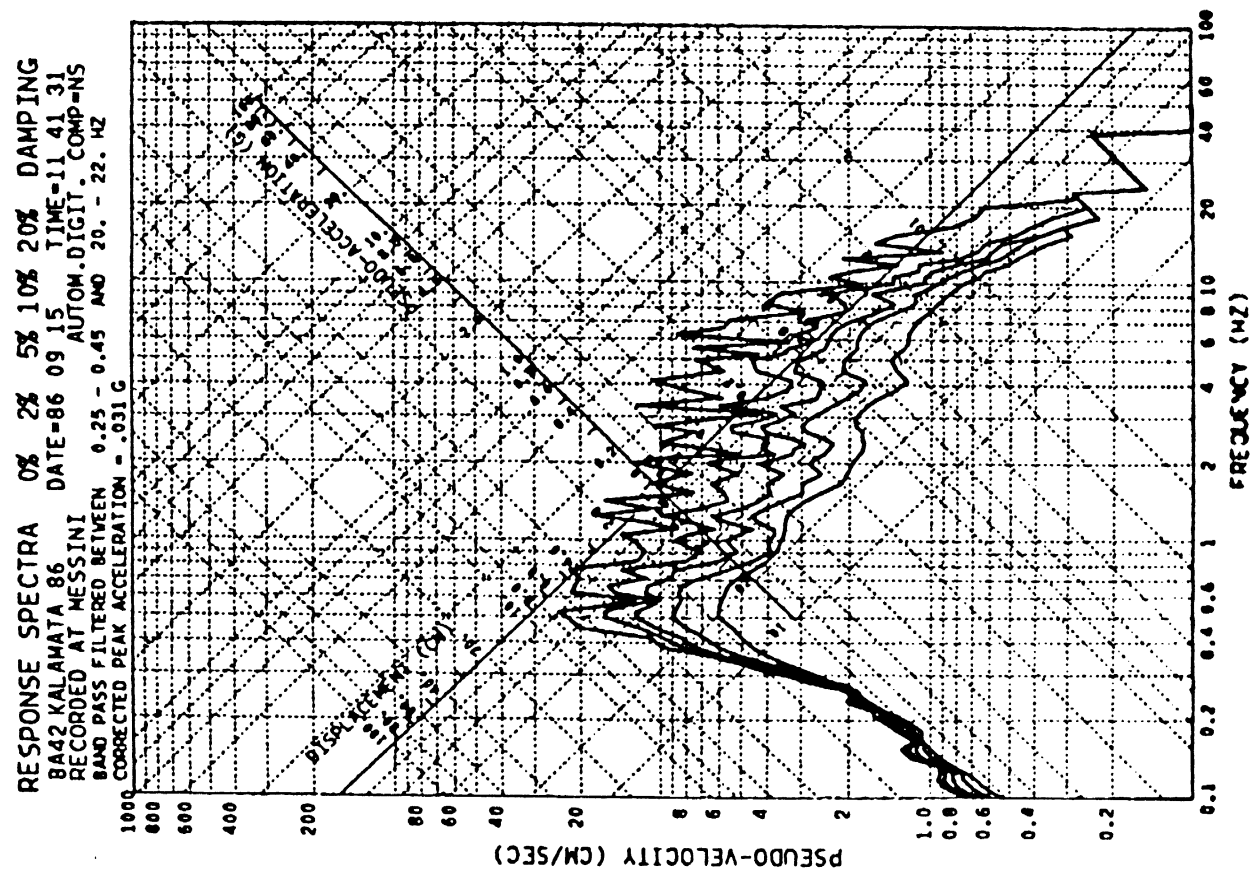
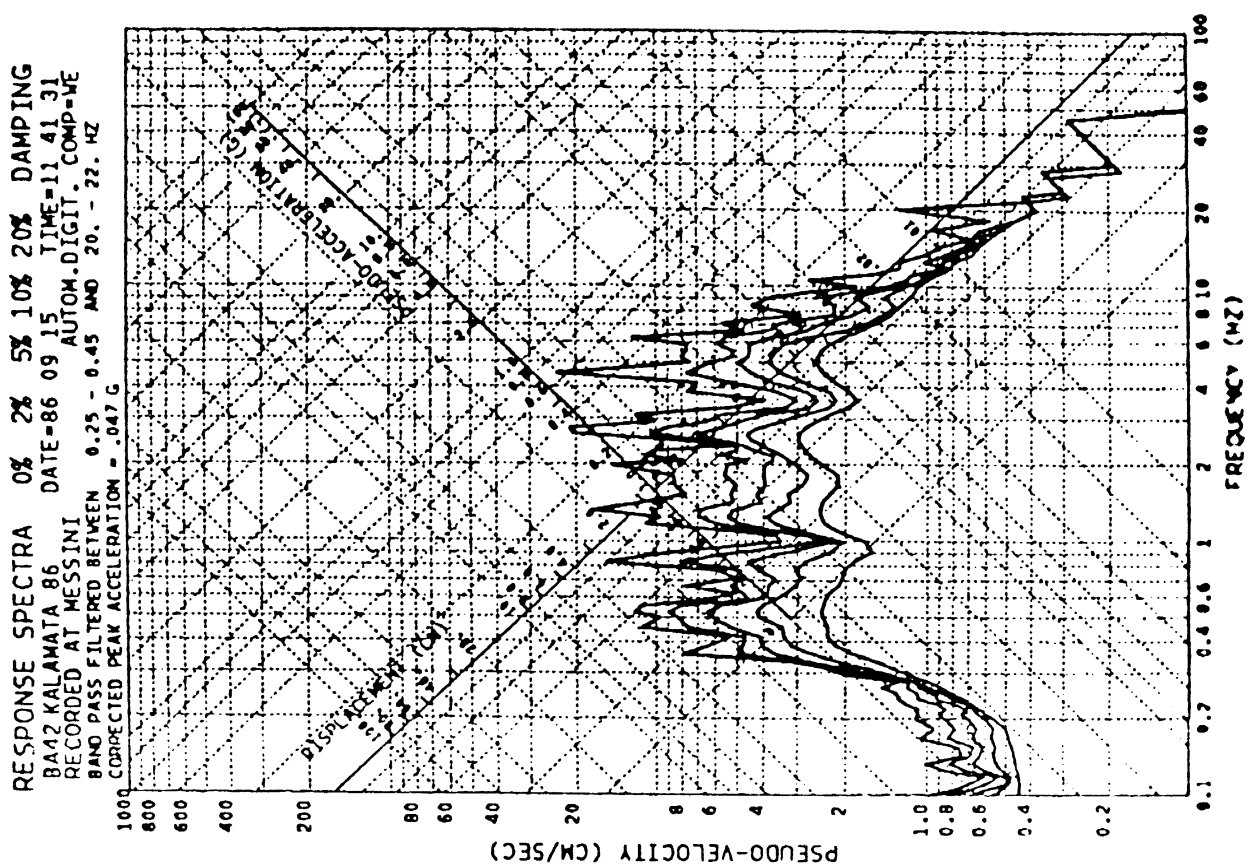
Σχ. Β4: Φάσμα απόκρισης της κατακόρυφης συνιστώσας του μεγαλύτερου μετασεισμού της 15/9/1986 (καταγραφή Νομαρχίας)



Σχ. Β5: Φύσικα αυθόκρονα των οποίων την συντονών του ημερούτερον μετατελούν της 15/9/1986 (καταγραφή ΟΤΕ)

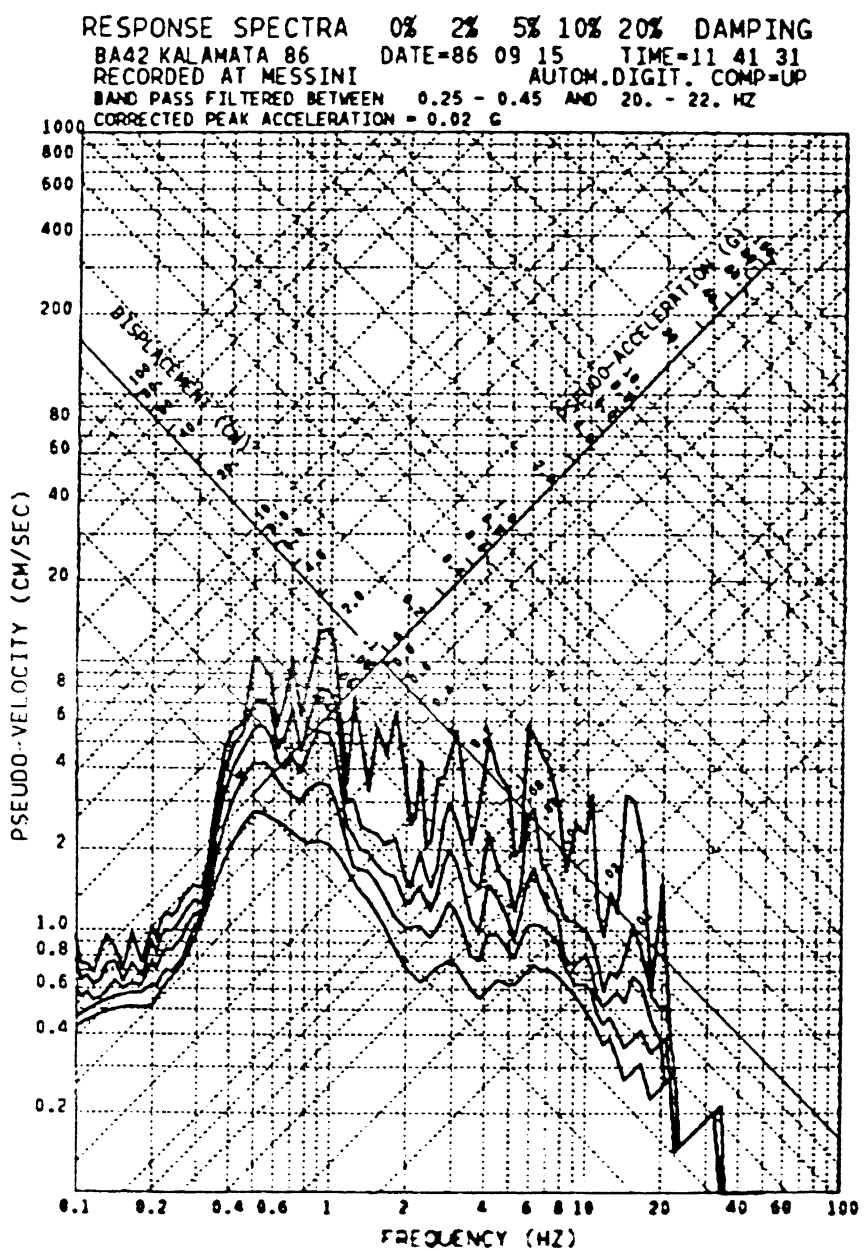


Σχ. Β6: Φάσμα απόκρισης της κατακόρυφης συνιστώ-  
 σας του μεγαλύτερου μετασεισμού της  
 15/9/1986 (καταγραφή ΟΤΕ)



Σχ. B7: Φρεσκά απόκρισης των ορίζοντων συνυπολογισμένων μεταφεύτερου μετασεισμού της

15/9/1986 (καταγραφή Μεσσηνίας)



Σχ. B8: Φάσμα απόκρισης της κατακόρυφης συντονώσας του μεγαλύτερου μετασεισμού της 15/9/1986 (καταγραφή Μεσσήνης)